



جمهورية العراق
وزارة التعليم العالي والبحث العلمي
جامعة ديالى
كلية العلوم
قسم الكيمياء

تصنيع ودراسة كفاءة خلايا شمسية ذات اصبعاء متحسسة (DSSC)

رسالة مقدمة الى
مجلس كلية العلوم /جامعة ديالى
جزءاً من متطلبات نيل شهادة الماجستير في علوم الكيمياء

الطالبة
زينب اسماعيل صادق

بكالوريوس علوم كيمياء 2014 / جامعة ديالى

إشراف
أ.د. عامر فاضل داود النعيمي /جامعة ديالى
أ.م.د. عبدالكريم محمد علي السامرائي/جامعة بغداد

بِسْمِ اللَّهِ الرَّحْمَنِ الرَّحِيمِ

[لَا يُكْلِفُ اللَّهُ نَفْسًا إِلَّا وُسْعَهَا لَهَا مَا كَسَبَتْ وَلَكُلِّهَا مَا
أَكْتَسَبَتْ رَبَّنَا لَا تُؤَاخِذنَا إِنْ نَسِينَا أَوْ أَنْطَانَا رَبَّنَا وَلَا تَهْمِلْ
لَكُلِّيَّنَا إِصْرًا حَمَّا حَمَلْتَهُ عَلَيَّ الَّذِينَ مِنْ قَبْلِنَا رَبَّنَا وَلَا تُهْمِلْنَا مَا
لَا طَاقَةَ لَنَا بِهِ وَالْمُفْعَلُ عَنَّا وَالْمُغْفِرَةُ لَنَا وَارْجَعْنَا أَنْتَ مَوْلَانَا
فَانْصُرْنَا عَلَيَّ الْقَوْمُ الظَّاهِرِينَ]

صَدَقَ اللَّهُ الْعَظِيمُ

من سورة البقرة
الآية/286

اقرار المشرفين

نشهد ان اعداد رسالة الماجستير للطالبة (زينب اسماعيل صادق) قد جرى تحت اشرافنا في
قسم الكيمياء/كلية العلوم/جامعة ديالى، وهي جزء من متطلبات نيل شهادة الماجستير في
(علوم الكيمياء).

التوقيع:- التوقيع:-

اسم المشرف: أ.م.د. عبد الكريم محمد علي

المرتبة العلمية: - استاذ مساعد

التاريخ: - 2017 / / 2017 / / التاريخ:-

توصية رئيس قسم الكيمياء

بناءً على التوصيات المتوافرة احيل هذه الرسالة الى لجنة المناقشة لبيان الرأي فيها.

التوقيع:-

الاسم: - د. وسن باقر علي

المرتبة العلمية: - مدرس

التاريخ: - 2017 / / 2017 / / التاريخ:-

إقرار المقوم اللغوي

أقر أن إعداد هذه الرسالة الموسمية (تصنيع ودراسة كفاءة خلايا شمسية ذات اصياغ متحسسة)
(DSSC) التي قدمتها طالبة الماجستير (زينب اسماعيل صادق) قد تمت مراجعتها من الناحية
اللغوية وصحح ما ورد فيها من أخطاء لغوية وبذلك أصبحت الرسالة مؤهلة للمناقشة بقدر تعلق
الأمر بسلامة اللغة وصحة التعبير.

التوقيع:-

الاسم:- أ.د. علي متعب جاسم

المرتبة العلمية:- استاذ

التاريخ:- 2017 / /

إقرار الخبرير العلمي

أقر أن رسالة الطالبة الموسومة (تصنيع ودراسة كفاءة خلايا شمسية ذات اصباغ متحسسة)
(DSSC) التي قدمتها طالبة الماجستير (زينب اسماعيل صادق) إلى قسم علوم الكيمياء قد تمت
مراجعةها من الناحية العلمية وبذلك أصبحت الرسالة مؤهلة للمناقشة.

التوقيع:-

الاسم:- أ.م.د. فراس حبيب عبد الرزاق

المرتبة العلمية:- استاذ مساعد

التاريخ:- 2017 / /

اقرارات اعضاء لجنة المناقشة

نشهد اننا اعضاء لجنة المناقشة، اطلعنا على الرسالة الموسومة (تصنيع ودراسة كفاءة خلايا شمسية ذات اصياغ متحسنة DSSC) وقد ناقشنا الطالبة (زينب اسماعيل صادق)، في محتوياتها وفي ما له علاقة بها، ووجدنا انها جديرة بالقبول لنيل درجة الماجستير في علوم الكيمياء.

رئيس اللجنة

التوقيع:-

الاسم:- أ.د. كريم هنيكش حسن

المرتبة العلمية:- استاذ

التاريخ:- 2017 / /

عضو اللجنة

التوقيع:-

الاسم:- أ.م.د. احمد نجم عبد

المرتبة العلمية:- استاذ مساعد

التاريخ:- 2017 / /

عضو اللجنة (المشرف)

التوقيع:-

الاسم:- أ. د. عامر فاضل داود

المرتبة العلمية:- استاذ

التاريخ:- 2017 / /

صادقة عمادة كلية العلوم-جامعة ديالى

التوقيع:-

الاسم:- أ.د. تحسين حسين مبارك

المرتبة العلمية:- استاذ

التاريخ:- 2017 / /

شكر وتقدير

Acknowledgment

الحمد لله رب العالمين. الذي هدانا لنعمة العلم وما كنا لنهندي لو لا أن هدانا..
الى كل من رافقني في مسيرة حياتي.. والى كل من أدين له بالعرفان والجميل..

الى تلك الشيبة البيضاء.. الى معنى الكرامة والعطاء.. الى أبي
الى جنة الرحمن على الارض.. الى بركة الدعاء.. الى امي
الى معنى حياتي.. ونصفي الأجمل.. الى زوجي

الى من صاغوا العلم.. حروفاً فكانوا للفكر منارة..
الى من يصنعون المستقبل.. الى فخر الاجيال..

الى عمادة كلية العلوم المحترمة..
ورئاسة قسم الكيمياء..
الى اساتذتي الكرام مشرفي بحثي..
أ.د. عامر فاضل النعيمي _ أ.م.د. عبد الكريم السامرائي
والى لجنة المناقشة المحترمة..
والى كل من قدم العون والمساعدة لأكمال رسالتي..
الى مدير عام هيئة البحث والتطوير في وزارة الصناعة والمعادن..
د. مظهر صادق سبع..
والى كل من ساعدني فيها..
اقدم لهم شكري وتقديري..
وأهدى جهدي المتواضع هذا..
ومن الله التوفيق..

جدول المحتويات

أ	شكر وتقدير
ب	جدول المحتويات
٥	قائمة المختصرات
و	قائمة الأشكال
ح	قائمة الجداول
ط	الملخص
١	المقدمة
١	١. المواد النانوية
١	٢. تحضير المواد النانوية
٣	٣. تشخيص المواد النانوية
٣	٤.١. حيود الاشعة السينية
٣	٤.٢. المجهر الإلكتروني الماسح
٤	٤.٣. مجهر القوة الذرية
٥	٤. الطاقة المتجددة
٥	٤.١. طاقة الرياح
٦	٤.٢. الطاقة الكهرومائية
٦	٤.٣. الكتلة الحيوية
٦	٤.٤. طاقة المحيط
٦	٤.٥. الطاقة الحرارية الأرضية
٦	٤.٦. الطاقة الشمسية
٧	٥. الخلية الشمسية
٧	٥.١. لمحة تاريخية عن الخلايا الفولتاوصافية
٨	٥.٢. تطوير الخلية الشمسية
٨	٥.٢.١. الجيل الأول
٨	٥.٢.٢. الجيل الثاني
٨	٥.٢.٣. الجيل الثالث :
٨	٥.٢.٤. الجيل الرابع

8	6.1 الخلية الشمسية المحفزة بالصبغة
10	1.6.1 استقراريه الخلايا الشمسية المحفزة بالصبغة
11	7.1 اشباه موصلات اوكسيد الفلز
12	1.7.1 ثائي اوكسيد التيتانيوم (TiO_2):
13	8.1 الاصباغ المحفزة ضوئيا
14	1.8.1 اصباغ التحسس الضوئية الصناعية
15	2.8.1 الاصباغ المحفزة ضوئيا الطبيعية
16	9.1 الكترووليت الخلية
17	1.9.1 الالكترووليت ($Co(II)/Co(III)$)
17	2.9.1 الالكترووليت (I/I_3^-)
17	3.9.1 المضادات في الالكترووليتات
18	10.1 القطب المعاكس (الكافود)
21	11.1 تقييم الخلية الشمسية
23	12.1.1 المسح الادبي
27	13.1 الهدف من الدراسة
28	الجزء العملي
28	1.2 المواد والاجهزه
29	2.2 الاجراءات العملية
30	1.2.2 تنظيف زجاج ITO وورق Ti
30	2.2.2 تصنيع الانودات الفعالة
30	1.2.2.2 التصنيع باستخدام جسيمات TiO_2 النانوية
31	2.2.2.2 تصنيع انبيب التيتانيوم النانوية
32	3.2.2 تحضير الاقطاب المعاكسه (الكافود)
32	1.3.2.2 تحضير قطب البلاتين المعاكس
33	2.3.2.2 تصنيع قطب متعدد الانلين المعاكس
34	3.3.2.2 تصنيع قطب متعدد الثايوفين المعاكس
34	4.3.2.2 تصنيع قطب متعدد البايرول الموصل
35	4.2.2 تحضير الاصباغ الطبيعية
35	5.2.2 تحضير الكترووليت الخلية
35	6.2.2 تجميع الخلايا الشمسية المحفزة بالصبغة
35	3.2 تقييم الخلية الشمسية
37	النتائج والمناقشة

37	1. تحضير أنابيب أوكسيد التيتانيوم النانوية بطريقة الاكسدة
38	2.3 القياسات الطيفية للاقطب
38	قياس FTIR 1.2.3
40	قياس حيود الأشعة السينية (XRD) 2.2.3
42	القياس بمجهر القوة الذرية (AFM) 3.2.3
54	القياس بمجهر المسح الإلكتروني (SEM) 4.3.2
54	3. اطیاف الامتصاص للصبغات
55	4.3 تشخيص الخلايا الشمسية المحفزة بالصبغة المجمعة
61	الاستنتاجات
62	الاقتراحات للعمل المستقبلي
63	المصادر

قائمة المختصرات

المعنى	المختصر
مجهر القوة الذرية	AFM
حزمة التوصيل	CB
الترسيب الحوضي كيميائيا	CBD
القطب المعakens	CE
انابيب الكاربون النانوية	CNTs
ترسيب الايخرة كيميائيا	CVD
الخلية الشمسية المحفزة بالصبغة	DSSC
عامل الملي	ff
مطيافية الاشعة تحت الحمراء	FTIR
الاوربيتال الجزيئي المشغول الاعلى	HOMO
الانديوم المشوب بأوكسيد القصدير	ITO
فولتنية - تيار	I-V
الاوربيتال الجزيئي غير المشغول الاوطي	LUMO
متر	m
مجهر القوة المغناطيسية	MFM
نانومتر	nm
متعدد الالين	PANI
الحاسبة الشخصية	PC
القطب الضوئي	PE
الايس الهيدروجيني	PH
متعدد الباليرول	PPY
متعدد الثايوفين	PTh
المجهر الماسح الالكتروني	SEM
مجهر المسح الاستكشافي	SPM
مجهر المسح النفقي	STM
اووكسيد الموصل الشفاف	TCO
المجهر الالكتروني النافذ	TEM
انابيب التيتانيوم النانوية	TNTs
حزمة التكافؤ	VB
النسبة المئوية الحجمية	Vol%
النسبة المئوية الوزنية	Wt%
حيد الاشعة السينية	XRD
كفاءة تحويل الطاقة	%η

قائمة الاشكال

الصفحة	العنوان	رقم الشكل
2	مخطط لطرق تحضير المواد النانوية	1-1
3	جيوس الأشعة السينية	2-1
5	مجهر القوة الذرية (AFM)	3-1
7	وصلات p-n للخلية الشمسية	4-1
9	تركيب الخلية الشمسية ذات الصبغة المحفزة	5-1
10	مبدأ عمل الـ DSSC	6-1
11	حزمة التوصيل (CB) وحزمة التكافؤ (VB) للفلز (a)، لشبہ الموصل (b) وللغاز (c)	7-1
12	أشباء الموصلات نوع n (a) ونوع p (b)	8-1
12	وحدة الخلية لـ (a) الأنتايس لـ TiO_2 و (b) الروتيل لـ TiO_2	9-1
14	التراكيب التطبيقية لبعض الاصباغ العضوية الفازية	10-1
15	جزيئات الأنثوسيانين	11-1
20	أشكال متعدد الانلين	12-1
21	جزيئات متعدد الباريلول	13-1
21	جزيئات متعدد الثايوفين	14-1
22	منحني تيار - فولتنية التوضيحي	15-1
30	زجاجة ITO النظيفة	1-2
31	الأنود الضوئي TiO_2	2-2
31	تحضير قطب الـ TNT	3-2
32	قطب TNT	4-2
32	قطب البلاتين الموصل	5-2
33	تحضير قطب متعدد الانلين	6-2
33	قطب متعدد الانلين	7-2
34	قطب متعدد الثايوفين الموصل	8-2
34	قطب متعدد الباريلول الموصل	9-2
35	الخلية الشمسية المحفزة بالصبغة	10-2
36	نظام تقييم الخلية الشمسية المحفزة بالصبغة	11-2
38	مخطط تيار/زمن لنمو أنابيب الـ TiO_2	1-3
39	طيف FTIR لقطب متعدد الانلين PANI	2-3
39	طيف الـ FTIR لمتعدد الثايوفين	3-3
40	طيف الـ FTIR لمتعدد الباريلول	4-3
41	انماط XRD لـ TiO_2 (a) و TiO_2 (b)	5-3
42	A - صورة AFM التي تبين تقرير الخشونة و C - صور AFM 2D و 3D لقطب الـ TiO_2 عجينة TiO_2 المطلية على زجاج (ITO)	6-3
44	A - صورة AFM التي تبين تحليل المقطع الخطي B و C - صور 2D و 3D AFM لقطب الـ TNT المحضر بطريقة الاكسدة (0.4wt% من NH_4F و 3vol% من H_2O) و 87.8vol% من الاكتين كلايكول مع جهد اكسدة 60v لمدة ساعة واحدة	7-3

قائمة الاشكال

رقم الشكل	العنوان	الصفحة
8-3	- صورة AFM التي تبين تقرير الخشونة B و C - صور 2D AFM و 3D لقطب متعدد البايرول المحضر بطريقة البلمرة (0.1M من البايرول مع 0.25M من حامض الاوكزalic)	46
9-3	- صورة AFM التي تبين تقرير الخشونة B و C - صور 2D AFM و 3D لقطب متعدد الانلين المحضر بطريقة البلمرة (0.3M من الانلين مع 0.1M من حامض الكبريتيك)	48
10-3	- صورة AFM التي تبين تقرير الخشونة B و C - صور 2D AFM و 3D لطبقات البلاتين المطلية على زجاج ITO	50
11-3	- صورة AFM التي تبين تقرير الخشونة B و C - صور 2D AFM و 3D لقطب متعدد الثنوفين المحضر بطريقة البلمرة (0.1M من الثنوفين مع 0.5M من بيركلورات الصوديوم)	52
12-3	- المقطع العلوي، B- المقطع الجانبي لقطب TNT المحضر بطريقة الاكسدة (0.4wt% NH ₄ F من 3vol% H ₂ O و 87.8vol% الاكسدة) الانلين كلايكول مع جهد اكسدة 60v لمدة ساعة واحدة)	54
13-3	طيف الامتصاص لصبغة الرمان	54
14-3	طيف الامتصاص لصبغة الشمندر	55
15-3	اختبارات I-V لاربع DSSCs مجعمة من TiO ₂ /ITO glass كاثود وانواع مختلفة من الكاثودات وصبغة الشمندر	55
16-3	اختبارات I-V لاربع DSSCs مجعمة من TNT/Ti كاثود وانواع مختلفة من الكاثودات وصبغة الشمندر	56
17-3	اختبارات I-V لاربع DSSCs مجعمة من TiO ₂ /ITO glass كاثود وانواع مختلفة من الكاثودات وصبغة الرمان	56
18-3	اختبارات I-V لاربع DSSCs مجعمة من TNT/Ti كاثود وانواع مختلفة من الكاثودات وصبغة الرمان	57
19-3	اختبارات I-V لاثنين من DSSCs مجعمة من نوعين من الانودات و Pt/ITO glass كاثود وصبغة الشمندر	57
20-3	اختبارات I-V لاثنين من DSSCs مجعمة من نوعين من الانودات و Pt/ITO glass كاثود وصبغة الرمان	58
21-3	اختبارات I-V لاثنين من DSSCs مجعمة من نوعين من الانودات و PANI/ITO glass كاثود وصبغة الرمان	58
22-3	اختبارات I-V لاثنين من DSSCs مجعمة من الانودات و KTh/ITO glass كاثود وصبغة الشمندر	59
23-3	اختبارات I-V لاثنين من DSSCs مجعمة من TNT/Ti كاثود و PPY/ITO glass كاثود ونوعين من الصبغات	58

قائمة الجداول

رقم الصفحة	الموضوع	رقم الجدول
28	مواصفات المواد الكيميائية المستخدمة	1-2
29	مواصفات ومتانة الأجهزة المستخدمة	2-2
38	زمن وصول التيارات الثابتة والقصوى لعملية الأكسدة لورق التيتانيوم في محلول يتألف من 0.4wt% من NH_4F و 3vol% من H_2O و 87vol% من الآلتين كلايكول عند 60v لمدة ساعة	1-3
43	توزيع حجم الجسيمات لقطب TiO_2	2-3
45	توزيع حجم الجسيمات لقطب TNT	3-3
47	توزيع حجم الجسيمات لقطب PPY	4-3
49	توزيع حجم الجسيمات لقطب PANI	5-3
51	توزيع حجم الجسيمات لقطب Pt	6-3
53	توزيع حجم الجسيمات لقطب PTh	7-3
60	قيم الـ DSSCs المجمعة مع -1 TiO_2 -2 النانوي المؤكسد وباستخدام صبغة الشمندر	8-3
60	قيم الـ DSSCs المجمعة مع -1 TiO_2 -2 النانوي TNTs المؤكسد وباستخدام صبغة الرمان	9-3

الملخص

Abstract

في هذه الدراسة تم تصنيع عدة انواع من الخلايا الشمسية المحفزة بالصبغة باستخدام نوعين من اشباه موصلات التيتانيوم (TiO_2) كأنودات ضوئية واربع انواع من الاقطاب الموصلة (الكاثوودات) بينما الاصباغ المحفزة تتضمن نوعين من الاصباغ الطبيعية والمحول الالكتروني (I/I₃). تتضمن اشباه الموصلات (TiO_2): دقائق TiO_2 النانوية (مطالية على زجاج الانديوم المشوب بأوكسيد القصدير ITO) وانابيب التيتانيوم النانوية المحضرة بطريقة الطلاء على ورق التيتانيوم (TNTs)، بينما الاقطاب الموصلة تتضمن : البلاتين (Pt)، متعدد الانلين المتبلمر كهربائيا (PANI)، متعدد الثايفين (PTh) ومتعدد البايرول (PPY) المتبلمرة ايضا كهربائيا (ايضا متموقة على زجاج ITO)، اما الاصباغ المستخدمة هي اصباغ طبيعية تتضمن صبغة الرمان (الانثوسيانين) وصبغة الشمندر (البيتايين).

الانودات الضوئية والاقطاب الموصلة تم تشخيصها بعدة تقنيات تتضمن الـ SEM و الـ AFM و الـ XRD وكذلك الـ FTIR وتم ايضاح المعلومات من خلال الاشكال التوضيحية. اطيف الامتصاص للاصباغ الطبيعية تم تشخيصها بمتلابية UV-Visible و التي تبين بأن صبغة الرمان تمتتص الضوء عند 520nm و 310nm بينما صبغة الشمندر تمتتص الضوء عند 536nm و 479nm.

اخيراً تم تحمين كفاءة الـ DSSCs من خلال تشخيص V-I، عامل الملي (ff) و كفاءات التحويل (%) تم قياسها باستخدام المجهاد السakan.

تم تعين كفاءات جميع الـ DSSCs كالتالي :

في صبغة الرمان :

TNT/Ti – Pt/ITO > TiO_2 /ITO – PANI/ITO > TiO_2 /ITO – Pt/ITO >
TNT/Ti – PTh/ITO > TNT/Ti – PANI/ITO > TiO_2 /ITO – PPY/ITO >
 TiO_2 /ITO – PTh/ITO > TNT/Ti – PPY/ITO.

في صبغة الشمندر :

TNT/Ti – Pt/ITO > TiO_2 /ITO – Pt/ITO > TNT/Ti – PANI/ITO >
TNT/Ti – PPY/ITO > TNT/Ti – PTh/ITO > TiO_2 /ITO – PTh/ITO >
 TiO_2 /ITO – PANI/ITO > TiO_2 /ITO – PPY/ITO.

تم الحصول على افضل الكفاءات باستخدام TNT/Ti و TiO_2 /ITO كأنودات و Pt/ITO و PANI/ITO ككاثوودات في صبغة الرمان حيث كانت 2.64% و 0.75% على التوالي بينما في صبغة الشمندر تم الحصول على اعلى الكفاءات باستخدام TNT/Ti و TiO_2 /ITO كأنودات و Pt/ITO ككاثود وكانت 1.38% و 0.56% على التوالي.

الفصل الأول

المقدمة

المقدمة

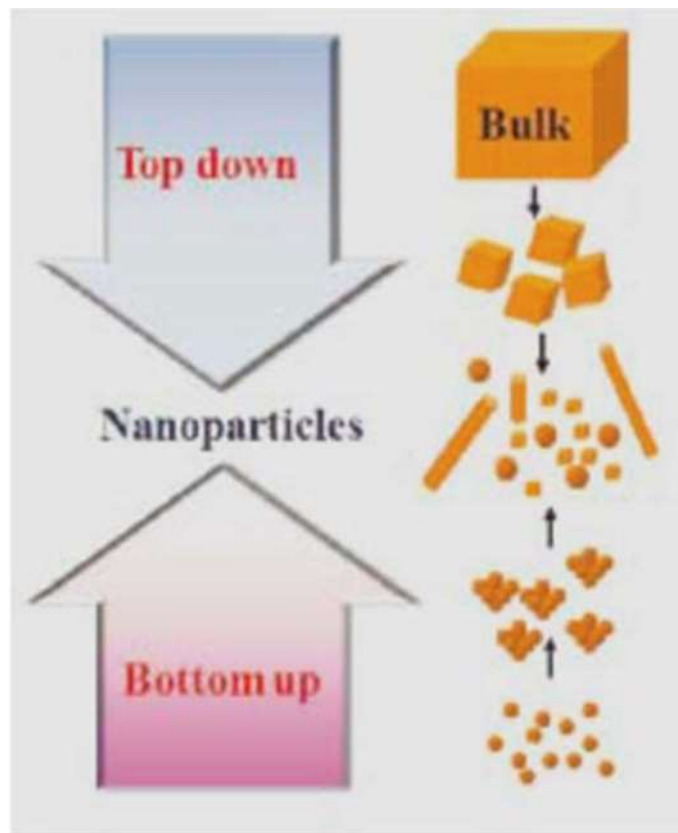
Introduction

1.1 المواد النانوية: Nanomaterial

تعني كلمة نانو في اللغة الاغريقية (قزم)، والنانومتر (nm) هو وحدة الطول المتريه ويساوي 10^{-9} متر ويسمى هذا المقياس بالقياس النانوي. المواد النانوية هي مواد تمتلك مكونات تركيبية اصغر من 1 ميكرومتر في بعد واحد على الاقل أما تكنالوجيا النانو فتعني تصميم وتحضير للمواد والاجهزه بحيث يكون حجمها وشكلها مصمماً على المقياس النانوي. تظهر المواد النانوية خواص كيميائية، فيزيائية، كهربائية وميكانيكية مختلفة عن المواد التقليدية {1}. وهذا يعود مبدئياً الى الحجم النانومترى للمواد الذى يجعلها عالية المساحة السطحية واعداداً كبيرة من الذرات على السطح و هي التي تكون غير موجودة في المواد التقليدية. مما يكسبها نشاطاً كيميائياً "ملحوظاً" ،لذا تستخدم بصفتها محفزات ولها صفات فيزيائية جديدة، فهي أكثر صلادة ومتانة وتنخفض درجة انصهارها كثما تناقصت اقطارها ،فالذهب الفي الطبيعي درجة انصهاره (1064°C) وعندما يصغر الى (2nm) تنخفض درجة انصهاره الى (500°C) بسبب زيادة مساحة الأسطح الخارجية نتيجة تصغيره وترتيب ذراته النانوية ،وتعود جسيمات النحاس النانوية التي يصل حجمها الى أقل من (50nm) ذات صلابة عالية وغير قابلة للطرق والسحب وهذا عكس ما يحدث لمادة النحاس العادي. يمكن تصنيع المواد النانوية بأشكال متعددة بناءً على استخدام هذه المواد ومن أهمها (النقاط الكمية، الفلورين، الكرات النانوية، الجسيمات النانوية، الانابيب النانوية، الألياف النانوية، الأسلاك النانوية والمترابكتات النانوية). يمكن فحص خصائص المواد النانوية ودراستها والتأكد من تركيبها باستخدام عدد من الأجهزة والتقنيات العلمية من أهمها: المجهر الإلكتروني الانفاذى (TEM)، المجهر الإلكتروني الماسح (SEM)، مجهر القوى الذرية (AFM) وحيود الأشعة السينية (XRD).... الخ {2}.

2.1 تحضير المواد النانوية: Preparation of Nanomaterials

هناك اسلوبان رئيسيان لإنتاج المواد النانوية في مدى من ($100 - 1\text{ nm}$)، احدهما من الاسفل للأعلى "الطريقة التصاعدية" والاسلوب الآخر من الأعلى للأدنى "الطريقة التنازلية" ، الشكل (1-1) يبين توضيحاً تخطيطياً للطريقتين.



شكل (1-1) مخطط لطرق تحضير المواد النانوية

الطريقة التصاعدية (bottom-up) اذ يتم بناء المادة النانوية من ذرات وجزيئات يتم ترتيبها حتى نصل الى الشكل والحجم النانوي المطلوب وهذه الطريقة غالبا ما تكون كيميائية ، وتتميز بصغر حجم المادة الناتجة ، وقلة هدر المادة الاصلية والحصول على روابط قوية للمادة النانوية الناتجة. تكون مع كلا الاطوار الثلاثة للمواد (غاز، سائل و صلب) كمواد بادئة . ومثال للطريقة التصاعدية بالطور الغازي ترسيب الابخرة كيميائيا (CVD) هي اكثرب طريقة معروفة لتحضير مواد نانوية مختلفة مثل انبيب الكاربون النانوية Al_2O_3 (CNTs) Carbon Nanotubes الخ.

بينما طريقة الطور السائل وضحت عدة طرق مثل الترسيب الحوضي كيميائيا (CBD)، وكهروكيميائيا مثل الطلاء بأوكسيد الالمنيوم، السائل الهلامي والتقنية الحرارية.

الطريقة التنازلية (top-down) تبدأ بالمواد التقليدية محولة ايها الى الحجم النانوي والتي تحتاج الى معدات خاصة لإتمام ذلك، مثل الطحانة عالية الشفافية او الليزر عالي الطاقة او الادوات الحجرية نانوية الخواص . اكثرميزة لهذه الطريقة هي القدرة على الانتاج بمقاييس كبير، لكن اغلب المساوى لهذه الطريقة تتضمن: الكلفة العالية، الحاجة لمعدات خاصة وصعوبة السيطرة على حجم الدقائق {3}.

3.1 تشخيص المواد النانوية : Nanomaterials Identification

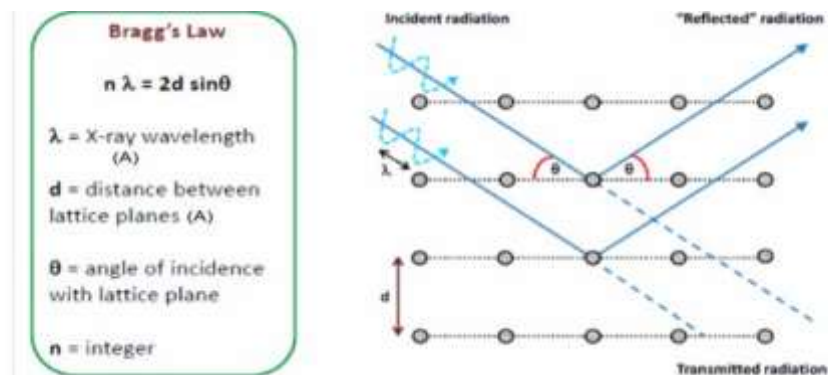
لتمييز المواد النانوية تم استخدام العديد من التقنيات.

1.3.1 حيود الاشعة السينية: X-ray Diffraction (XRD)

دراسة حيود الاشعة السينية هو الاكثر اهمية لاستخدامها في علم المواد النانوية والتي هي اداة سهلة لتقدير حجم وحدة الخلية وشكلها لأي مركب ومن ثم تستخدم للتحليل الكمي، عند تسليط حزمة X-ray ذات طول موجي احادي لمدى من الزوايا على سطح الغشاء تظهر قمم نتيبة لانعكاسات براغ على سطوح البلورة المتوازية وتمكن العالم الانكليزي براغ (W.L.Bragg) من استنتاج قانونه المبني على اساس ان الفرق بين شعاعين يساوي مضاعفات الطول الموجي ، ويكتب قانونه الشكل (1-2) الانعكاس الذي يحدث جراء تسليط الاشعة السينية على البلورة، ويكتب قانون براغ في الصيغة التالية:

$$n\lambda = 2d_{hkl} \sin\theta \quad \dots \dots \dots \quad (1-1)$$

حيث ان λ : الطول الموجي للأشعة الساقطة، n : عدد صحيح، d_{hkl} : المسافة البينية بين مستويين متعاكبين في البلورة و θ : زاوية السقوط.



شكل (2-1) حيود الاشعة السينية

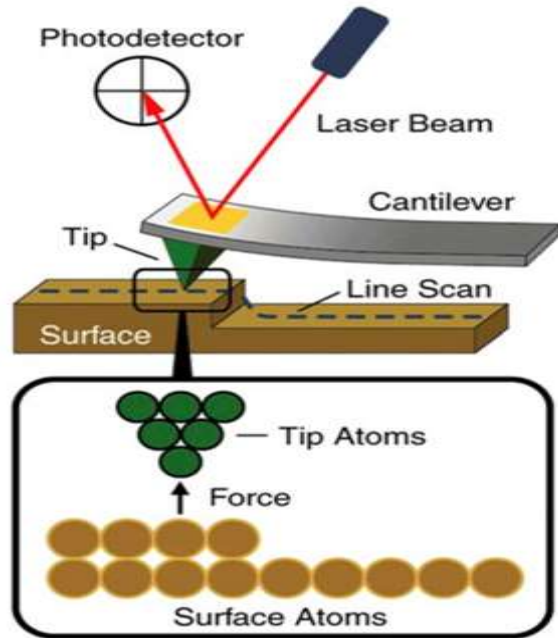
عندما يكون الطول الموجي (λ) للأشعة الساقطة والمنعكسة من مستوى له احداثيات ميلر اصغر او مساو لضعف المسافة البينية (d_{hkl}) بين مستويين متعاكبين في البلورة ، أي شرط براغ للانعكاس هو $\lambda \leq 2d_{hkl}$.

2.3.1 المجهر الالكتروني الماسح: Scanning Electron Microscopy (SEM)

يستخدم مجهر المسح الالكتروني لاستخراج معلومات كيميائية وتركيبيّة نقطة بنقطة من المنطقة المهمة في النموذج. تداخل الالكترونات مع السطح يولّد عدة انواع من الانبعاث مثل الالكترونات المرسلة، الالكترونات الثانوية والمنعكسة، تباطؤ اشعاع الاشعة السينية والاشعة الضوئية. كل من هذه الاشعة يمكن ان يسجل ويتحول الى اشارات كهربائية. يتم تضخيم الاشارات لتغذية انبوبة اشعة الكاثód. الانحلال المکاني العالی للـ SEM يجعلها اداة مفيدة لتشخيص مدى واسع للعينات من النانومتر الى المايكرومتر {5}.

3.3.1 مجهر القوة الذرية: (AFM)

تستطيع مجاهير المسح الاستكشافي (SPM) رؤية تفاصيل المستوى الذري والجزيئي لذلك زيادة فهمنا لكيفية عمل الانظمة يقود الى اكتشافات جديدة في اغلب المجالات، في كل تقنيات الـ (SPM) يتم التداخل مع سطح النموذج من خلال ظاهرة فيزيائية، وقياس الكمية الفيزيائية المتعلقة بالتدخل يسمح ببناء صورة عن دراسات السطح، حيث ان جميع المعلومات تنتقل الى الحاسبة الشخصية(PC)، وباستخدام البرمجيات المناسبة يتم انشاء صورة عن السطح {6}. عمل الـ AFM يشبه المسجل ماعدا انه يمتلك اذرعاً مرنة، وقمة حادة ونظام رد فعل القوة، وانه مثالي لقياس خشونة السطح وتصوير سطح النسيج النانوي على انواع عديدة من سطوح المواد المتضمنة البوليمرات والمترابكتات النانوية، ويبيين الشكل (3-1) تركيب الـ AFM، اذ يتربك من ذراع (Cantilever) في نهاية محس مكون من رأس حاد (tip) ويستخدم لمسح سطح العينة، يصنع الذراع من السليكون او تترید السليكون بنصف قطر بضع نانومترات، وعند اقتراب رأس المحس من سطح العينة تتولد قوة بينه وبين السطح تؤدي هذه القوة الى انحراف في الذراع بناء" على قوة هوك وقد تكون هذه القوة المتبادلة ميكانيكية او فاندفالز او كهروستاتيكية او مغناطيسية او قوة رابطة كيميائية او غيرها من انواع القوة وفقا لنوع السطح قيد الدراسة كما يمكن دراسة العديد من انواع هذه القوة باستخدام محسات خاصة وعندما يسمى المجهر باسمها مثل مجهر القوة المغناطيسية (MFM) او مجهر المسح النفقي (STM) او غيره، وفي جميع هذه المجاهير تحدث القوة المتبادلة باختلاف انواعها انحراف في ذراع المجهر وشعاع الليزر المنعكس يرصد على مصفوفة خطية من الدايويدات الضوئية (Photodiodes)، وهناك طرق أخرى لقياس الانحراف مثل مقياس التداخل الضوئي او باستخدام بيزوالكتروك او محس سعة كهربائية، وحسب طريقة الانحراف يتم تصميم ذراع المجهر {7}.



شكل (3-1) مجهر القوة الذرية (AFM)

4.1 الطاقة المتجدددة: Renewable Energy

الطاقة المتجدددة تستخدم مصادر الطاقة التي تتجدد باستمرار خلال الطبيعة (الشمس، الرياح، الماء، حرارة الأرض و النباتات)، تقنيات الطاقة المتجدددة تحول هذه الوقود الى اشكال صالحة للاستخدام من الطاقة، على الاغلب كهربائية، لكنها يمكن ان تكون طاقة حرارية او كيميائية او ميكانيكية {8}.

الوقود الاحفوري (خشب، فحم و نفط) يمثل حالياً 85% من الطاقة العالمية المستهلكة بصفته طاقة غير متجدددة، محدودة في التجهيز، تسبب التلوث للبيئة و في نهاية المطاف سوف تنفذ، كان هنالك دافعاً قوياً لتطوير مصادر الطاقة البديلة المستدامة، اعادة مصادر الطاقة المتجدددة مطلوب عالمياً ويعود ذلك الى كلا العوامل الاقتصادية و المخاوف البيئية {9}. مصادر الطاقة المتجدددة في الطبيعة {10} هي:

1.4.1 طاقة الرياح: Wind Energy

الرياح هي حركة جوية بسيطة. تسبب بواسطة الحرارة غير المتساوية لسطح الأرض. منذ ان كان سطح الأرض مكوناً من انواع مختلفة من القارات و المحيطات، الرياح تمتص حرارة الشمس عند سرع مختلفة و الحرارة المختلفة يمكن ان تسبب ضغطاً مختلفاً. الرياح تسمى مصدر طاقة متجدددة بسبب انها تهب طالما الشمس مشرقة. الطاقة الحركية للرياح يمكن ان تتحول الى اشكال اخرى من الطاقة (طاقة كهربائية او طاقة ميكانيكية) {11}.

2.4.1 الطاقة الكهرومائية: Hydro Power Energy

الطاقة الكهرومائية هي الطاقة الناتجة من سقوط الماء. مثل شلالات الماء بسبب الجاذبية تسبب طاقة حركية يتم تحويلها إلى طاقة ميكانيكية، و بدورها يمكن تحويلها إلى شكل صالح للاستخدام من الطاقة الكهربائية {12}.

3.4.1 الكتلة الحيوية: Biomass

عملية حرق المادة العضوية (المحاصيل الزراعية عادة و الاعشاب) لانتاج الحرارة او الكهرباء. الكتلة الحيوية، لا تشبه الشمس و الرياح، فهي تنتج انبعاثات كبيرة من CO_2 . يمكن موازنة هذه الانبعاثات بزراعة المحاصيل الجديدة التي تأخذ CO_2 اثناء نموها {8}.

4.4.1 طاقة المحيط: Ocean Energy

طاقة المحيط مشتقة من التقنيات التي تستخدم ماء البحر بصفتها قوة دافعة او تسخير الجهد الحراري او الكيميائي. وتجهز طاقة المحيط مصدر طاقة متعددة مهماً بسبب انها تتعرض امكانية للحد من انبعاثات CO_2 {13}.

5.4.1 الطاقة الحرارية الارضية: Geothermal Energy

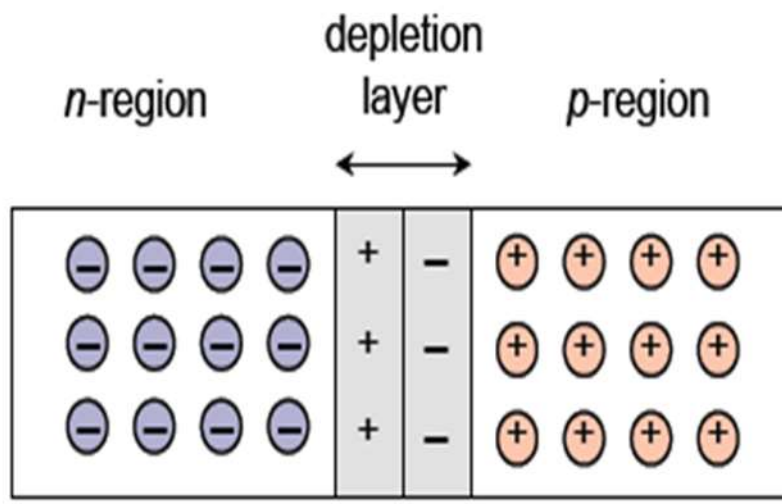
الطاقة الحرارية الارضية تعرف بأنها الحرارة المنبعثة من الارض. انها مصدر طاقة متعددة نظيفة و تجهز الطاقة حول العالم في تطبيقات ومصادر متعددة. و تسمى بمصدر طاقة متعدد بسبب ان الحرارة النابعة من داخل الارض لا حدود لها بشكل خاص {14}. قشرة الارض، الغطاء والنواة تولد الحرارة باستمرار. هذه الحرارة تتدفق الى الخارج باتجاه سطح الارض 24 ساعة في اليوم وانها قابلة للبقاء و قابلة للتجديد بموجب اي تعريف قيد الاستخدام حاليا {15}.

6.4.1 الطاقة الشمسية : Solar Energy

الطاقة الشمسية هي بكل بساطة الطاقة الناتجة مباشرة من الشمس والمتجمعة على الارض. الاشعاع الذي يأتي من الشمس هو مصدر غير مباشر لكل نوع من الطاقة المستخدمة اليوم. تمتلك الطاقة الشمسية مميزات تفوق الوقود القديم، انها قابلة للتجديد، لن تنفذ ابدا، متوفرة بسهولة حول جميع انحاء العالم فمن تأثيرها على البيئة {16} (لا تبعث غازات البيوت الزجاجية ثنائي اوكسيد التتروجين وثنائي اوكسيد الكاربون(CO_2, NO_2) التي تسبب الاحتباس الحراري لامتصاصها الاشعة تحت الحمراء او غازات سامة مثل ثنائي اوكسيد الكبريت (SO_2)), استصلاح الاراضي المتدهورة، الحد من خطوط الانتقال من شبكات الكهرباء، زيادة استقلال الطاقة المحلية والاقليمية، تنويع وحماية مصادر الطاقة و توفير الكهرباء لل里اف في الاقطارات المتطرفة {17}.

5.1 الخلية الشمسية : Solar Cell

الخلية الشمسية هي آلة تحول ضوء الشمس مباشرة إلى كهرباء من خلال عملية ضوئية، مبدئياً انها تعتمد على متغيرين هي توليد التيار بواسطة امتصاص الضوء الحاصل وخسارة حامل الشحنة عبر ميكانيكيات اعادة التركيب {18}. اشباه الموصلات التقليدية للخلايا الشمسية اعتمدت على وصلات p-n، اثنين من اشباه الموصلات مع حوامل الشحنة المختلفة وترانزistor المنشطات على المواد المنشطة نوع n ونوع p تكون ذات التصاق وثيق كما مبين في شكل (4-1) {19}.



شكل (4-1) وصلات p-n للخلية الشمسية

1.5.1 لمحه تاريخية عن الخلايا الفولتاوصوئية : A brief History Of Photovoltaic Cells

عملية تحويل ضوء الشمس مباشرة إلى كهرباء تسمى بالتأثير الفولتاوصوئي. و تم ملاحظته لأول مرة في عام 1839 من قبل بيكريل، بعد ذلك اشارت نظريته فكرة استخدام المواد شبه الموصلة بصفتها مصدراً لتحويل الطاقة الشمسية إلى طاقة كهربائية. تم اكتشاف التأثير الفولتاوصوئي في القرن العشرين من قبل ألبرت اينشتاين وأخرون. الخلية باستخدام السليكون كمادة خام انتجت كفاءة بمقدار 6% والتي ازدادت بعد ذلك بشكل سريع إلى 10% {19}.

في عام 1941، Russel Ohl اخترع خلية السليكون الشمسية ومن خلال اكتشافه بدأت تزداد كفاءة الخلايا الشمسية {20}. علاوة على ذلك تمت ملاحظة التأثير الفولتاوصوئي الاول في البلورة العضوية من قبل Kallman و Pope في عام 1959 ويتم توضيح تطوير الخلايا الشمسية من خلال تصنيفها إلى اربعة اجيال {21}.

2.5.1 تطوير الخلية الشمسية : Developments Of The Solar Cell

يمكن تصنيف التقدم في الخلايا الشمسية إلى أربعة أجيال :

1.2.5.1 First Generation :

الجيل الأول للخلايا الشمسية هو التكنولوجيا السائدة في الانتاج التجاري للخلايا الشمسية. هذه الخلايا تم تحضيرها باستخدام رقيقة السليكون البلوري، أنها تكون ذات مساحة كبيرة وتألف من أجهزة تقاطعات p-n ذات الطبقة الواحدة. تم تشخيصها بواسطة مجموعة امتصاص الطيف الواسع وحركات النقل العالية لكنها تتطلب تكنولوجيا عمل غالبة {22}.

2.2.5.1 Second Generation :

الجيل الثاني من أجهزة الخلية الشمسية رقيقة الفلم تعتمد على تقنيات التحضير واطئة الطاقة مثل الترسيب البخاري والطلاء بالكهرباء. الخلايا الشمسية رقيقة الفلم رخيصة لكنها أقل كفاءة {23}.

3.2.5.1 Third Generation :

الجيل الثالث من الخلايا الفولتاضوئية يشير إلى مفهوم الخلية الذي يعالج 31% من الحد الأعلى النظري للخلية الشمسية احادية التقاطع والتي تم تعرفها من قبل Shockley و Queisser. تقنيات الجيل الثالث للخلايا الفولتاضوئية يمكن ان تعالج القيود الاساسية لتحويل الفوتون إلى الكترون في اجهزة التقاطع المنفردة وكذلك تحسين الكفاءة والكلفة. الجيل الثالث للخلايا الفولتاضوئية مختلف بشكل كبير عن اجهزة اشباه الموصلات. هذه الاجهزه الجديدة تتضمن خلايا كهروكيميائية ضوئية، خلايا شمسية بوليمرية وخلايا شمسية نانوبلورية {19}.

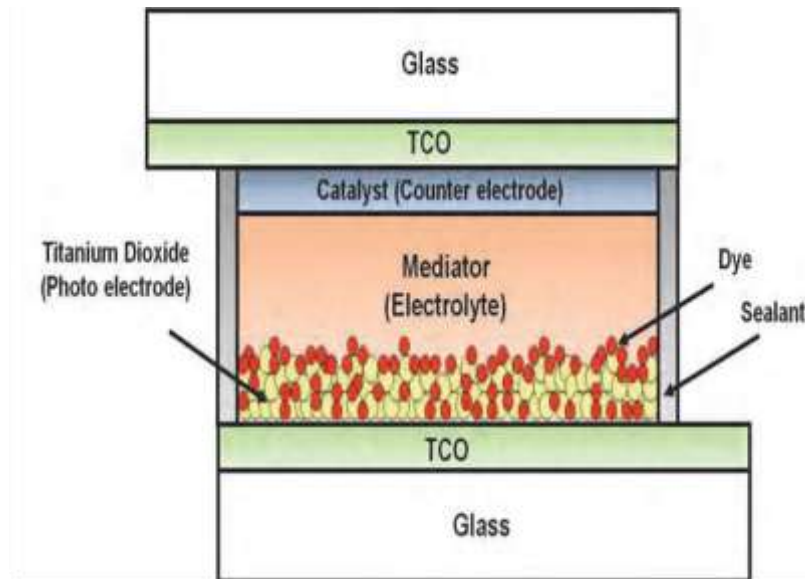
4.2.5.1 Fourth Generation :

الجيل الرابع يتضمن التكنولوجيا الفولتاضوئية المركبة مع استخدام البوليمرات مع الجسيمات النانوية و بالأمكان مزجها سوياً لجعل طبقة الطيف المتعدد واحدة. بعد ذلك طبقات الطيف المتعدد يمكن ان تجمع لجعل الخلية الشمسية متعددة الطيف أكثر كفاءة وارخص بالاعتماد على الخلية الشمسية البوليمرية وتكنولوجيا التقاطع المتعدد {19}.

6.1 الخلية الشمسية المحفزة بالصبغة: Dye Sensitive Solar Cell (DSSC)

ال الخلية الشمسية المحفزة بالصبغة من بين الجيل الثالث ومن الخلايا الشمسية التي تستخدم بكثرة بصفتها مصدر طاقة متجدد نظيف والذي يحول ضوء الشمس إلى كهرباء باستخدام الصبغة. DSSCs كما اقترحت من قبل Gratzel و O'Regan جذبت اهتماماً كبيراً منذ عام 1991 بسبب خواصها وهي : سهولة العمل، كفاءة تحويل الطاقة أكثر من 11%， واطئة الكلفة (العمل ورخص المواد) وكذلك الخلية الشمسية

مرنة وغنية بالألوان، الـ DSSC المتماثلة تتضمن ثلات مكونات: صبعة محفزة ممتصة من قبل رقيقة شبه موصل نانو مسامي مطلي على زجاج موصل يعمل كأنود ضوئي، قطب الزجاج الموصل الآخر تم رشه بالمحفز والذي يعمل كقطب معاكس (كاثود) والمحلول الألكتروليتي يكون بين القطبين، {26-24} شكل (5-1) يبين مكونات الـ DSSC.



شكل (5-1) تركيب الخلية الشمسية ذات الصبغة المحفزة {27}

* مبدأ عمل هذا النوع من الخلايا الشمسية {8} :

1- المحسسات الضوئية تثار من الحالة الأرضية (S) إلى الحالة المثارة (S*).



2- الألكترونات المثارة تحقق إلى حزمة التوصيل لقطب الـ TiO_2 .



3- الألكترونات المحقونة تنتقل بين الدقائق النانوية لـ TiO_2 والقطب المعاكس (الكاثود).

4- المحسسات الضوئية المؤكسدة (S^+) تستقبل الألكترونات من الايون I^- الكتروليت الاكسدة والاختزال (iodide/triiodide).

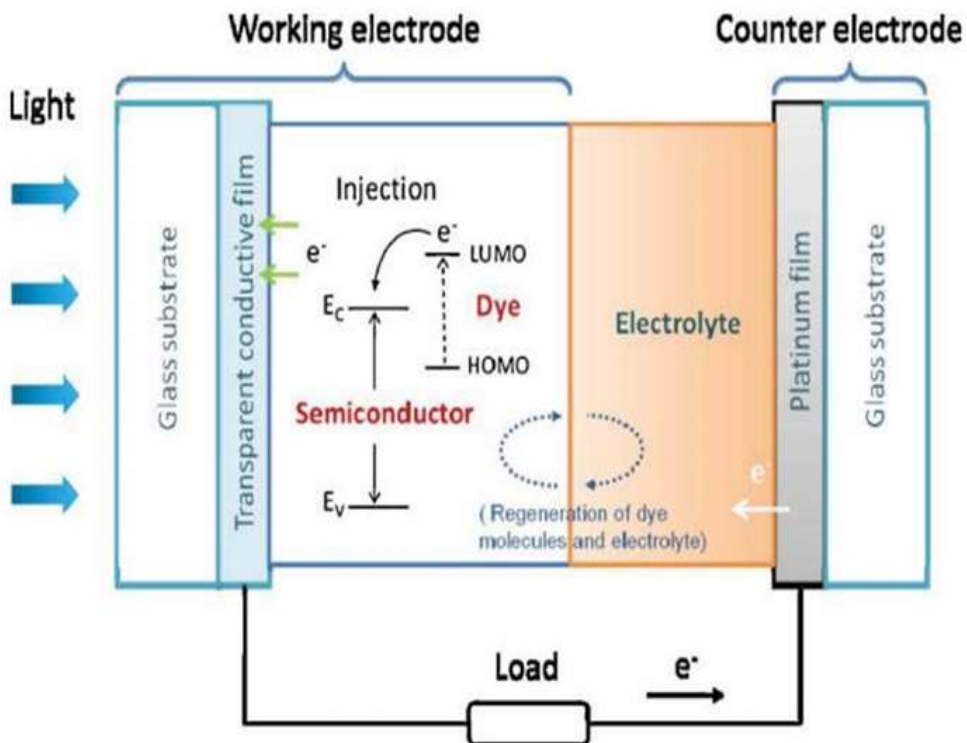


I^- يتأكسد إلى الحالة I_3^- .

5- مؤكسد الكتروولييت الاكسدة والاختزال(I_3^-) ينتشر باتجاه القطب المعاكس (الكاثود) ويختزل الى ايونات I^- .



هذه الخطوات تحصل ملايارات المرات في الثانية، المخطط التالي (1-6) يبين مبدأ عمل DSSC.



شكل (1-6) مبدأ عمل الـ DSSC {28}

مكونات هذه الاداة (DSSC) ستوضح بالتفصيل.

1.6.1 استقراريه الخلايا الشمسيه المحفزة بالصبغة : Sensitized Solar Cells

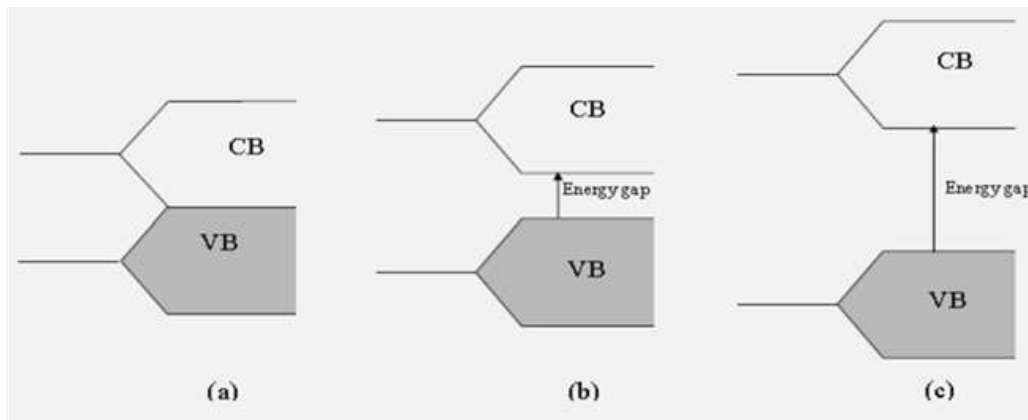
استقراريه الخلايا الصبغية يمكن ان تتأثر بالعوامل التالية {29} :

- 1- الاستقراريه الكيميائيه للصبغة المحفزة المرتبطة بقطب TiO_2 ، المتداخلة مع الالكتروولييت المحيط.
- 2- الاستقراريه الكيميائيه للالكتروولييت.
- 3- استقراريه الكرافيت او البلاتين المطلي على الكاثود في بيئه الالكتروولييت.

4- جودة احكام الخلية ضد الاوكسجين والماء ومن الهواء المحيط وضد خسارة تبخر مذيب الالكتروليت من الخلية.

7.1 اشباه موصلات اوكسيد الفلز:

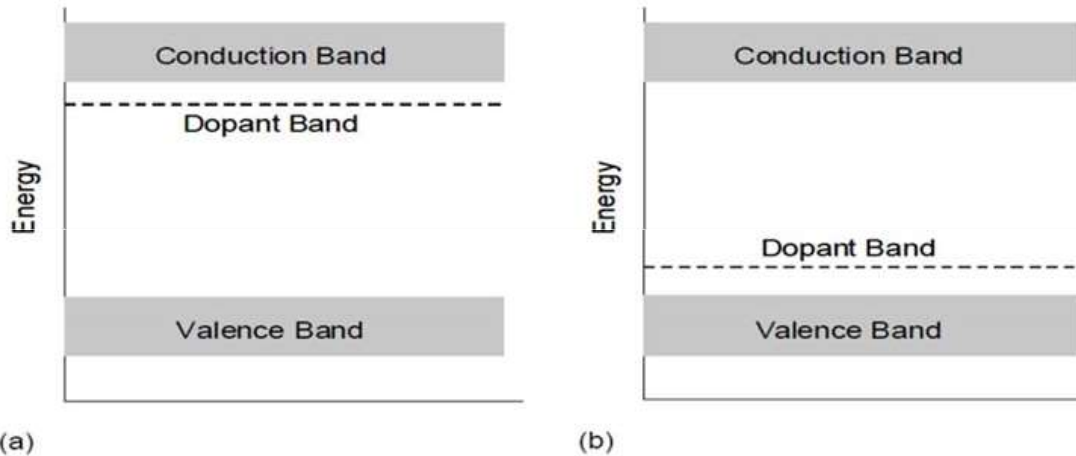
شبه الموصل هو مادة تمثل وسطاً توصيلياً بين الفلز والعزل، عادة المواد الصلبة تصنف كأشبه موصلات تمثل توصيلية بمقدار 10^3 اوم $^{-1}$. سـ $^{-1}$ {31-30}. كما مبين في الشكل (7-1).



شكل (7-1) حزمة التوصيل (CB) وحزمة التكافؤ (VB) للفلز (a) لشبہ الموصل (b) وللعزل (c)

المادة شبه الموصلة التي تشكل جوهر القطب الضوئي (PE) يجب ان تكون مستقرة كيميائياً وحاملاً تجاه العينات الالكتروليتية، انها يجب ان تمثل ترکیباً شبکیاً مناسباً لارتباط الصبغة، ان حزمة التوصيل لها يجب ان تتموضع ببطئ اسفل مستوى (اوربیتال الجزيئي غير المشغول الاوسطي) للصبغة لتسهیل تحقن الالكتروليتي الفعال (شبہ الموصل نوع n) ويجب ان تكون ملائمة في الترکیب النانوي لزيادة كفاءة المساحة السطحیه للصبغة المتتصنة تقريباً بمقدار 1000 و تحسین کفاءة حصاد الضوء الشمسي {32}.

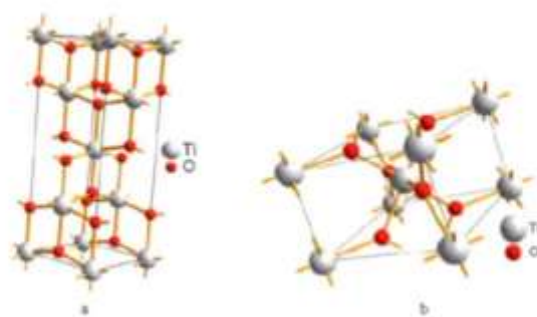
منذ اكتشافها في عام 1991 تم التعامل مع اکاسید فلزیة مختلفة ومتراكباتها لتصنيع الـ DSSC {33}. اوکسید الزنك (ZnO) ، ثنائي اوکسید التیتانیوم (TiO₂) هي مرشحات ممتازة لأنشباه موصلات نوع n للانوادات الضوئية على العکس تماماً من شبه الموصل اوکسید النيکل (NiO) نوع p الذي درس بشكل مرکز لکاتوادات الضوئية في الـ DCCS. ميكانيکية العمل لهذین النوعین من الاقطاب الضوئية مختلفة: حيث ان الصبغة المحفزة ضوئياً تحقن الالکترون الى حزمة التوصيل لشبہ الموصل نوع n من الـ LUMO بينما الفجوة (hole) على الـ HOMO(اوربیتال الجزيئي المشغول الاعلى) تحقن الى حزمة التوازن لشبہ الموصل نوع p {34}.
شكل(1-8) يبيّن اشباه الموصلات نوع n ونوع p.



شكل (8-1) اشباه الموصلات، نوع n (a) ونوع p (b)

1.7.1 ثانوي اوكسيد التيتانيوم (TiO_2)

من بين العديد من الاكاسيد الفلزية ، اوكسيد التيتانيوم او التيتانيا (TiO_2) {35} تمتلك هذه المادة تطبيقات عديدة في الصناعات الرئيسية مثل التحفيز الضوئي ، الكيمياء الكهربائية ، الالكترونيات الدقيقة و الخلايا الشمسية {36}. يصنف TiO_2 كشبكة موصل ويعود ذلك الى خصائصه الفريدة : انه واطئ الكلفة، متاح بشكل واسع، عالي المقاومة للتآكل، غير سام، عال الاستقرارية ومادة شبه موصلة حيوية. {37} وكذلك خواصه الفيزيائية مثل النفاذية العالية في منطقة الضوء المرئي، عرض الفجوة، معامل الانكسار العالي و السماحية. النتائج العملية بيّنت طبقة TiO_2 متوسطة المسامية (meso-porous) والتي تمتلك انتقال شحنة فعال عال. أثبتت بأنها مادة نافذة جيدة في التطبيقات الفولتاوصورية. استخدم TiO_2 على نطاق واسع في الخلايا الشمسية المحفزة بالصبغة. {38} صيغ TiO_2 تكون في ثلاثة اشكال طبيعية هي الروتيل(Rutile)، الاناتيس(Anatase) والبروكايت(Brookite). {39}. الروتيل هو اكثر استقراراً ثرموديناميكياً من الشكلين الآخرين. {40} شكل (9-1) يبيّن وحدة الخلية للشكليين الروتيل والاناتيس لـ TiO_2 .



شكل (9-1) وحدة الخلية لـ (a) الاناتيس لـ TiO_2 و (b) الروتيل لـ TiO_2

احد اهم شروط المواد واسعة الفجوة للتطبيق في الخلايا الشمسية هو ان يكون الحد الاقصى للانتقال محتمل. وجد بأن تركيب السطح، حجم وشكل الجزيئه والمسامية عوامل مهمة لاتمام اداء الخلية الشمسية للخلايا الشمسية المحفزة بالصبغة. {41} في هذا النظام مواد TiO_2 المختلفة كأنواد ضوئية تتضمن جسيمات مایکرویہ، جسيمات نانوية (صفريه الابعاد) وانابيب نانوية (احادية الابعاد) استخدمت كواحدة من الاهداف لهذا العمل. جسيمات TiO_2 المایکرویہ والنانوية كانت تقليدية وانابيب التيتانيوم النانوية لهذا العمل. جسيمات TNT Titanium Nanotube (TNT) حضرت بطريقتين :

- 1- الطلاء كهروكيميائيا لدقائق التيتانيوم في محلول حامض الهيدروفلوريك المائي الذي يكون مفيد لانتاج TNT في اطوال واقطر مختلفة.
- 2- التحضير الهاييدرو حراري القلوى للتراكيب النانوية - TiO_2 يمكن ان ينجز بمقاييس كبير مع معدات بسيطة، مواد كيميائية واطئة الكلفة وانتاج عال. الانابيب النانوية لاوكسيد التيتانيوم تم الحصول عليها بعد المعالجات الهاييدروحرارية عند 180 درجة سيلزية لمدة 48 ساعة.

8.1 الاصباغ المحفزة ضوئيا : Photosensitive Dyes :

الاصباغ المحفزة ضوئيا تلعب دورا رئيسيا في تحويل ضوء الشمس الى كهرباء، الخطوتان الاولى والثانية تم جمعها عن طريق الصبغة الممتصة خلال تمثيل المواد الحاصلة للضوء. الاشعة الشمسية الفريبة للمرأء والمرئية الممتصة وكفاءة الحقن هي ناتج انتقال الكترونات الحالة المثاره الى حزمة التوصيل لشبكة الموصل الاقرب {43-42}.

المتطلبات الاساسية لجزيئه الصبغة يجب ان تتوافر من اجل ان تعتبر مرشحا جيدا للتحسس الطيفي لأشباه الموصلات ويمكن تلخيصها بالنقاط التالية : {44}

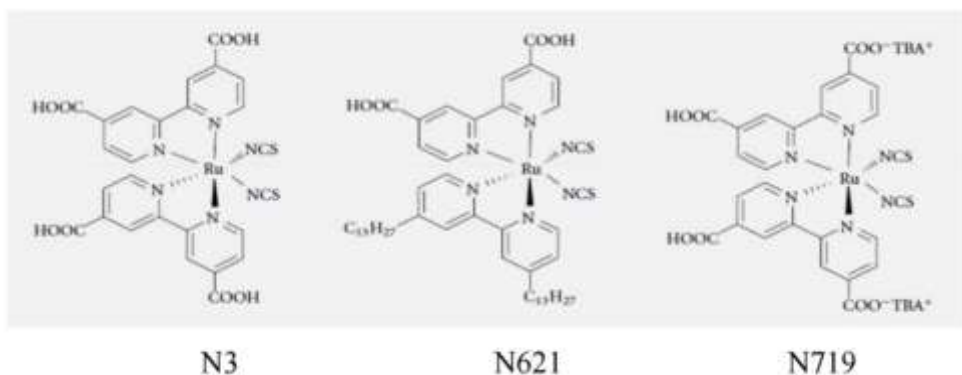
- 1- امتصاص قوي عبر الطيف المرئي (مدى واسع من الاطوال الموجية ومعاملات الاخمد المولاريه العالية).
- 2- ارتباط قوي الى سطح شبکة الموصل (المجموعة الكيميائية التي يمكن ان تتصل بجيئنة TiO_2).
- 3- مستويات الطاقة عند المواقع المناسبة (طاقة عالية لـ LUMO بما يكفي لحقن الشحنة الفعال وواطئة بما يكفي لـ HOMO لا عادة التوليد الفعال).
- 4- انتقال سريع للإلكترون بالنسبة لـ TiO_2 وبالمقابل اضمحلال الحالة الأرضية المستقرة للصبغة.
- 5- الاستقرارية لعدة سنين من التعرض لضوء الشمس.
- 6- الكلفة الواطئة.

- 7- تركيب بسيط وقابل لاعادة التشكيل ونقى.
- 8- اعادة تنظيم بسيط للطاقة بانتقال الكترون الحالة المثارة والارضية لتقليل خسارة الطاقة.

في محاولة للعثور على صبغة تلبي هذه المتطلبات، عدد كبير من جزيئات مختلفة تم تحضيرها وتشخيصها {45}.

1.8.1 اصباغ التحسس الضوئية الصناعية : Industrial Photosensitive Dyes :

المركبات التناسقية للعناصر الانتقالية مثل معقدات الروثينيوم، الاوزميوم والبولي بيرديل والاصباغ العضوية المصنفة تستخدم كمحفزات فعالة في DSSCs {46}. معقدات الروثينيوم تمتلك اهتمام خاص كمحفزات ضوئية في تطبيقات DSSC يعود الى خصائصها الكيموكهروضوئية والاستقرارية العالية في الحالة المؤكسدة مما يجعل تطبيقاتها العملية مجدية {47}. اصباغ الروثينيوم مثل N3 و N719 تم استخدامها لاتمام كفاءات تحويل عالية الطاقة تفوق الـ 11% تحت تشعيع 1.5 (AM) {48} بسبب امتصاص المنطقة المرئية القوي، زمن الاشارة الطويل وانتقال فعال للشحنة من الفلز الى الليكند {49} شكل (10-1) يبين التراكيب التطبيقية لبعض الاصباغ العضوية الفلزية.

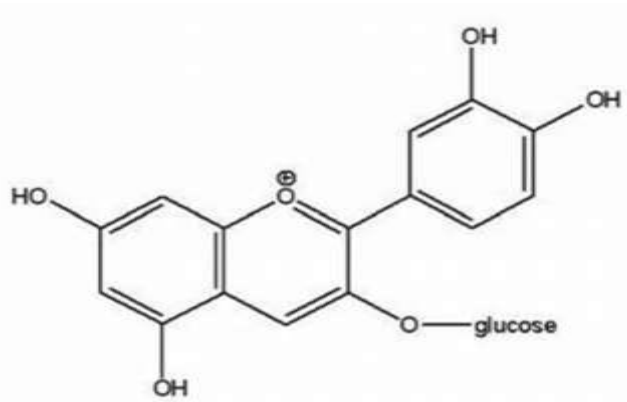


شكل (10-1) التراكيب التطبيقية لبعض الاصباغ العضوية الفلزية

معقدات الروثينيوم بولي بيرديل تحتوي على معادن ثقيلة ثمينة وهو غير مرغوب فيه اقتصادياً وبائيآ {50}. عملية تحضير المعقدات معقدة ومكلفة. نتيجة لذلك تم تعجيز التحقيق في اصباغ منخفضة الكلفة كمحفزات ضوئية للخلايا الشمسية المحفزة بالصبغة {51}، الاصباغ العضوية هي ليست رخيصة فقط بالمقارنة مع اصباغ الروثينيوم لكن ايضا كانت ذات كفاءة اعلى من 9.8%. الاصباغ العضوية كثيرا ما تعرض مشاكل مثل المسارات الصناعية المعقدة والانتاج الواطئ (تحضير وتطوير الاصباغ المصنعة كمحفزات لـ DSSC طبيعيا يتطلب اجراءات متعددة الخطوات التي تتضمن انواع من المذيبات وتستغرق وقتا طويلا لعمليات التنفيذ جاعلا انتاج الصبغة المصنعة غال جدا) {52}.

2.8.1 الاصباغ المحفزة ضوئيا الطبيعية : Natural Photosensitive Dyes :

الاصباغ المحفزة ضوئيا الطبيعية للـ DSSC اصبحت موضوعا شائعا للباحثين ذلك الى فعاليتها من حيث التكلفة، ولأنها صديقة للبيئة، وليس سامة وتماما التحلل {53}. الاصباغ الطبيعية وجدت في الزهور، الاوراق، والفواكه التي يمكن استخراجها بطرق بسيطة {54}. ثلاث عائلات رئيسية للاصباغ الطبيعية تم استغلالها محفزا في الـ DSSC هي : الكلوروفيلات، الانثوسيانين والبيتايلين {55}. الانثوسيانين هو صنف من الفلافونيدات المسؤولة عن الالوان الاحمر، الوردي، البنفسجي و الازرق المشرقة الجذابة لاغلب الفواكه، الخضروات، الزهور، الاوراق، الجذور واجهزة تخزين النباتات الاخرى. بالاعتماد على نوع الانثوسيانين، PH، السكر المتصل واين يتموقع السكر على تركيب جزيئه الانثوسيانين سوف تمتضى جزيئه الانثوسيانين اطوال موجية مرئية و فوق بنفسجية مختلفة. الانثوسيانين يمتضى الضوء في منطقة الاخضر المزراق بين nm 450-600 ؛ وهذا يسمح للعديد من الفواكه والنباتات لعكس اللون الاحمر، الوردي او الازرق. الانثوسيانين جزيئه حلقة عالية الترابط ، تيسير حركة الالكترونات من خلال تركيبها {56}. الشكل (11-1) يبين التركيب الكيميائي للانثوسيانين.



شكل (11-1) جزيئه الانثوسيانين

الانثوسيانين يمتلك مجاميع راسية كاربونيلاية ومجاميع هيدروكسيلية لارتباط القوي على سطح شبه الموصل. هذا يسبب انتقال الالكترون من جزيئه الانثوسيانين الى حزمة التوصيل للـ TiO_2 {57}.

صبغة البيتايلين مشتقة من حامض البيتايليك و قسمت الى مجموعتين فرعية : البيتايسيانين الاحمر مع اعظم امتصاصية عند طول موجي 535nm تقريبا والبيتايسيانين الاصفر مع اعظم امتصاصية عند طول موجي 480nm تقريبا. كل الاصباغ تحتوي مجاميع كاربوكسيلية والتي تسهل الارتباط الى سطح TiO_2 . البيتايلين يمكن الحصول عليه بسهولة من النباتات الجهنمية {58}.

9.1 الكتروليت الخلية: Cell Electrolyte

الإلكتروليت هو واحداً من المكونات الرئيسية للخلايا الشمسية المحفزة بالصبغة وخصائصه لها تأثير كبير على كفاءة التحويل والاستقرارية للخلايا الشمسية {59}. الإلكتروليت هو زوج أكسدة-اختزال (redox) مثل (iodide / tri-iodide) الذي يختزل الصبغة بعد الحقن الإلكتروني للأنود الضوئي (TiO_2) ويؤكسد بالارتباط مع القطب المعاكس {60}. هناك عدة جوانب خاصة بالإلكتروليتات في DSSC هي :

- 1- الإلكتروليت يجب أن يكون قادراً على نقل حامل الشحنة بين الأنود الضوئي والقطب المعاكس (الكاتود).
- 2- الإلكتروليت يجب أن يكون قادر على السماح بالانتشار السريع لحواميل الشحنة (أعلى توصيلية) وانتاج تماس توصيلي جيد مع الطبقة النانوبولورية المسامية والقطب المعاكس. للإلكتروليتات السائلة أنه من الضروري منع فقدان الإلكتروليت السائل بواسطة التسرب أو التبخّر للمذيب.
- 3- الإلكتروليت يجب أن يمتلك استقرارية طويلة تتضمن استقرارية كيميائية، وحرارية، وبصرية، وكهروكيميائية وترابطية لكي لا يسبب ابتزازاً وتحللاً للصبغة من سطح الأوكسيد.
- 4- الإلكتروليت يجب أن لا يظهر امتصاصاً هاماً في مدى الضوء المرئي {61}.

الكتروليت الخلية يمكن ان يصنف الى نوعين :

- 1- الإلكتروليت السائل.
- 2- الإلكتروليت الصلب وشبه الصلب (أشبه موصلات لاعضوية نوع p، مواد موصلة عضوية، الكتروليتات جل ايونية تمتلك بوليمر او جيلاتين والكتروليتات السائل الايوني المحتوية مكونات نانوية متاثرة) {62-63}.

الإلكتروليت السائل يمكن ان يكتسب كفاءة تحويل عالية بسبب امتلاكه توصيلية ايونية عالية وخاصية اتصال البين الوجه ممتازة و هي شرط اساس لاداء فولتاوضوئي عالي للـ DSSCs {64}. الإلكتروليت السائل يتتألف من مذيب عضوي مثل الاستيونترايل، بروبيونترايل وميثوكسي الاستيونترايل ، وازواج الـ redox مثل (I^-/I_3^-) redox ($Co(II)/Co(III)$), زوج (Br^-/Br_2) redox قد ثبت بأنه يكون فريد من نوعه تماما . ولم يتم الحصول لحد الآن على ازواج redox اخرى تؤدي الى تحسين اداء الخلية {65}.

Co(II)/Co(III)Electrolyte : Co(II)/Co(III)

معقدات بولي بيردين الكوبالت لاقت اهتمام من قبل الباحثين وسبب ذلك انخفاض امتصاصها للضوء المرئي، وجهد redox لها عالٍ وانخفاض التآكل نحو الموصلات المعدنية. الكفاءة الحاصلة مع الكترونات الكوبالت كانت ادنى بالمقارنة مع زوج I/I_3^- redox خاصة تحت ضوء الشمس التام. ويعزى هذا الى ابطاء نقل الكتلة والتفاعل الراجح اسرع للحقن الضوئي للاكترونات مع اصناف redox المؤكسدة مع تجديد بطئي لاصناف الـ Co(II) عند الكاثود {66}.

(Iodide/tri-iodide) Electrode : I/I_3^-

هو زوج redox اكثر فعالية. نظام I/I_3^- ناجح بشكل خاص في الـ DSSCs بسبب حركيات اعادة التركيب بطئية بين الكترونات في الـ TiO_2 مع الصبغة المؤكسدة و I_3^- في الاكتروليت الذي يؤدي الى عمر الكترون لفترة طويلة الامد (ما بين 1ms and 1s). ان اعادة التركيب البطئ وسرع توليد الصبغة السريعة نسبياً لزوج redox I/I_3^- انتجت وحدة قريبة من كفاءات الكم الداخلية لعدد كبير من الصبغات، مجهزة كفاءات كم خارجية عالية لمكونات الحجم الصغير لـ I/I_3^- لمكوناته تسمح بالانتشار السريع نسبياً داخل المسامات المتوسطة (mesopores) هذا من جهة ومن جهة اخرى فأن نظام الاكترونين يسمح لتيار اعظم بالمرور لتركيز الاكتروليت المعطى. على الرغم من صفات زوج redox I/I_3^- لكن لديه بعض المضار مثل تسرب وتطاير المذيبات، ابتزاز محتمل، انحلال ضوئي للأصباغ الملحة، تآكل قطب البلاتين المعاكس والامتصاص الجزيئي للمنطقة المرئية قرب 430 nm بواسطة عينات I/I_3^- تم اعتبارها كعوامل حرجة محددة للاداء الطويل للـ DSSCs. لكن حتى الان هي الافضل كفاءة من الانواع الاخرى {67}.

3.9.1 المضافات في الاكتروليتات : Electrolyte's Additives

لوحظ بشكل عام ان مجموعة مميزة من المضافات المنفردة تستخدم لتحسين الاكتروليتات والنتائج التي تم الحصول عليها لهذه الخصائص المثلثي تم استخدامها بعد ذلك في الـ DSSC. على اي حال، اداء الاكتروليتات المحتوية مضاد منفرد، مزاج مضافات مزدوجة ايضاً تم استخدامها لدراسة تأثيرها على اداء الـ DSSC {68}.

موقع حزمة التوصيل للـ TiO_2 يعتمد بشكل كبير على شحنات السطح والجزيئات ثنائية القطب الممتزة. هذه المضافات في الاكتروليتات من المتوقع بأنها تكون ممتزة على سطح TiO_2 لذلك تأثير حزمة التوازن في الـ TiO_2 يرتبط بقوة مع التيار الضوئي والفولتية الضوئية. نتيجة لذلك فإن تقديم المضافات الى الاكتروليتات السائلة كانت استراتيجية فعالة لتحسين الاداء الفولتاوضوئي للـ DSSC {19}.

10.1 القطب المعاكس (الكافود) : Counter Electrode (Cathode)

القطب المعاكس (CE) هو العنصر الحاسم للـ DSSCs والذي يخدم كمادة وسطية لجمع الكترونات من الدائرة الخارجية وكذلك اختزال ايونات I_3^- إلى I^- وبذلك اعادة توليد زوج redox {69}.

دور القطب المعاكس ثانئي:

- 1- ينقل الالكترونات التي تولدت عند القطب الضوئي والمنقلة عبر الدائرة الخارجية وترجع الى النظام الالكترووليتي.
- 2- يحفز اختزال ايون شحنة الوسط المؤكسد {70}.



المطلبات الاساسية لكي تستخدم المادة قطباً معاكساً (موصل) في الـ DSSCs هي انخفاض مقاومة نقل الشحنة، الاستقرارية الكيميائية والكهربوكيميائية في نظام الالكتروولييت المستخدم في الخلية، (يتطلب القطب المعاكس مقاومة تأكل عالية) وكذلك سرعة تفاعل عالية عند اختزال الـ Iodine في الالكتروولييت الى ايون الـ Iodide (ينبغي ان يمتلك فعالية محفزة عالية وتوصيلية عالية لنقل الشحنة الفعال) {71}.

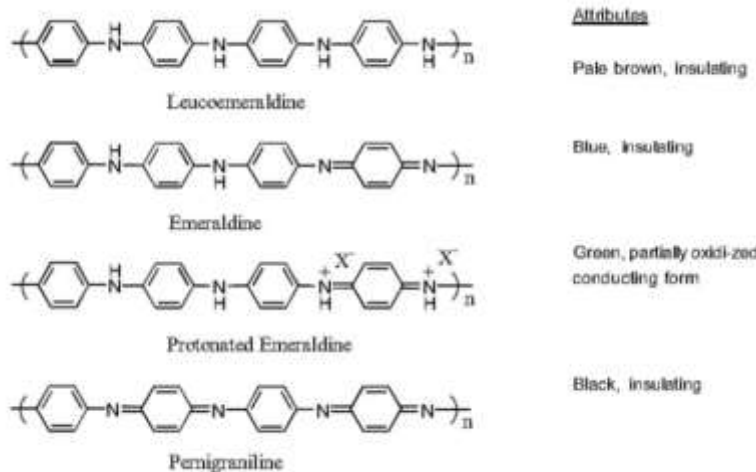
بالاعتماد على هذه العوامل عدة انواع من المواد المحفزة مثل البلاتين، مواد كربونية، بوليمرات موصلة ومركبات معدنية تم اقتراحها ودراستها بأعتبارها قطب معاكس للـ DSSCs.

الاوكسيد الموصل الشفاف (TCO) المطلبي على ركائز الزجاج يستخدم حالياً ككافود في الـ DSSCs والذي يبين خاصية محفزة ضعيفة لاختزال الـ Iodine، لهذا السبب تم تحويله بترسيب المواد عالية التحفيز عليه {72}. البلاتين كان العنصر المفضل للقطب المعاكس (الموصل) {73}. مميزات البلاتين هي انه ذو فعالية تحفيزية عالية تجاه تفاعل لـ (I^-/I_3^-) redox وهذا هو السبب في ان فقط عدد قليل من طبقات نانوية للبلاتين مطلوبة وهذا يبقى عمل الخلية منخفض التكلفة حتى لو كان البلاتين عنصر غالى وكذلك بسبب كون طبقة Pt الرقيقة شفافة غالباً، الاقتطاب المعاكس المغطاة بالبلاتين يمكن استخدامها ايضاً في الخلايا التي تتطلب اضاءة عكسيه بسبب شفافية طبقة Pt الرقيقة ايضاً. البلاتين ايضاً مستقر كيميائياً في الالكتروولييت وانحلاله غير ملحوظ بمرور الوقت {74}. اداء الطبقة المحفزة يعتمد على الطريقة التي بواسطتها يتربس الـ pt على سطح الـ TCO. وقد استخدمت اساليب مختلفة لتكون طبقة Pt الرقيقة تتضمن ترسيباً تناهرياً (sputtering deposition)، وتفکك حراري عند درجة حرارة عالية وترسيب كهروكيميائي. الترسيب التناهري يتطلب بيئة مفرغة بشكل عال جداً وتستخدم كميات من البلاتين لإنتاج سطح مستوي واحد بينما فقط كميات صغيرة جداً من البلاتين ضرورية للحصول على التأثير التحفيزي المطلوب {75}. الترسيب الحراري هو القدرة على تحضير الاقتطاب المغطاة بالبلاتين مع اداء

تحفيزي ممتاز لكن هذه العملية تتطلب درجة حرارة تلدين عالية 390 درجة سيلزية يعني غير عملي لاستخدام مواد أولية بوليميرية. الاختزال الكيميائي والترسيب الكهروفورتي (electrophoretic deposition) هي تقنيات لتحضير الأقطاب المغطاة بالبلاتين تحت درجة حرارة الغرفة {76} بسبب ان الكواشف العضوية المستخدمة في هذه العمليات لتحسين الالتصاق بين طبقة البلاتين المطلية والمادة الاولية وهذا يمكن ان يقلل الفعالية التحفيزية للأقطاب المعاكسية. الترسيب الكهربائي بسيط، واقتصادي لا يتطلب فراغ فائق العلو ولا حرارة عالية وذلك يكون مناسب للإنتاج على نطاق واسع. الاكثر اهمية، ان DSSCs المعتمدة على الترسيب الكهربائي لأقطاب البلاتين المعاكسية تظهر كفاءات تحويل طاقة مقارنة الى الأدوات مع اقطاب البلاتين المعاكسية المحضرة بالترسيب الحراري. تحضير الفلم الفلزي وترسيبه على الكاثود سيؤثر على خواص تركيب الفلم النهائي وبالتالي الأداء النهائي. وفي هذا الاطار، من الواضح بأن نتائج استخدام الجسيمات النانوية يتطلب مواد ذات سطح عالي و متقدمة. لتحقيق كلا التحفيز الكهربائي الكافي وميزة انعكاس الضوء في مادة واحدة مع تحمل قليل نقترح تصميم لعمل اداء عالي لقطب البلاتين المعاكس بشكل مسيطر عليه مع اشكال تراكيب نانوية مختلفة يعتمد على الترسيب الكهربائي الرجوعي (cyclic) electro-deposition) في المحلول الالكتروني المحتوي حامض سداسي كلورو H₂PtCl₆ ونترات الصوديوم NaNO₃ مسبقا. على اي حال للصناعة المربحة واستقرار طويل الاجل للـ DSSCs، اقطاب البلاتين المعاكسية تعاني من ارتفاع سعرها، ندرتها وقابليتها للتآكل بواسطة محلول اليود الالكتروني {77}. نتيجة لذلك من المتوقع تطوير اقطاب البلاتين المعاكسية الحرة باستخدام مواد بديلة لاختزال كلفة الانتاج للـ DSSCs. مواد الكاربون مثل الكاربون المنشط، الانابيب النانوية للكاربون، الكرافيت والكاربون الاسود تم ادخالها كمحفزات للـ DSSCs. سmek القطب المعاكس في هذه الحالة يجب ان يكون اكبر بكثير من ذلك لقطب البلاتين للحصول على كفاءة عالية للـ DSSC {78}. بينما الكرافيت يمتلك فعالية تحفيزية قليلة تجاه اختزال I₃، له مساحة سطحية عالية كنظيره مثل الكاربون الاسود والانابيب النانوية للكاربون وقد ثبت انها تكون فعالة جدا وفي بعض الحالات حتى تجاوزت اداء البلاتين {79}. المشكلة الحيوية لقطاب البلاتين المعاكسية الحرة هو انها ضعيفة الالتصاق للمادة الاولية الموصلة والذي يجعلها غير ملائمة في التطبيقات الصناعية. لزيادة التصاق الأقطاب المعاكسية، تم استخدام متعدد (الاثلين كلايكول) في انابيب الكاربون النانوية متعددة الجدران. استخدام كواشف اللصق العازلة هذه يمكن ان يقلل التوصيل الكهربائي للمحفزات {80}.

النهج الثاني لقطب البلاتين المعاكس الحر تم استخدام عدة بوليمرات موصلة، البوليمرات الموصلة (متعدد الانلين، متعدد البايرول، متعدد 3،4-اثلين ثنائي اوکسي ثايفين) ومتعدد الثايفين) تم التحقق منها كمواد للاقطب المعاكسية للـ DSSCs {81}. من بين جميع الفئات المذكورة اعلاه برز متعدد الانلين كبوليمير موصل مهم بسبب انه جيد بيئيا، مستقر كيميائيا وحراريا وسهل التحضير. متعدد الانلين هو واحد من اقدم البوليمرات الموصلة المعروفة

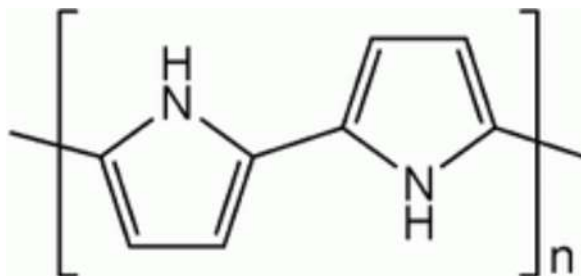
{82}. متعدد الانلين (PANI) موجود في اشكال متنوعة والتي تختلف بالخواص الفيزيائية والكيميائية كما في شكل (12-1).



شكل (12-1) اشكال متعدد الانلين

الاكثر شيوعا الامرالدين المهدرج الاخضر (green protonated emeraldine) يمتلك توصيلية على مستوى شبه الموصل بمقدار $S/cm > 10^4$. اعلى بكثير من البوليمرات الشائعة ($< 10^9 S/cm$) ولكن اوطأ من تلك للفلزات ($> 10^4 S/cm$). متعدد الانلين المبرتن (مثل هيدروكلوريدي متعدد الانلين) يتحول الى قاعدة امرالدين زرقاء عازلة عندما يعالج مع هيدروكسيد الامونيوم {83}. الانلين يمكن ان يتآكسد بسهولة بوجود الكتروليتات داعمة متنوعة. يجب ان يأخذ بعين الاعتبار ان بوليمرات الانلين تمتلك توصيلية جيدة فقط عند PH واطي. بوليمرات الانلين حضرت عادة بواسطة البلمرة المؤكسدة المباشرة للانلين بوجود مؤكسد كيميائي او بواسطة البلمرة الكهروكيميائية على مواد القطب المختلفة. تمتلك البلمرة الكهروكيميائية عدة مميزات مثل التصاقيه افضل، نقاوة عاليه وعمل وصناعة اسهل وبلمرة في المكان الطبيعي {84}.

متعدد البايرول (PPY) هو واحد من اهم البوليمرات المدروسة بسبب توصيليته العالية و خواصه الكهروكيميائية الجيدة. انه يستخدم بشكل واسع في تطبيقات متنوعة مثل المكثفات الفائقة، وابناعات المجال، واجهزه الاستشعار والخلايا الشمسية المحفزة بالصبغة. حضرت جسيمات متعدد البايرول النانوية بواسطة البلمرة الكيميائية وبعد ذلك تم الصاق هذه المادة البوليميرية على زجاج التوصيل والذي تم استخدامه كقطب معاكس DSSCs. وتم الحصول على كفاءة تحويل مقاربة لـ 7.66%. في هذه الدراسة تم الحصول على كفاءة تحويل عاليه لـ DSSCs تقريبا بمقدار 7.33% اداء الخلية الشمسية العالي هذا يعود غالبا الى زيادة مساحة عمل القطب المعاكس {85}. شكل (13-1) يبين جزيئه متعدد البايرول.

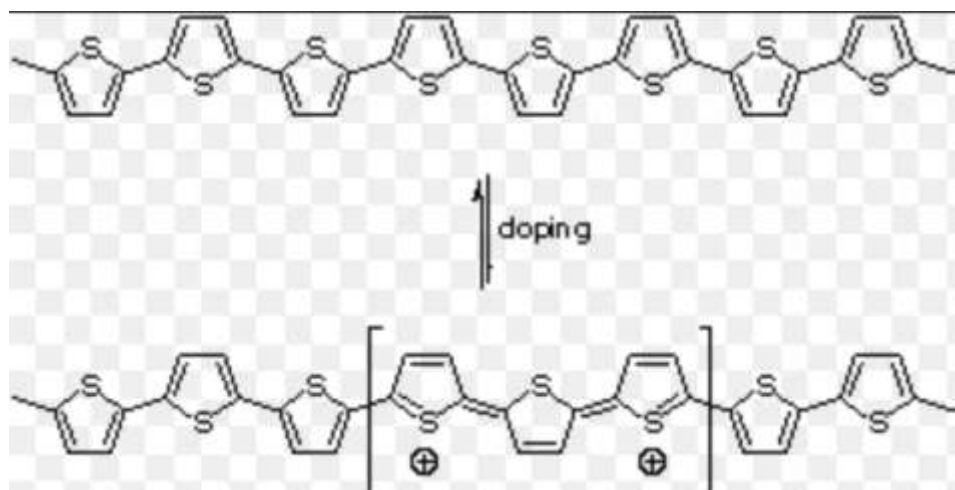


شكل (13-1) جزيئه متعدد البايرول

متعدد الثايوفين (PTh) هو بوليمر مشترك يشبه متعدد الاستيلين ومتعدد الالينين. انه يمتلك تركيب غير متجانس مشابه لمتعدد البايرول. تم الحصول عليه من بلمرة الثايوفين خلال انتشار السلسلة بواسطة الجذور الحرة الموجبة .

عندما حضر متعدد الثايوفين كهروكيميائيا وجد ان لديه توصيلية كهربائية جيدة (-10² S/Cm²) اكثراً بكثير من تحضيره كيميائيا (10⁻⁴ S/Cm). رقيقة فلم متعدد الثايوفين المحضرة كهروكيميائيا في الحالة المؤكسدة تشبه بيروكلورات متعدد البايرول ويمكن ايضاً ان تخزل الى البوليمر الطبيعي {86}.

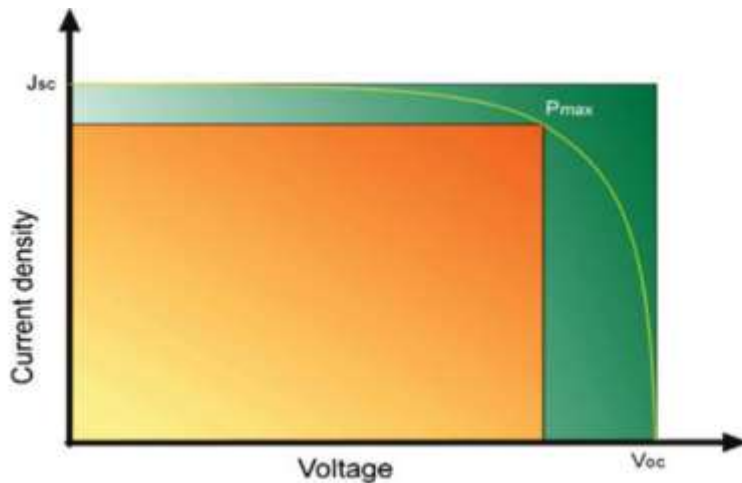
استقرارية متعدد الثايوفين في الشكل المؤكسد، وتوصيليته العالية وتصرفة الكهروكيميائي المهم يسمح لهذه المادة ان تستخدم كمواد للاقطاب {87}. يبين الشكل (14-1) جزيئه متعدد الثايوفين.



شكل (14-1) جزيئه متعدد الثايوفين

11.1 تقييم الخلية الشمسية : Solar Cell Evaluation :

القياسات لجهد- كثافة التيار الضوئي (I-V) تصف خواص تحويل الطاقة للـ DSSCs وهي على الارجح الطريقة الاساسية الافضل لهذا التقييم {33}. شكل (15-1) يبين منحنى تيار- فولتية.



شكل (15-1) منحني تيار- فولتية التوضيحي

منحنيات تيار- فولتية تسمح بالوصول الى واحدة من اهم المعلومات عن الخلايا الشمسية المحضرة، العوامل المهمة مثل كثافة تيار دائرة قصيرة I_{sc} ، جهد دائرة مفتوحة V_{oc} ، أقصى تيار ضوئي I_{max} Maximum Current (I_{max})، وأقصى فولتية ضوئية V_{max} Maximum Voltage (V_{max}) لأعظم قدرة خارجة P_{max} Maximum Power (P_{max}). هذه العوامل تقاد تحت ظروف قياسية من درجة حرارة الخلية 25 درجة سيليزية، اشعاع شمسي ساقط 100 mw/cm^2 وتوزيع قدرة طيفية (AM 1.5) {88}.

اعظم قدرة خارجة للـ DSSCs (P_{max}) هي اعظم قيمة تم الحصول عليها للتطبيق المتعدد لكتافة التيار والفولتية لكل نقطة من منحني تيار- فولتية ويمكن التعبير عنها بيانياً بواسطة المستطيل البرتقالي في شكل (15-1)، عامل الملىء (ff) Fill Factor هو اسم لكمية المستطيل الاخضر الذي يملئ بواسطة الوحدة البرتقالية ولذلك (ff) يعبر عن الخسارة الكهربائية للـ DSSCs . رياضياً، ff يمكن ان يقدر بواسطة المعادلة {29} (2-1).

$$ff = I_{max} * V_{max} / I_{sc} * V_{oc} \quad (2-1)$$

.Short circuit current I_{sc}

V_{oc} : فولتية دائرة مفتوحة {90} Open circuit voltage

اخيراً كفاءة تحويل الطاقة للخلية الشمسية (η) تعرف بأنها القدرة الخارجة مقسومة على القدرة الداخلة (P_{in}) :

$$\text{Power conversion efficiency } (\eta) = (\text{output power} / \text{input power} \times A) \times 100\% \quad \dots \dots \dots (3-1)$$

$$\% \eta = (I_{sc} \times V_{oc} \times ff / P_{in} \times A) \times 100\% \quad \dots \dots \dots (4-1)$$

A: هو المساحة الفعالة ضوئياً للخلية {91}.

(لهذه الدراسة $A = 1\text{cm}^2$ and $P_{in} = 100 \text{ mw/cm}^2$)

12.1 المراجعة الأدبية : Literature Survey

Kiyoaki Imoto وآخرون (2003) {92} حضروا قطب كاربون جديد بواسطة الكاربون المنشط وكان متفوق على قطب البلاتين كقطب معاكس للخلايا الشمسية المحفزة بالصبغة. الأداء الفولتاوصي قد تأثر إلى حد كبير بواسطة عامل الخسونة لقطب الكاربون. فولتية الدائرة المفتوحة ازدادت بمقدار 60mv باستخدام قطب الكاربون المعاكس مقارنة بقطب البلاتين المعاكس بسبب الازاحة الموجبة للجهد المكون للزوج (I_3^-/I^-).

Michael Grätzel (2003) {93} وهو مخترع DSSC في عام 1991 وسميت باسمه، ان الخلايا الشمسية المحفزة بالصبغة تجهز مفهوماً بدليلاً موثقاً به تقنياً واقتصادياً الى يومنا هذا لأجهزة تقاطع p-n الفولتاوصي. وعلى النقيض من الانظمة التقليدية إذ تتحمل اشباه الموصلات كلتا المهمة الامتصاص للضوء ونقل حامل الشحنة. هنا الوظيفتان تم فصلها إذ يتمتص الضوء بواسطة المحفز الذي يرتكز على سطح حزمة شبه الموصل العريضة ويحدث نقل الشحنة في الواجهة عن طريق حقن الالكترون المحفز ضوئياً من الصبغة الى حزمة التوصيل للصلب بينما تنتقل الحوامل من حزمة التوصيل لشبه الموصل الى جامع الشحنة.

Zhen Huang وآخرون (2007) {94} قاما بدراسة كريمة الكاربون الصلب hard carbon spherule (HCS) كقطب معاكس للخلايا الشمسية المحفزة بالصبغة. كفاءة التحويل الكلية لل الخلية وصلت 5.7%، مقارنة ب 6.5% لقطب البلاتين المعاكس المترسب على زجاج الفلور المشوب بأوكسيد القصدير Fluorine Tin Oxide (FTO) المستخدم في الخلايا الشمسية نوع جرازيل تحت نفس الظروف العملية. وجد ان الاداء الفولتاوصي للخلية تأثر بقوة بمساحات السطح النوعية لمواد الكاربون.

Seigo Ito وآخرون (2008) {95} اكتشفوا بأن تقنيات تصنيع غشاء TiO_2 للخلايا الشمسية المحفزة بالصبغة تمتلك كفاءة تحويل من كتلة هوانية عالمية 1.5 AM 1.5، (1000W/m^2) لضوء الشمس الى طاقة كهربائية تفوق 10%. تقنيات صناعية مطبقة حديثاً تشمل قبل المعالجة لقطب الضوئي العامل بواسطة TiCl_4 ، التغيرات في سمك الطبقة لـ TiO_2 النانوبولي الشفاف وتطبيق طلاء خفيف طبقة استطارة ضوء بالإضافة الى التصاق غشاء مضاد للانعكاس على سطح القطب . معالجات TiCl_4 حثت التحسينات في الالتصاق والقوة الميكانيكية لطبقة TiO_2 النانوبولي. السمك الامثل لطبقة TiO_2 المتمثلة كقطب عمل يؤثر على كلا التيار الضوئي والفولتية الضوئية للأجهزة. تغطية قطب TiO_2 الضوئي بواسطة الغشاء المضاد للانعكاس ينتج زيادة في التيار الضوئي. كل من هذه المكونات الصناعية للغشاء يتمتع بنفوذ كبير على المتغيرات الفولتاوصية العامة للأجهزة ناتجاً تحسينات في اداء كفاءة الطاقة النهائية.

Thomas W. Hamann وآخرون (2008) {96} بينوا ان الخلايا الشمسية المحفزة بالصبغة الاكثر كفاءة كانت تمتلك نفس التكوين (جسيمات نانوية للـ TiO_2 محفزة مع $\{Ru(4,4'-dicarboxy-2,2'-bipridine)_2(NCS)_2\}$ وفي تماس مع (I/I_3^-)) على مدى الى 17 سنة الماضية. في هذه الدراسة وضعت الخطوط العريضة للاستراتيجيات من اجل تطوير المكونات الثلاثة الرئيسية المتعلقة بالضوء لا DSSC.

Tae-sik Kang وآخرون (2009) {97} تمكنا من عمل انبيب TiO_2 النانوية المطلوبة بكثرة من خلال استخدام طريقة عمل قوالب الالمنيوم متوسطة المسامية النموذجية. تم استخدام طريقة sol-gel المعدلة لتسلل مسام الالومينا مع ايزوبروبوكساید التيتانيوم $Ti(OC_3H_7)_4$ والذي تم تحويله في وقت لاحق الى انبيب TiO_2 النانومسامية. تم تحقيق متوسط قطرها الخارجي، اطوال الانبوبة وسمك الجدار لتكون $295nm$ ، $15\mu m$ و $42-21nm$ على التوالي. معلومات الحيدود تكشف بأن الانابيب النانوية تتتألف فقط من طور الـ Anatase للتيتانيوم. والخلايا الشمسية المحفزة بالصبغة باستخدام انبيب TiO_2 النانوية المرتبة كقطب عمل انتجت كفاءة تحويل طاقة اعلى من 3.5% مع اعظم فوتون ساقط الى كفاءة تحويل تيار بمقدار 20% عند $520 nm$.

Mishra Amaresh وآخرون (2009) {98} اظهروا ان الخلايا الشمسية المحفزة بالصبغة جذبت اهتماما كبيرا في السنتين الاخيرة اذ انها تعرض احتمالية تحويل واطئ الكلفة للطاقة الفولتاوصوئية. هذه الدراسة تركز على آخر التطورات في التصميم الجزيئي والجوانب التكنولوجية لاصباغ العضوية حرة المعادن من اجل التطبيق في الخلايا الشمسية المحفزة بالصبغة. وقد اولى اهتمام خاص لمبادئ التصميم لهذه الاصباغ وكذلك تأثير نظام الالكترونيت المتتنوع. التحفيز المشترك والتقنية الناشئة لتحديد مدى الامتصاص ايضا تم مناقشته كطريقة لتحسين اداء الالة. بالإضافة لذلك تم عمل تقريرا عن الاصباغ العكسية للكاثوارات الضوئية التي تشكل طريقة جديدة نسبيا لإنتاج الخلايا جنبا الى جنب. وقد تم وضع اهتماما خاصا للعلاقة بين التركيب الجزيئي والخواص الفيزيائية لهذا الاداء في الـ DSSCs.

Di Wei (2010) {99} بين ان الخلية الشمسية المحفزة بالصبغة هي الخلية الشمسية الوحيدة التي يمكن ان تعرّض كلا المرونة والشفافية و كفاءتها مشابهة لخلايا السليكون الشمسية غير المتباعدة لكن مع كلفة اقل بكثير. هذه الدراسة لا تغطي فقط اساسيات الـ DSSC لكن ايضا تعطي البحوث ذات الصلة المتطرفة وكذلك تطويرها للتطبيقات الصناعية. معظم المواضيع البحثية الاخيرة للـ DSSC كمثال تطبيقات التراكيب النانوية للـ TiO_2 ، اقطاب ZnO ، الكترونيات السائل الایوني، انبيب الكاربون النانوية، الكرافيت والـ DSSC ذات الحالة الصلبة كلها تم تضمينها ومناقشتها.

Md. K. Nazeeruddin وآخرون (2011) {100} الهدف من دراستهم هو اعطاء لمحة موجزة وبسيطة لتقنية الخلية الشمسية المحفزة بالصبغة من مبادئ العمل الى التطبيقات التجارية الاولى. فهي تأكّد دور المحفز والاستراتيجيات لتحسين اداء الصبغة وكذلك بعض التطورات الاخيرة التي تهدف للرد على قضايا محددة.

R. وآخرون (2011) {101} اضهرو ان الكاتيكول والاليزارين de.Arms (Catechol and alizarin) اصبحت محفزات نموذجية للخلايا الشمسية المحفزة بالصبغة في السنين الاخيرة وهذا يعود الى قدرتها على الحقن السريع للالكترونات المثارة ضوئيا الى حزمة توصيل شبه الموصل. وبسبب هندسيتها وتراسيبيها الالكترونية المختلفة على حد سواء تظهر الاصباغ اختلافات هامة كمحسّسات وتعمل من خلال ميكانيكيات مختلفة للحقن الالكتروني الى حزمة توصيل شبه الموصل. الخلايا الشمسية المحفزة بالصبغة المستخدمة الاليزارين تم تصنيفها كنوع I. وفي هذه الانظمة الحقن الالكتروني يحدث خلال ميكانيكية غير مباشرة، بينما الخلايا الشمسية المحفزة بالصبغة المستخدمة الكاتيكول كمحفز هي امثلة نموذجية لنوع II DSSCs. وفي هذا الدراسة تم تحليل التركيب الالكتروني والاستجابة البصرية لكل الاصباغ، حرة وملزمه للـ TiO_2 ومقارنتها باستعمال العمليات الحسابية لنظرية دالة الكثافة المعتمدة على الزمن(TD-DFT) إذ اوضحت النتائج هذه الجوانب التشخيصية لكل محفز لمتابعة آليات الحقن الالكتروني المختلفة.

Anees.U.Rehman وآخرون (2012) {102} قاموا بتشخيص الدراسات المقارنة للخلايا الشمسية المحفزة بالصبغة العاملة مع مواد كاثود مختلفة. فقد لوحظ ان مواد الكاثود المختلفة تمتلك طاقات فجوة حزمة مختلفة وانها تؤثر بشكل مباشر على كفاءة DSSC. المواد المختبرة للقطب الموصل هي الكاربون الاسود والكرافييت. على الرغم من ان هذه المواد تستند على الكاربون لكن هناك اختلاف كبير في كفاءات التحويل الكهروضوئية لهذه الخلايا. وتبين النتائج ان الكاربون الاسود (4.19%) يمتلك فعالية اكبر من الكرافييت (2.10%).

Kim Hyunkook وآخرون (2012) {103} قاموا بدراسة ثلاثة اقطاب كاربون معتمدة كأقطاب موصلة في ضوء الانشطة التحفيزية مثل الترددات الكهروكيميائية والمانعات الترابطية. وتم تحضير اقطاب معاكسنة للخلايا الشمسية المحفزة بالصبغة بالاعتماد على الكاربون باستخدام الكرافيدين، انباب كاربون نانوية احادية الجدران (SWNTs) ومتراكب (كرافيدين-انباب كاربون نانوية احادية الجدران) بطريقة الترسيب الكهربائي. تم ملاحظة الخواص البصرية والكهروكيميائية للاقطب المعاكسنة اعلاه. اضهر الكرافيدين المرسّب من خلال سلوكه قطباً معاكساً افضل كفاءة تحويل بمقادير 5.87% تحت AM 1.5.

Wuet Congcong وآخرون (2012) {104} اظهروا بأن ايونات ثلاثي اليوديد في الزوج الالكتروليتي (I_3^-/I^-) يمتلك مساوى هي التاكل والامتصاص الطيفي الذي يقييد تطبيقات الخلية الشمسية المحفزة بالصبغة. في هذه الدراسة تم تطوير الكتروليت اليود الحر بدون اضافة الالكتروليت المستند على اليوديد وتم تقييم الاداء الكهروكيميائي للالكتروليت الجديد. النتائج تشير الى ان الكتروليت اليود الحر يمكن ان يكون مادة فعالة لعمل DSSC. نظراً لتغيير ثلاثي اليوديد المتولد بواسطة اليود، الكتروليت اليود الحر يمتلك اعادة تركيب شحنة منخفض وخصائص نقل الكتروني سريعة مما يؤدي الى فولتية دائرة مفتوحة عالية نسبياً. على اي حال تم الحصول على تيار الدائرة

القصيرة المقول (Isc) نظراً للمحدودية النقل الجماعي للكتروليت اليود الحر. تشير النتائج إلى أن الكتروليت اليود الحر يتمتع باداء عالي الفولتية لـ DSSC.

Yong Hua وآخرون (2013) {105} قاموا بتطوير نوعين من الأصياغ المستندة على الفينوثيازين الجديدة. في النوع الأول تم الحقن جزيئات مع مجموعة الاريل المانحة عند C7 ومجموعة الهكسيل عند N10 للفينوثيازين (PT1 و PT2) بينما في النوع الثاني تمت إضافة جزيئات مع مجموعة الاريل المانحة عند N10 للفينوثيازين (PT3 و PT4) سوية مع السيانوكرابيليت الشارد عند C3 في كلا النوعين من العينات. الميزات التركيبية لمجموعة الاريل المانحة عند N7 للفينوثيازين يمتد على معرض p للكروموفور بينما مجموعة الاريل المانحة عند N10 تسبب زيادة كبيرة في الاعاقة الفراغية للصيغة يعود إلى خصائصها التركيبية العمودية المتبدلة مع كل حلقة فنيل من الفينوثيازين المنحني. كنتيجة، يمتلك نوع الأصياغ الأول أفضل خصائص حصاد الضوء بتناسق مع افلام TiO_2 ويعطي أداء خلية شمسية محفزة بالصيغة أفضل بكثير من أصياغ النوع الثاني. DSSC تبين فولتية دائرة مفتوحة عالية بمقدار 0.829 وتفوق إلى كفاءة تحويل طاقة نهائية بمقدار 6.72% .

Giuseppe Calogero وآخرون (2014) {106} ثبّتوا أن الأصياغ المستندة على الكلوروفيل تم الحصول عليها من الأعشاب البحرية المتمثلة كبدائل جذابة عن معقدات البريديل المستندة على الربيديوم الملوثة للبيئة والعلية التكافلة بسبب وفرتها في الطبيعة. تم استخدام الكلوروفيل من نماذج الطحالب البينية كمحفز في DSSCs. إذ تم استخراج الصيغة بواسطة الأعشاب البحرية المجمدة واستخدمت بدون أي تنقية كيميائية مبنية على جيد بمقدار (0.69). حتى المتغيرات الكيموكهروضوئية إذا ما قورنت مع الأدبيات الموجودة فهي مثيرة للاهتمام.

Ari A. Mohammed وآخرون (2015) {107} أوضحوا أن الخلية الشمسية المحفزة بالصيغة تلعب دوراً مهماً بسبب كلفة المواد الواطئة، سهولة الانتاج وكفاءة التحويل العالية بالمقارنة مع تقنيات الخلية الشمسية رقيقة الغشاء. هدفهم الرئيس هو عمل وإيجاد الترتيب الأفضل للخلية الشمسية المعتمدة على المواد التي تكون غالباً الثمن وعالية الكفاءة في تحويل الطاقة الشمسية ومن ثم اختبار الكفاءة لخلية ثنائية أوكسيد التيتانيوم الشمسية المحفزة بالصيغة. بدأ العمل باثنين من الواح الزجاج المطلية بأوكسيد القصدير المشوب بالفلور (FTO). إذ يتم تطبيق ثنائي أوكسيد التيتانيوم على الجانب الموصل للوح الأول بينما اللوح الثاني يطلى بالكريافيت. تمتص الصيغة من قبل طبقة TiO_2 وبعد ذلك توضع الألواح فوق بعضها وتلتصق سوية. تضاف قطرة من الكتروليت اليود بين اللوحين قبل كبسها. وتنفذ الاختبارات داخلياً تحت مصابيح تبعث كل منها اطوال موجية في الضوء المرئي.

Aim of Study : 13.1 الهدف من الدراسة :

- 1- عمل الـ DSSC بأسعمال زجاج ITO، انواع مختلفة من الصبغات، الكترووليت I^-/I_3^- ، انواع مختلفة من اشباه موصلات TiO_2 وانواع مختلفة من الاقطاب الموصلة (البلاتين، متعدد الانلين، متعدد الثايفين ومتعدد البايرول).
- 2- العمل على انشاء منحنيات الفولتية-تيار بأسعمال انواع مختلفة من الانودات والمقارنة فيما بينها (جسيمات TiO_2 النانوية وانابيب التيتانيوم النانوية) وكذلك انواع مختلفة من الصبغات (صبغة الرمان وصبغة الشمندر).
- 3- دراسة تأثير المحفز على كفاءة الخلية.
- 4- دراسة الاقطاب الافضل لـ DSSC.

الفصل الثاني
الجزء العملي

الجزء العملي

Experimental

يتضمن هذا الفصل المواد والاجهزة المستخدمة في هذا العمل وكذلك اجراءات العمل المختلفة.

1.2 المواد والاجهزة : Materials and instruments

جميع المواد الكيميائية والشركات المجهزة لها تم ادراجها في جدول (1-2)، وكانت جميعها ذات درجة عالية من النقاوة.

جدول (1-2) مواصفات المواد الكيميائية المستخدمة

الوظيفة	المنشا	المواصفات	المادة
لعمل الـ DSSC	MTI,USA	TiO ₂ ,assay;99.9%	ثاني اوكسيد التيتانيوم مسحوق نانوي
لعمل الـ DSSC	China	Ti,assay,99.7%;thickness0.25 mm	ورق التيتانيوم
لعمل الـ DSSC		ITO 30Ω mm ² resistance	اوکسید القصدير المشوب بالاندیوم
لتنظيف المواد	BDH	CH ₃ CH ₂ OH ,assay 95%	ایثانول
لعمل طبقة TiO ₂	BDH	HNO ₃ sp.gr 1.42 and density 1.18	حامض التريك
لتحضير جزئي الانلين	(GCC).U.K	H ₂ SO ₄ ,assay,98%	حامض الكبريتيك
لتحضير محلول الطلاء	Analar	NH ₄ F ,assay,95%	فلوريد الامونيوم
لتحضير محلول الطلاء والكتروليت الـ DSSC	J.T.Baker	CH ₂ OHCH ₂ OH ,assay,99%	اثلين كلايكول
لتطبيقة ورق التيتانيوم من الجانب غير الموصل في عملية الطلاء	Scotch USA		الشريط السائل
لتحضير متعدد الانلين	BDH	C ₆ H ₅ NH ₂ ,assay,99.8%	الانلين
لتحضير قطب البلاتين المعakens	Fluka	H ₂ PtCl ₆ 44098 ppm	حامض سداسي كلورو البلاتين
لتحضير متعدد الثايوفين	Fluka	C ₄ H ₅ S ,assay,99%	ثايوفين
لتحضير متعدد الثايوفين	Fluka	NaClO ₄ ,assay,99%	بيركل سورات الصوديوم
لتحضير متعدد البايرول	Fluka	C ₄ H ₅ N ,assay,99%	بايرول
لتحضير متعدد البايرول	Fluka	C ₂ H ₂ O ₄ ,assay,99%	حامض الاوكزاليك
لتنظيف الاقطاب ولتحضير المحاليل	المختبر الخدمي لقسم الكيمياء في علوم بغداد	H ₂ O	ماء مقطر

انواع مختلفة من الادوات والاجهزه تم استخدامها في هذا العمل وقد تم ادراجها في جدول (2-2).

جدول (2-2) مواصفات و منها الاجهزه المستخدمة

الوظيفة	المنشأ	المواصفات	الآلة
لتقييم I-V للـ DSSC	Bank Elekronic Germany, 2008	Mlab 200 مع البرامج	المجهود الساكن
لعمليات التأثير	U.K	فرن مع منظم حراري رقمي لغاية 1200 درجة سيلزية	فرن
لتغليف ITO وورق التيتانيوم بعد التنظيف	Germany	HAAKE	مسار الحرارة
قياس فولتية، تيار ومقاومة	Taiwan	μA و mV	أفوميتر
مصدر فولتية	GWInsetek, psp-603	اقصى فولتية 120V ، 5Amper	مجهز قدرة
للتحريك	Germany	50Hz 220V, 415 Watt محرك ومسخن مؤقت رقمي/مسخن	محرك مغناطيسي
لتقياس الاطياف الالكترونية للاقطبان المحضرة	Shimadzu Japan	UV-Visible 160v	مطياف- Visible
لتشخيص الاقطبان المحضرة	Shimadzu Japan	FT-IR spectrophotometer 8400 اقصى فصل 0.5Cm^{-1}	مطياف FTIR
تركيب السطح عند الانحلال الذري	Advanced Inc. USA	vertical 0.26nm lateral precision 50nm 0.1nm	مجهر AFM
التصوير المجهري لتركيب السطح	Hitachi FE-SEM Model 5.4160 Japan	0.5-20 Kv	مطياف المسح الالكتروني SEM
تحليل و تشخيص الاقطبان	Cu Philips PW 1050 K α (1.5406 A)	30m A, 40 KV	جهاز حيدود الاشعة السينية XRD
كحاوية مع جهاز المجهاد الساكن	Germany	1000ml، زجاج بيركس	خلية زجاج مغطاة
كحاوية لعملية الطلاء	محلي الصنع	75ml	خلية تفلون
لتشخيص I-V	Japan	100 Watt	مصباح زينون

2.2 الاجراءات العملية : Experimental Procedures :

يتم تجميع مكونات الخلايا الشمسية المحفزة بالصبغة بأربع خطوات عامة تشمل تنظيف الاقطبان (ITO glass وورق التيتانيوم)، تحضير المواد للأنودات الفعالة الذي يتضمن نوعين من الأنودات (TiO_2 النانوي وTNTs)، تحضير الاقطبان الموصلة المحفزة (البلاتين، متعدد الانذلين، متعدد الثايفين ومتعدد البايرول) واخيراً تداخل الصبغة والالكترويليت بين طبقة الانود الفعال والكافود المحفز، وقد تمت جميع هذه الاجراءات في جامعة بغداد- كلية العلوم- قسم الكيمياء.

1.2.2 تنظيف زجاج ITO وورق Ti foil : Cleaning of ITO glass and Ti foil :

شكل (1-2) يبين زجاج ITO (Indium doped Tin oxide) نظيف.



شكل (1-2) زجاجة ITO النظيفة

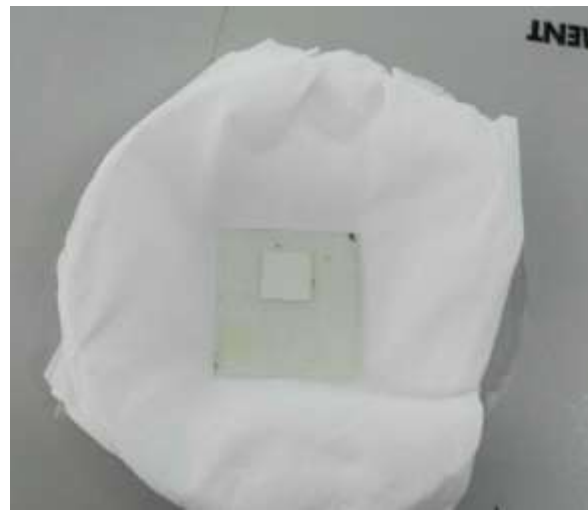
تم عملية التنظيف باتباع الخطوات التالية :

- 1- تنقيع لمدة 8 دقائق بالماء المقطر.
- 2- تنقيع لمدة 8 دقائق بالإيثانول.
- 3- تجفيف.

2.2.2 تصنيع الانواد الفعالة : Fabrication of Active Anodes

1.2.2.2 التصنيع باستخدام جسيمات TiO_2 النانوية : Fabrication of TiO_2 nanoparticles Anode

في بداية الامر تم اذابة 1 غم من مسحوق TiO_2 في قطرات من حامض التترريك المخفف (0.1M) لتصنيع عجينة لزجة. وتم وضع الطبقة على الجانب الموصل لزجاج ITO النظيف والذي تم تحديده باستخدام جهاز الأفوميتر. بعد ذلك تم وضعها بالفرن عند درجة حرارة 400 درجة سيليزية لمدة ساعتين، ثم تركت لتبرد وتم غمرها بعد ذلك في محلول الصبغة لمدة 3 ساعات ثم غسلها بالإيثانول ثم تجفيفها. شكل (2-2) يبين قطب TiO_2 .



شكل (2-2) الانود الضوئي TiO_2

2.2.2.2 تصنيع انباب التيتانيوم النانوية :

Fabrication of Titanium Nano Tube Anode (TNT)

تم تصنيعها بطريقة الاكسدة الكهروكيميائية وكما موضح في شكل (3-2) والذي يتضمن خلية كهروكيميائية ذات قطبين احداهما ورق التيتانيوم النظيف والذي يعمل كقطب عمل والآخر هو البلاتين والذي يمثل القطب المعاكس للخلية.



شكل (3-2) تحضير قطب الـ TNT

تحضير محلول الاكسدة : تم تحضيره بمزج 100 ملتر من الاثلين كلسيكول مع 0.4 غم من فلوريد الامونيوم NH_4F المذابة في 3 ملتر من الماء الليaponi و تم تحريكه باستخدام محرك مغناطيسي لمدة 30 دقيقة.

تمت عملية الاكسدة تحت جهد ثابت بمقدار 60V لمدة ساعة عند درجة حرارة الغرفة. بعد اكسدة ورق التيتانيوم تم غسله بالماء الليaponi ومن ثم بالايثانول لإزالة محلول المتبقى على السطح ثم تم تجفيفه بمجفف الشعر ومن ثم تم اجراء عملية تلبيس في الفرن عند درجة حرارة 400 سيليزية لمدة ساعة لكي تتم عملية انتقال الـ TNT من الطور

غير المتبلور الى طور الـ Anatase للتيتانيوم. بعد ذلك تم وضع قطب الـ TNT في الصبغة لمدة 3 ساعات ومن ثم غسله بالماء المقطر وتجفيفه. يبين الشكل (4-2) قطب TNT المصنوع {8}.



شكل (4-2) قطب TNT

3.2.2 تحضير الأقطاب المعاكسية (الكافود) : Preparation of Counter Electrodes :

1.3.2.2 تحضير قطب البلاتين المعاكس : Preparation of Pt Counter Electrode :

تم وضع قطرات من محلول H_2PtCl_6 على الجانب الموصل لزجاج ITO بعد ذلك تم فرش هذه القطرات على الزجاجة باستخدام قطرات من محلول مادة فعالة (Zahiy الغسيل) ثم ترسيبها باستخدام الحرارة. بعد ذلك تم وضعها في الفرن لمدة ساعتين بدرجة حرارة 450 درجة سيليزية. ومن ثم غسلها بالماء المقطر والإيثانول لازالة المتبقي من محلول ثم تجفيفها. يبين الشكل (5-2) قطب البلاتين الموصل.



شكل (5-2) قطب البلاتين الموصل

2.3.2.2 تصنیع قطب متعدد الانلين المعاكس :

Fabrication of Poly Aniline Counter Electrode

تم تصنیع قطب متعدد الانلين كهروكيميائيا بطريقة الطلاء وكما موضح في شكل (6-2)

الذی يتضمن خلیة كهروكيميائیة ذات قطبین احداهما زجاج ITO والذی يمثل قطب العمل ويتم الطلاء علیه والاخر هو البلاتين والذی يمثل القطب المعاكس للخلیة . {108}



شكل (6-2) تحضیر قطب متعدد الانلين

تحضیر محلول الطلاء : تم تحضیره بوضع 0.3M من الانلين في بيكر سعة 500 مللتر وتم اكمال الحجم بالماء المقطر وفي بيكر آخر سعة 500 مللتر تم وضع 0.1M من حامض الكبريتیک وتم اكمال الحجم بالماء المقطر ثم بعد ذلك تم مزج المحلولین في قنینة حجمیة سعة 1000 مللتر. الطلاء تم تحت جهد ثابت 12v لمدة 5 دقائق في درجة حرارة الغرفة. وبعد الطلاء تم غسل القطب بالماء المقطر والايثانول ثم تجفیفه. شكل (7-2) يبین قطب متعدد الانلين الموصل.



شكل (7-2) قطب متعدد الانلين

Fabrication of poly Thiophene : Counter Electrode

تم تصنيع قطب متعدد الثايوفين بطريقة الطلاء وبالطريقة نفسها في تصنيع قطب متعدد الانلين حيث كانت الخلية الكهروكيميائية تتالف من قطبين هما قطب العمل (زجاج ITO الذي يتم الطلاء عليه) والقطب المعاكس (قطب البلاتين).

تحضير محلول الطلاء : يحضر بمزج 0.1M من الثايوفين مع 0.5M من بيركلورات الصوديوم عند درجة حرارة الغرفة. ايضا تم الطلاء تحت جهد ثابت بمقدار 12v لمدة 5 دقائق عند درجة حرارة الغرفة . شكل (8-2) يبين قطب متعدد الثايوفين المعاكس.



شكل (8-2) قطب متعدد الثايوفين الموصى

4.3.2.2 تصنيع قطب متعدد البايرول الموصى :

Fabrication of Poly Pyrrol Counter Electrode

تم تصنيع قطب متعدد البايرول بنفس طريقة تصنيع قطب متعدد الانلين ومتعدد الثايوفين اي بطريقة الطلاء وكانت الخلية الكهروكيميائية ايضا متألفة من زجاج ITO كقطب عمل والبلاتين كقطب معاكس.

تحضير محلول الطلاء : يحضر بمزج 0.1M من البايرول مع 0.25M من حامض الاوكزalic. ايضا تم الطلاء تحت جهد ثابت بمقدار 7V لمدة 5 دقائق في درجة حرارة الغرفة. شكل (9-2) يبين قطب متعدد البايرول الموصى.



شكل (9-2) قطب متعدد البايرول الموصى

4.2.2 تحضير الاصباغ الطبيعية : Preparation The Natural Dye :

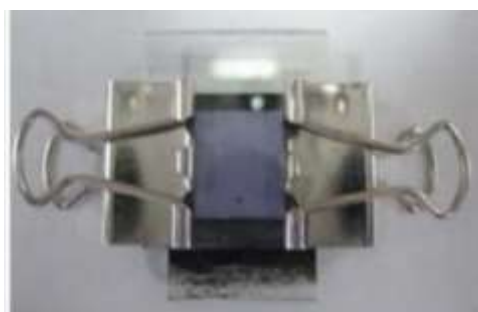
تم تحضير الاصباغ الطبيعية عن طريق عصر كل من الرمان والشمندر. وذلك باستخدام الخلط لاستخراج صبغة الشمندر من نبات الشمندر بينما تم استخدام اليد لاستخراج صبغة الرمان من فاكهة الرمان.

5.2.2 تحضير الكتروليت الخلية : Preparation of The Cell Electrolyte :

الكتروليت الخلية يحضر بإذابة $0.5M$ من KI مع $0.05M$ من I_2 في الاثلين كلايكول للحصول على ايونات (I^-/I_3^-) التي تستخدم كمستقبل ومانح للاكترونات خلال تفاعل الاكسدة-اخترال بين الانود والقطب الموصل.

6.2.2 تجميع الخلايا الشمسية المحفزة بالصبغة : Assembling Dye Sensitive Solar Cells

يتم تجميع الخلية بالإضافة قطرات من الكتروليت الخلية على قطب الانود الضوئي ثم وضع كلا القطبين فوق بعض (الانود والكافود) بعد ذلك يتم كبسهما باستخدام ماسكة، وبذلك تم الحصول على المساحة بين القطبين من خلال بعديها. شكل (10-2) يبين الخلية الشمسية المحفزة بالصبغة.



شكل (10-2) الخلية الشمسية المحفزة بالصبغة

3.2 تقييم الخلايا الشمسية : Evaluation Of The Fabricated DSSCs :

شكل (11-2) يبين نظام تقييم الخلايا الشمسية المحفزة بالصبغة.



شكل (11-2) نظام تقييم الخلية الشمسية المحفزة بالصبغة

المطلبات هي :

مصدر ضوء (مصباح زينون)، كابلات و جهاز المجهاد الساكن لتقدير عمل الـ .DSSC

- يتم توصيل الخلية الشمسية مع جهاز المجهاد الساكن باستخدام الكابلات.

- يتم تسلیط الضوء.

- يتم السيطرة على قيمة الفولتية خلال الجهاز الذي يعطي جدول ومخطط لتشخيص V-I.

* تمت عملية القياس للخلايا الشمسية المحفزة بالصبغة في جامعة بغداد - كلية العلوم - قسم الكيمياء.

الفصل الثالث

النتائج
والممناقشة

النتائج والمناقشة

Results and Discussions

يتضمن هذا الفصل مناقشة ما يأتى : طلاء ورق التيتانيوم لانتاج انبيب التيتانيوم النانوية، القياسات الطيفية للاقطاب والتي تشمل مطيافية الاشعة تحت الحمراء FTIR (لاقطاب)، PANI و PTh و PPY، حيود الاشعة السينية XRD (لقطبي TiO_2 و TNT)، مجهر القوة الذرية AFM (لاقطاب TiO_2 ، TNT ، Pt، PANI، PPY و PTh) و مجهر المسح الالكتروني SEM لقطب TNT، الخصائص البصرية لصبغة الرمان والشمئندر واخيرا اداء وكفاءات مختلف الخلايا الشمسية المحفزة بالصبغة التي تم تجميعها.

1.3 تحضير انبيب اوكسيد التيتانيوم النانوية بطريقة الاكسدة : Titanium Oxide Nanotubes by Anodizing

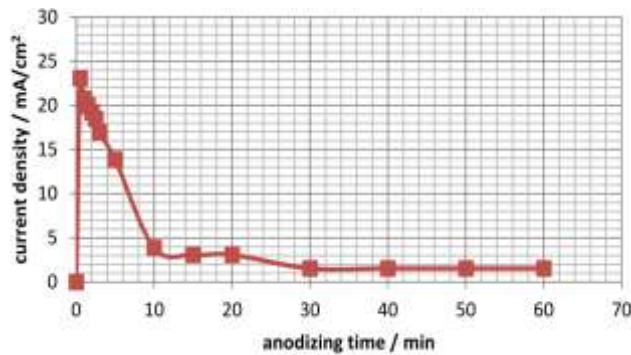
يحضر الانود الضوئي TNT بواسطة عملية الاكسدة وهي عملية كهروكيميائية والتي تحول Ti الى TiO_2 طبقا للمعادلة الكيميائية التالية :



طبقة الاوكسيد المدمجة هذه على سطح التيتانيوم تقود الى انخفاض سريع في كثافة التيار يعود الى توصيليتها الكهربائية الرديئة. كثافة التيار بعد ذلك تكون شبه ثابتة ويعود ذلك الى الانحلال الكيميائي لطبقة الاوكسيد مكونا معقدات فلوريد ذائبة وكما في المعادلة التالية :



نتيجة لذلك تتشكل التجاويف الرقيقة او المسام على السطح. عند التطبيق تحت جهد كافٍ تحصل الاكسدة عند تداخل TiO_2 بينما ايونات الاوكسجين (O_2^-) تنتقل من محلول لطبقة الاوكسيد. في الوقت نفسه ايونات التيتانيوم (Ti^{+4}) تنتقل من التيتانيوم لمحلول الاوكسيد فتتدخل وتتحل داخل محلول مما يقود الى زيادة مستمرة في عمق تركيب المسام وبالتالي تشكيل الانابيب النانوية موجهة بشكل عمودي على المادة الاولية {109}. تم الافادة بأن هنالك متغيرات عدة تأثر على البنية تتضمن قطر الثقب، سمك الجدار، طول الانبوب ونوعية السطح للـ TNT المحضر مثل فولتية الاكسدة، الوقت وتركيز محلول الاكسدة {110}. شكل (1-3) يبين عملية الاكسدة بظروف (60V لمناولة ساعة والمحلول يتتألف من 0.4wt% من NH_4F و 3vol% من H_2O في الاثلين كلوكول عند درجة حرارة الغرفة). سلوك مؤقت I-V يبين بأن التيار في بداية الامر يزداد فجأة ويصل الى اقصى نقطة عند اول 4 دقائق، بعد ذلك بدء الاضمحلال السريع للتيار حتى تم تسجيل قراءة ثابتة والتي استمرت حتى نهاية التجربة.



شكل (1-3) مخطط تيار/ زمن لنمو انبيب الـ TiO_2

هذا السلوك متوقع الحصول بالاعتماد على قانون اوم ($I=V/R$)، هذه المرحلة من عملية الاكسدة هي المسؤولة عن جعل التغطية كاملة للـ TiO_2 على سطح Ti ، ويوضح جدول (1-3) زمن وكثافة التيارات القصوى والثابتة لعملية الاكسدة.

جدول (1-3) زمن وصول التيارات الثابتة والقصوى لعملية الاكسدة لورق التيتانيوم في محلول يتالف من 0.4wt% من NH_4F و 3vol% من H_2O و 87vol% من الاثنين كلايكول عند 60v لمدة ساعة

الزمن Min	كثافة التيار الثابتة m A/Cm^2	الزمن Min	كثافة التيار القصوى m A/Cm^2	جهد الطلق Volt
10	2	1.5	23	60

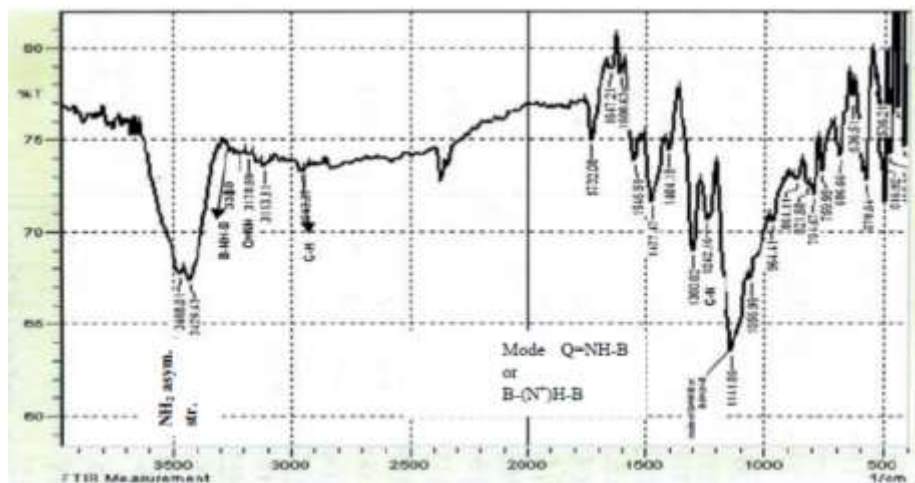
2.3 القياسات الطيفية للاقطبان : Spectral Measurement of Electrodes

1.2.3 قياس FTIR Measurement : FTIR

قطب متعدد الانلين:

يبين الشكل (2-3) طيف الـ FTIR لمتعدد الانلين المحضر بواسطة البلمرة الكهربائية. قمم الامتصاص الرئيسية هي 1647.2 cm^{-1} , 2943 cm^{-1} , 3178 cm^{-1} , 3310 cm^{-1} , 3468 cm^{-1} ، 1141 cm^{-1} و $1300-1200 \text{ cm}^{-1}$ ، 1477.4 cm^{-1} ، cm^{-1} والتي تعود الى وجود مط اصرة N-H في الحلقة الاروماتية، التأثر الهيدروجيني لاصرة N-H، مجموعة الكوينويド الطرفية (Q=NH)، مط اصرة C-H، مط اصرة C=C في الحلقة الاروماتية، مط اصرة C=N في المركب الاروماتي، مط اصرة C-N للالمينات الاروماتية و القمة الاخيرة تمثل الوضع التذبذبي لـ $\text{B}=\text{NH}^+-\text{Q}$ و $(\text{B}^+-\text{NH}=\text{Q})$ في مركب متعدد الانلين على التوالى. في القمة الاخيرة تكون الحزمة شديدة جدا وعريضة وهذا يعود الى وجود الشحنات الموجبة {111}. تشير القمة عند 1546.91 cm^{-1} بأن مركب الكوينويد لا يظهر اي تغيرات هامة لجميع نماذج البوليمر ومن ذلك نستنتج بأن البوليمرات تحضر باستخدام احماض اساسية ثنائية وثلاثية، وقد وجد بأن حامض H_2SO_4 يمكن ان يتدخل مع الـ PANI عن طريق منح اما انيونات HSO_4^- او انيونات

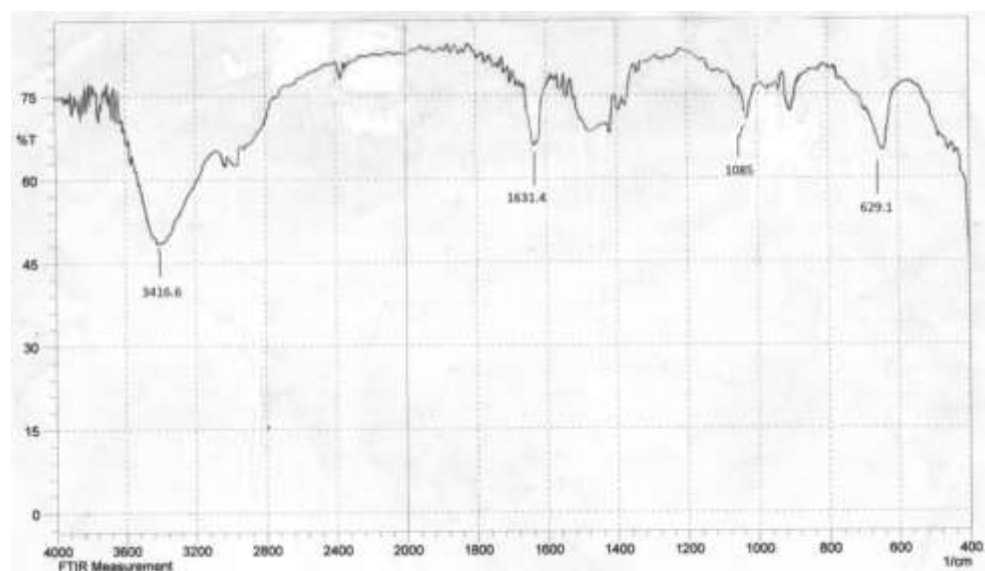
SO_4^{2-} كأنيونات مشوبة وقد اتفق العديد من المؤلفين بأن أنيونات HSO_4^- المشوبة متواجدة في .
 {112} PANI/ H_2SO_4 .



شكل (2-3) طيف FTIR لقطب متعدد الانلين PANI

قطب متعدد الثايوفين:

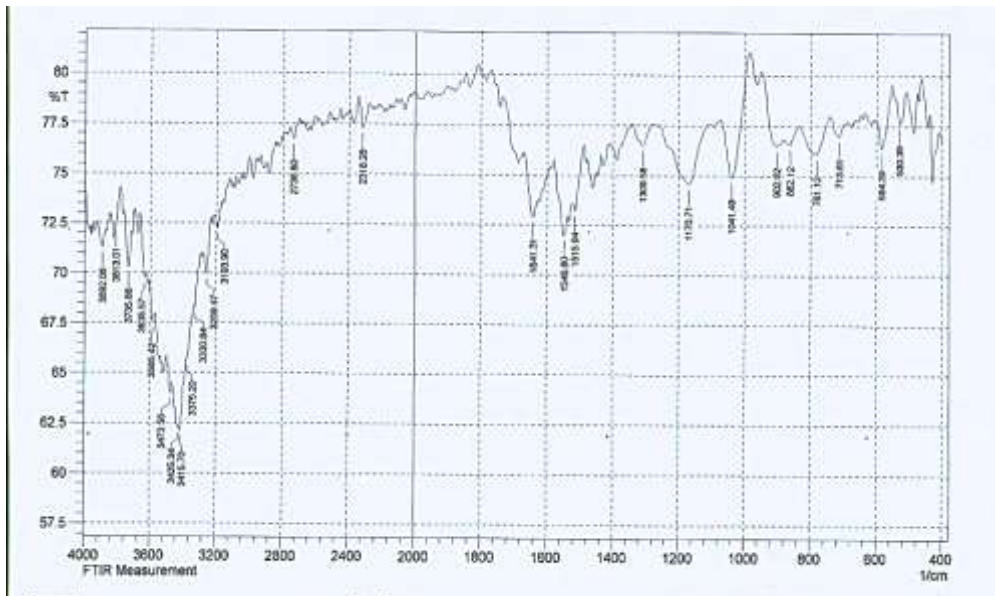
يعطي الشكل (3-3) طيف الـ FTIR في مدى ترددات ($4000-400 \text{ cm}^{-1}$) لمتعدد الثايوفين المحضر بواسطة البلمرة المؤكسدة. القمم الرئيسية عند 1085 cm^{-1} ، 629.1 cm^{-1} ، 1631 cm^{-1} و 3416.6 cm^{-1} تعود إلى وجود اواصر C=C، C-S، C-C و C-H في متعدد الثايوفين على التوالي {113}. وهذا مشابه إلى طيف FTIR القياسي لمتعدد الثايوفين والاختلاف الكلي عن جزيئ الثايوفين هو الذي يؤكد البلمرة الناجحة لجزيئ الثايوفين وتشكيل متعدد الثايوفين.



شكل (3-3) طيف الـ FTIR لمتعدد الثايوفين

قطب متعدد البايرول:

يعطي الشكل (4-3) طيف FTIR لمتعدد البايرول. والذي يبين مط اصرة N-H عند 3415 cm^{-1} . مط اصرة C=C خارج الحلقة يظهر عند 1641 cm^{-1} بينما لا تظهر مثل هذه الاصرة في طيف FTIR لجزيئ البايرول وهذا يؤكّد نجاح عملية البلمرة {114}.

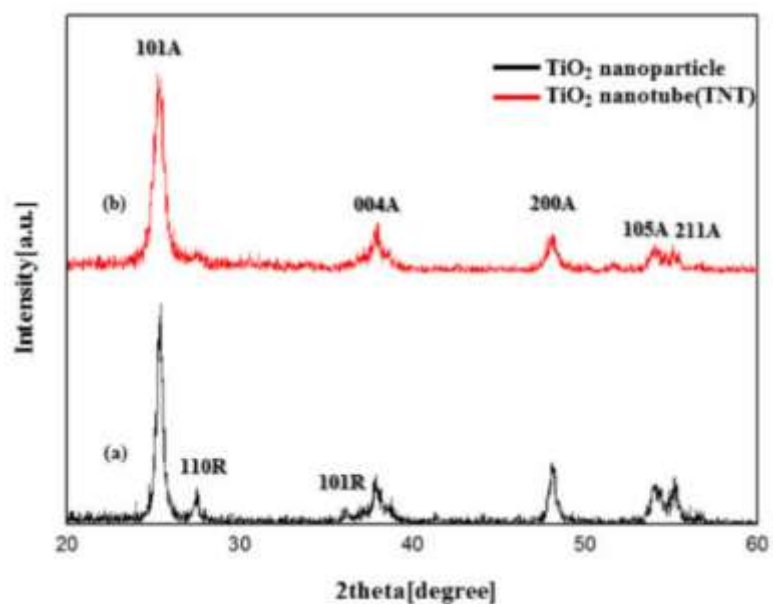


شكل (4-3) طيف الـ FTIR لمتعدد البايرول

2.2.3 قياس حيود الاشعة السينية (XRD)

اقطاب الـ TiO_2 و الـ TNT:

شكل (5-3) يمثل طيف الـ XRD لكل من الـ TiO_2 والـ TNT والذي يقارن بينهما إذ يبين بأن الـ TNT يمر بدرجة عالية من التبلور لطور الـ Anatase وبدون اي شوائب مرحلية.

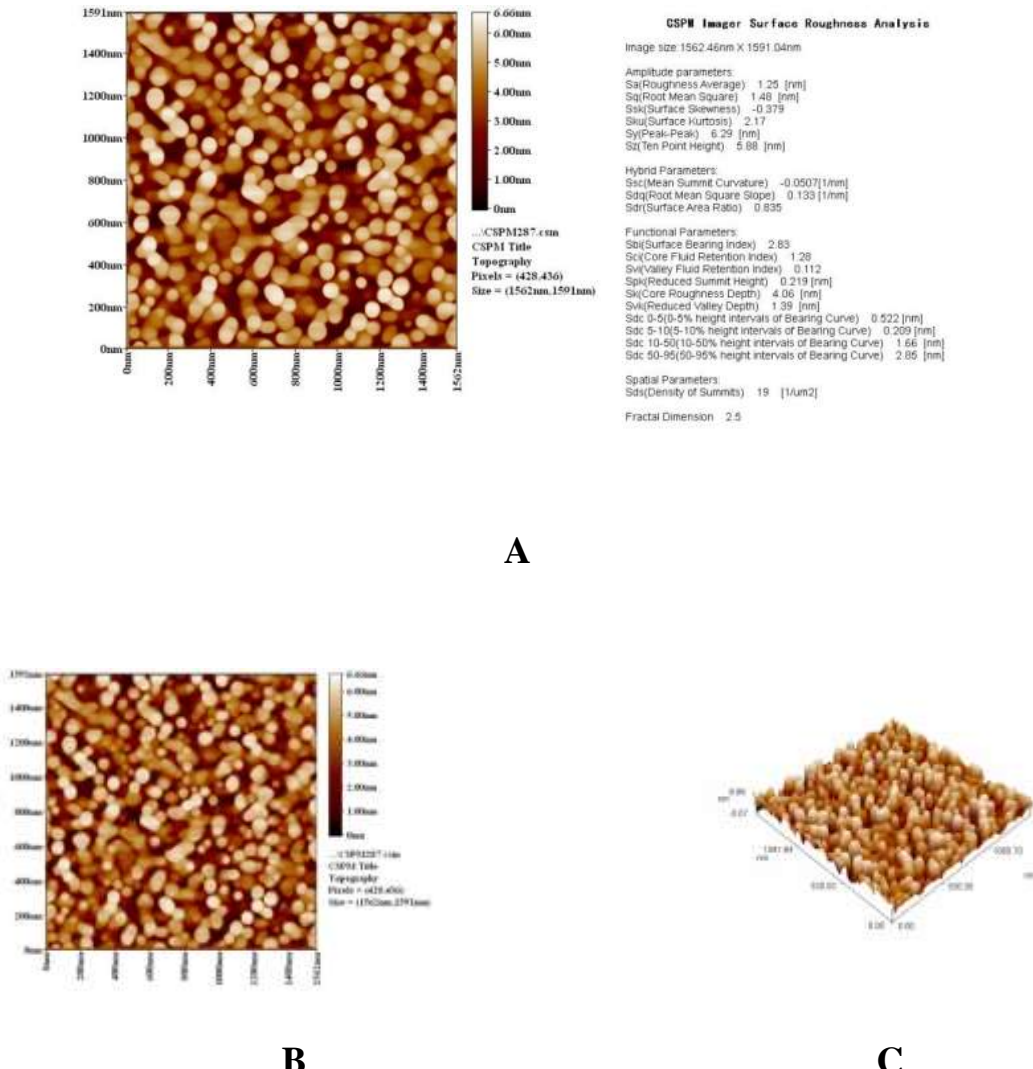


شكل (5-3) انماظ TiO_2 -a و TiO_2 -b لـ XRD

3.2.3 القياس بمجهر القوة الذرية (AFM)

قطب ثنائي اوكسيد التيتانيوم : TiO_2

شكل (6-3) يوضح خصوصية السطح والابعاد لقطب الـ TiO_2 .

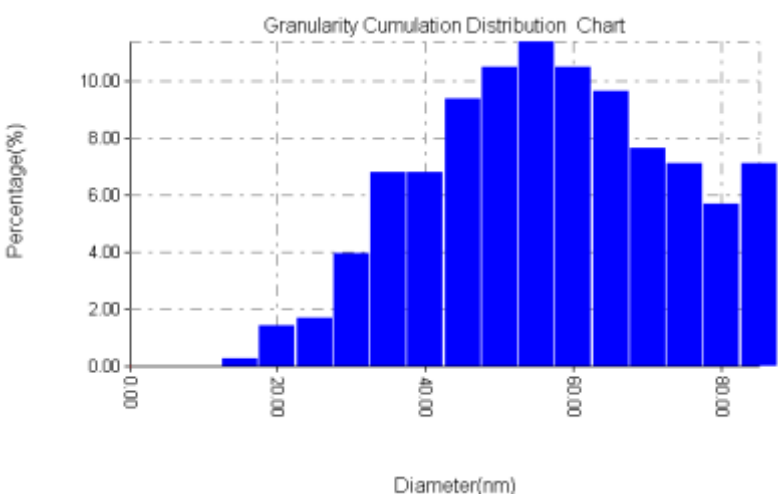


شكل (6-3)- صورة AFM التي تبين تقرير الخصوصة B و C – صور 2D و 3D AFM لقطب TiO_2 (عجينة TiO_2 المطلية على زجاج ITO)

جدول (3-2) يبين توزيع حجم الجسيمات لقطب TiO_2 .

جدول (3-2) توزيع حجم الجسيمات لقطب TiO_2

Avg. Diameter: 54.25 nm			<=10% Diameter: 30.00 nm		
<=50% Diameter: 50.00 nm			<=90% Diameter: 75.00 nm		
Diameter(nm) <	Volume(%)	Cumulation(%)	Diameter(nm) <	Volume(%)	Cumulation(%)
15.00	0.28	0.28	40.00	6.82	21.02
20.00	1.42	1.70	45.00	9.38	30.40
25.00	1.70	3.41	50.00	10.51	40.91
30.00	3.98	7.39	55.00	11.36	52.27
35.00	6.82	14.20	60.00	10.51	62.78
			65.00	9.66	72.44
			70.00	7.67	80.11
			75.00	7.10	87.22
			80.00	5.68	92.90
			85.00	7.10	100.00

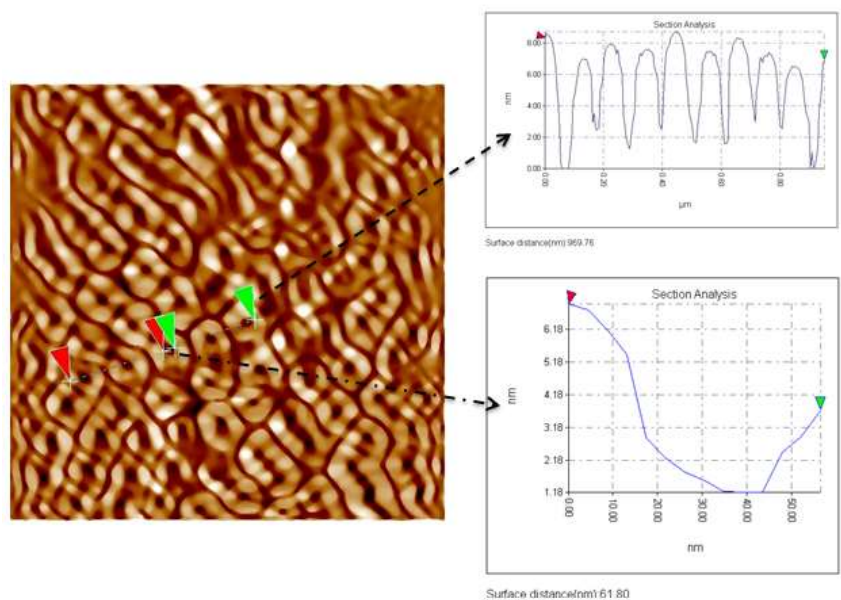


The chart is titled "Granularity Cumulation Distribution Chart". The Y-axis is labeled "Percentage(%)" and ranges from 0.00 to 10.00. The X-axis is labeled "Diameter(nm)" and ranges from 15.00 to 85.00. The distribution is unimodal and slightly right-skewed, peaking around 55-60 nm.

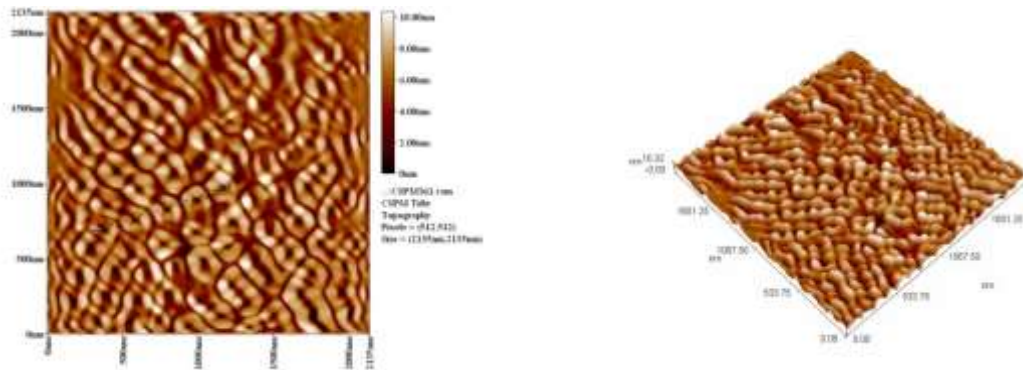
Diameter Range (nm)	Percentage (%)
15.00 - 20.00	~0.28
20.00 - 25.00	~1.42
25.00 - 30.00	~1.70
30.00 - 35.00	~3.98
35.00 - 40.00	~6.82
40.00 - 45.00	~6.82
45.00 - 50.00	~9.38
50.00 - 55.00	~10.51
55.00 - 60.00	~11.36
60.00 - 65.00	~10.51
65.00 - 70.00	~9.66
70.00 - 75.00	~7.67
75.00 - 80.00	~7.10
80.00 - 85.00	~5.68
85.00 - 90.00	~7.10

قطب أنبوب التيتانيوم النانوي TNT:

شكل (7-3) يوضح تحليل المقطع الخطي والابعاد لقطب الـ TNT.



A



B

C

شكل (7-3) - صورة AFM التي تبين تحليل المقطع الخطي B و C - صور 2D AFM و 3D لقطب الـ TNT المحضر بطريقة الاكسدة (0.4wt% من NH_4F و 3vol% من H_2O و 87.8vol% من الاثنين كلايكول مع جهد اكسدة 60V لمدة ساعة واحدة)

جدول (3-3) يوضح حجم الجسيمات لقطب الـ TNT.

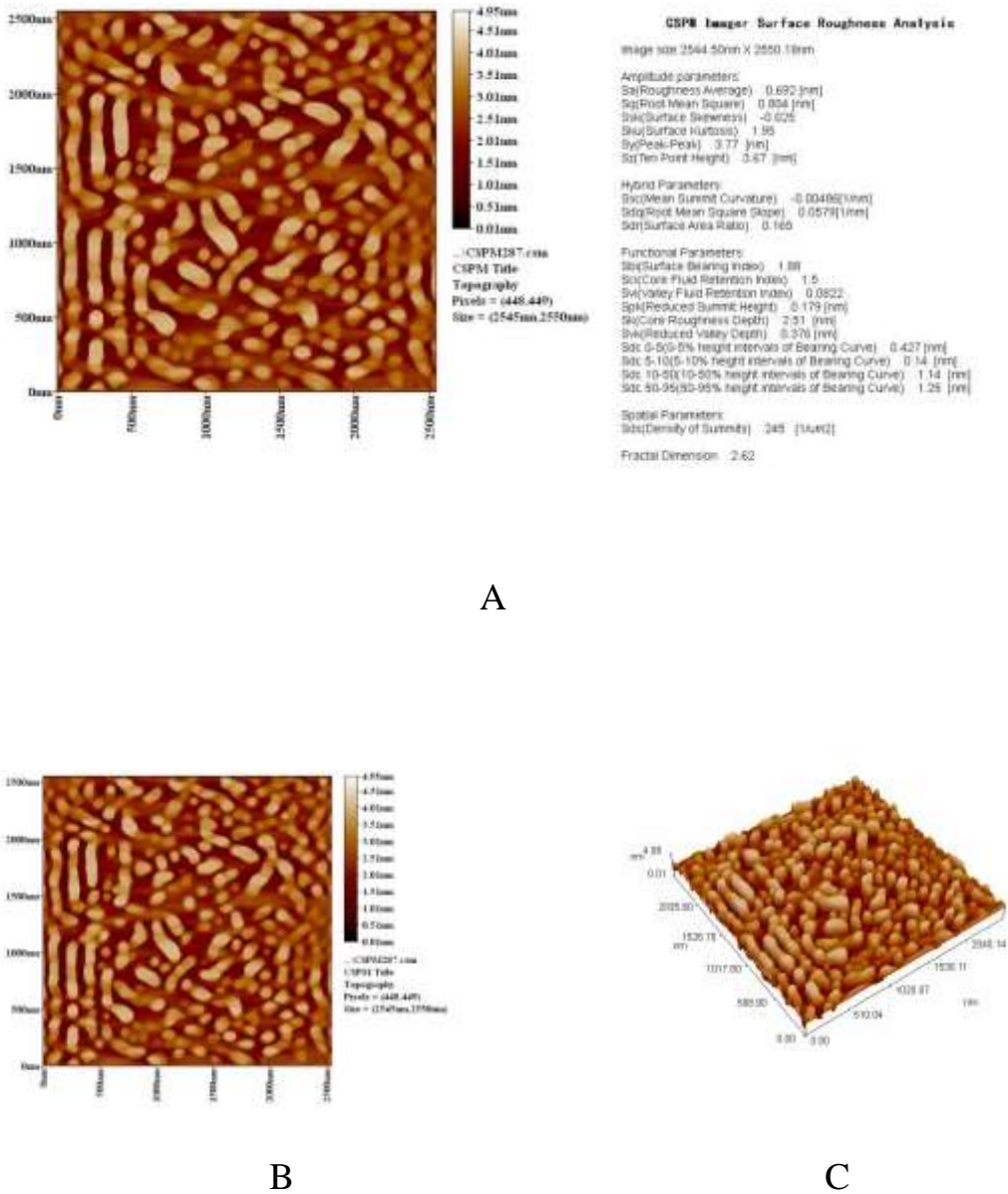
جدول (3-3) توزيع حجم الجسيمات لقطب TNT

Avg. Diameter:64.34 nm			<=10% Diameter:40.00 nm		
<=50% Diameter:65.00 nm			<=90% Diameter:80.00 nm		
Diameter(nm)<	Volume(%)	Cumulation(%)	Diameter(nm)<	Volume(%)	Cumulation(%)
10.00	0.73	0.73	45.00	2.55	11.27
15.00	0.36	1.09	50.00	7.64	18.91
20.00	0.36	1.45	55.00	10.18	29.09
30.00	1.09	2.55	60.00	9.09	38.18
35.00	2.55	5.09	65.00	6.55	44.73
40.00	3.64	8.73	70.00	8.73	53.45

The chart is titled "Granularity Cumulation Distribution Chart". The x-axis is labeled "Diameter(nm)" and has major ticks at 0.00, 50.00, 100.00. The y-axis is labeled "Percentage(%)" and has major ticks at 0.00, 4.00, 8.00, 12.00, 16.00. The data is represented by blue bars. The distribution starts at 0.00-10.00 nm with a low percentage (~0.73%). It remains low until 10-20 nm, then rises to a peak of ~17% at 60-70 nm. After the peak, it decreases sharply, reaching near zero by 100 nm.

قطب متعدد البايرول PPY:

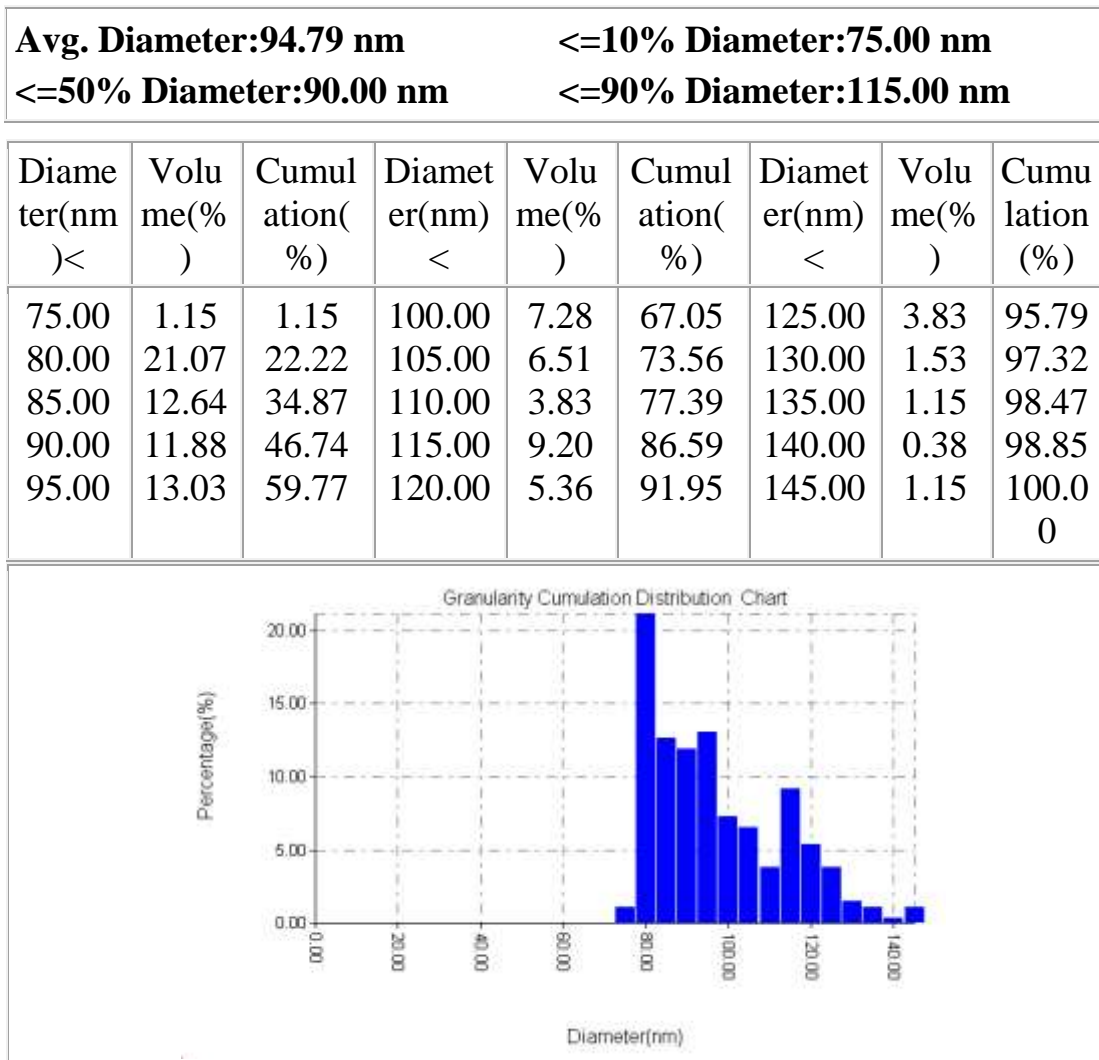
شكل (8-3) يبين خشونة السطح والابعاد لقطب متعدد البايرول.



شكل (8-3)- صورة AFM التي تبين تقرير الخشونة و 2D و 3D - صور AFM بطريقة البلمرة 0.1M من البايرول مع 0.25M من حامض الاوكزاليك)

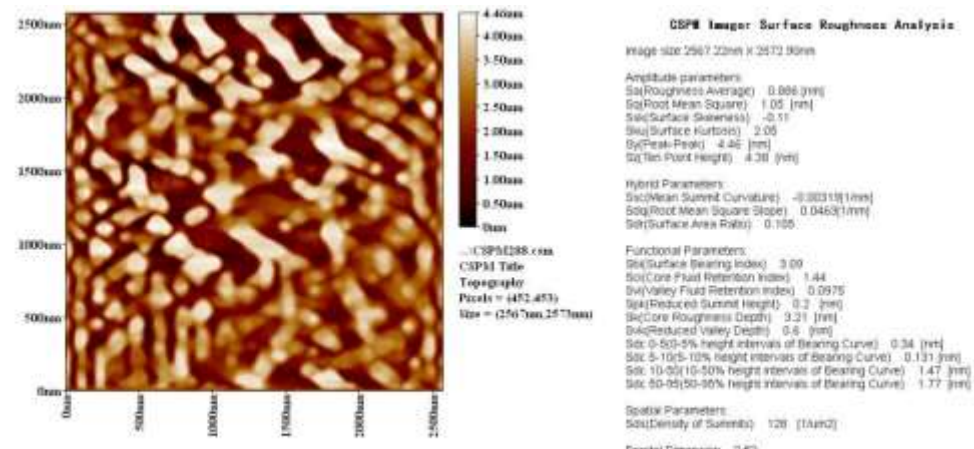
جدول (4-3) يبين توزيع حجم الجسيمات لقطب متعدد البايرول.

جدول (4-3) توزيع حجم الجسيمات لقطب PPY

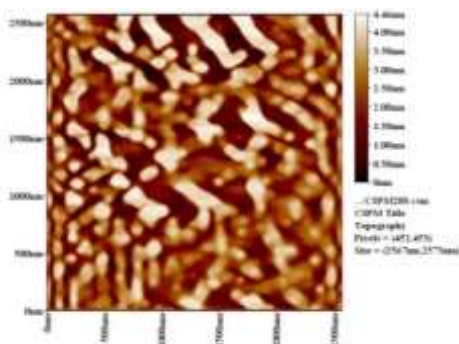


قطب متعدد الانلين PANI

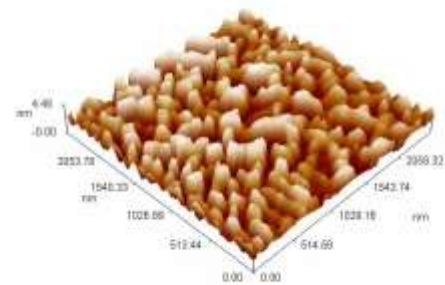
شكل (9-3) يبين خشونة السطح والابعاد لقطب متعدد الانلين.



A



B



C

شكل (9-3)-A- صورة AFM التي تبين تقرير الخشونة B و C - صور 3D و 2D AFM لقطب متعدد الانلين المحضر بطريقة البلمرة (0.3M من الانلين مع 0.1M من حامض الكبريتيك)

جدول (5-3) يوضح توزيع حجم الجسيمات لقطب متعدد الانلين.

جدول (5-3) توزيع حجم الجسيمات لقطب PANI

Avg. Diameter:98.76 nm			<=10% Diameter:50.00 nm		
<=50% Diameter:90.00 nm			<=90% Diameter:150.00 nm		
Diameter(nm)<	Volume(%)	Cumulation(%)	Diameter(nm)<	Volume(%)	Cumulation(%)
10.00	0.29	0.29	100.00	10.98	56.36
20.00	1.16	1.45	110.00	7.51	63.87
30.00	2.60	4.05	120.00	9.54	73.41
40.00	2.02	6.07	130.00	6.94	80.35
50.00	3.18	9.25	140.00	4.62	84.97
60.00	8.09	17.34	150.00	2.89	87.86
70.00	10.69	28.03	160.00	2.31	90.17
80.00	8.09	36.13	170.00	2.60	92.77
90.00	9.25	45.38	180.00	2.60	95.38

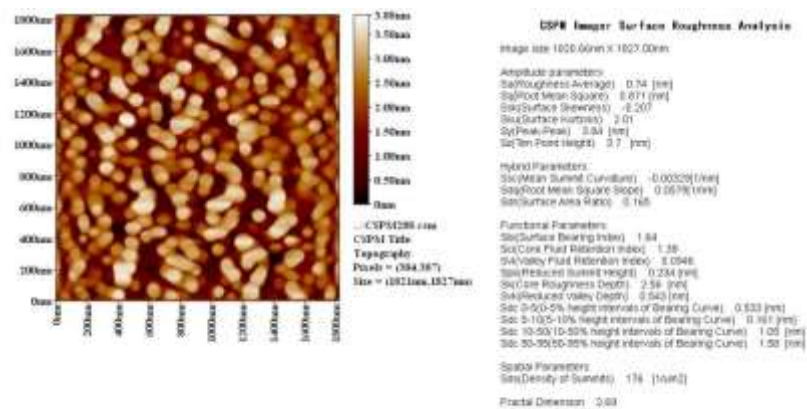
Granularity Cumulation Distribution Chart

The histogram displays the size distribution of PANI particles. The x-axis represents the diameter in nanometers, and the y-axis represents the percentage of particles. The distribution is skewed towards smaller diameters, with the highest frequency occurring around 100 nm.

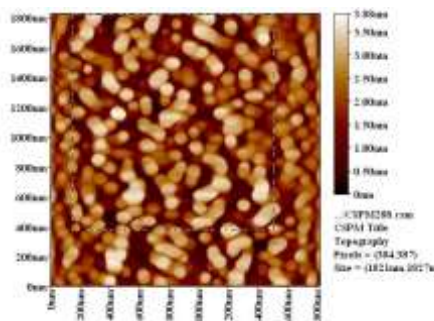
Diameter Range (nm)	Percentage (%)
0-10	~0.29
10-20	~1.45
20-30	~4.05
30-40	~6.07
40-50	~9.25
50-60	~9.25
60-70	~17.34
70-80	~28.03
80-90	~36.13
90-100	~45.38
100-110	~10.98
110-120	~7.51
120-130	~9.54
130-140	~6.94
140-150	~4.62
150-160	~2.89
160-170	~2.31
170-180	~2.60
180-190	~2.60
190-200	~1.45
200-210	~0.87
210-220	~0.87
220-230	~0.58
230-240	~0.29
240-250	~0.29
250-260	~0.29
260-270	~0.00
270-280	~0.00
280-290	~0.00
290-300	~0.00
300-310	~0.00
310-320	~0.00
320-330	~0.00
330-340	~0.00
340-350	~0.00
350-360	~0.00
360-370	~0.00
370-380	~0.00
380-390	~0.00
390-400	~0.00
400-410	~0.00
410-420	~0.00
420-430	~0.00
430-440	~0.00
440-450	~0.00
450-460	~0.00
460-470	~0.00
470-480	~0.00
480-490	~0.00
490-500	~0.00

قطب البلاتين: Pt

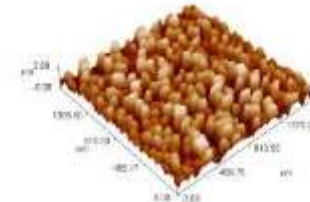
شكل (10-3) يبين خشونة السطح والابعاد لقطب البلاتين.



A



B



C

شكل (10-3) A- صورة AFM التي تبين تقرير الخشونة B و C - صور 2D و 3D لطبقات البلاتين المطلية على زجاج ITO

جدول (6-3) يبين توزيع حجم الجسيمات لقطب البلاتين.

جدول (6-3) توزيع حجم الجسيمات لقطب Pt

Avg. Diameter:72.28 nm			<=10% Diameter:30.00 nm		
<=50% Diameter:70.00 nm			<=90% Diameter:105.00 nm		
Diameter(nm) <	Volume(%)	Cumulation(%)	Diameter(nm) <	Volume(%)	Cumulation(%)
15.00	0.29	0.29	65.00	5.19	41.50
20.00	2.02	2.31	70.00	5.76	47.26
25.00	1.44	3.75	75.00	3.75	51.01
30.00	3.75	7.49	80.00	5.76	56.77
35.00	2.59	10.09	85.00	9.22	65.99
40.00	6.34	16.43	90.00	5.76	71.76
45.00	4.32	20.75	95.00	4.90	76.66
50.00	4.90	25.65	100.00	5.48	82.13
55.00	4.61	30.26	105.00	6.34	88.47
60.00	6.05	36.31	110.00	2.02	90.49

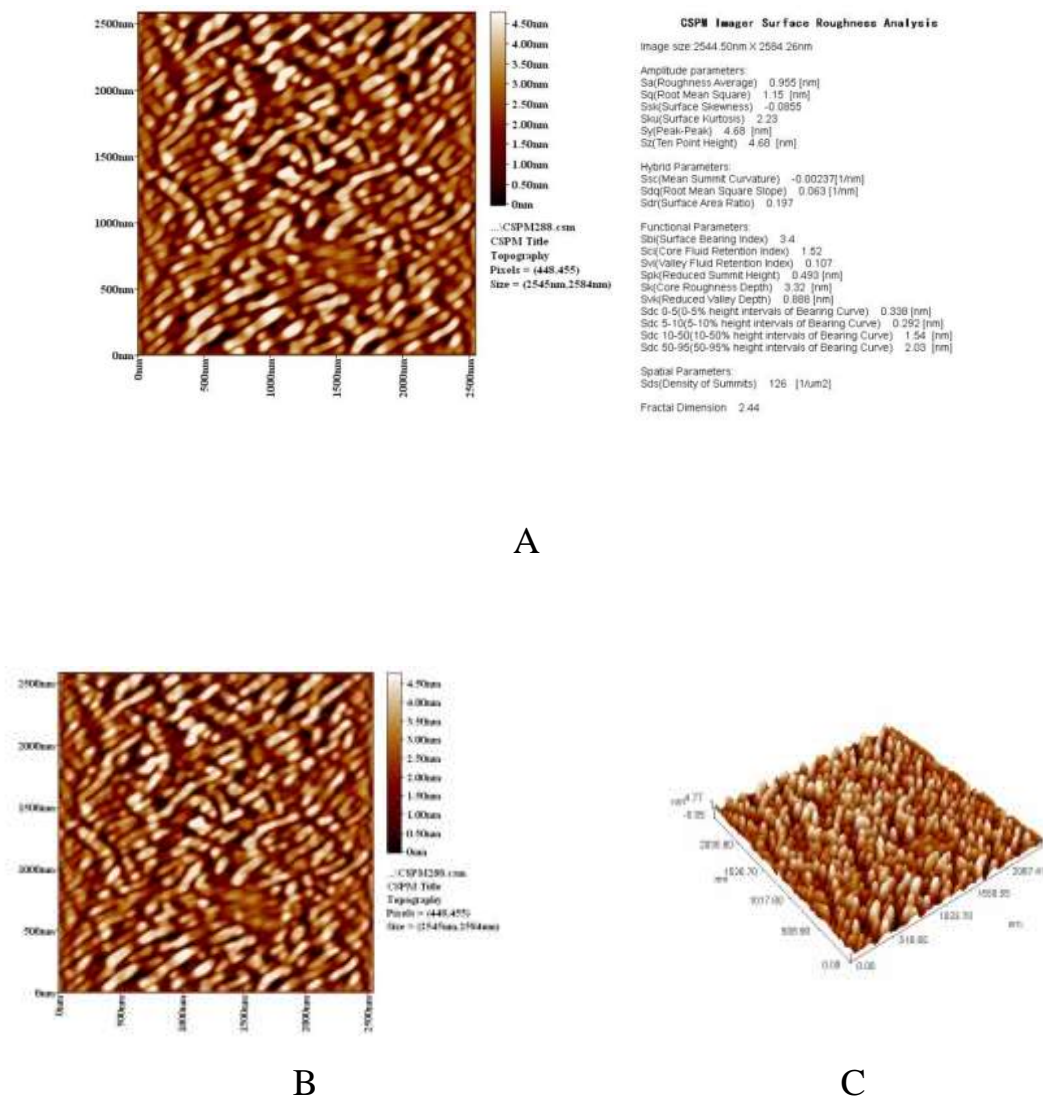
Granularity Cumulation Distribution Chart

Percentage(%)

Diameter(nm)

قطب متعدد الثايوفين: PTh

شكل (11-3) يبين خشونة السطح والابعاد لقطب متعدد الثايوفين.

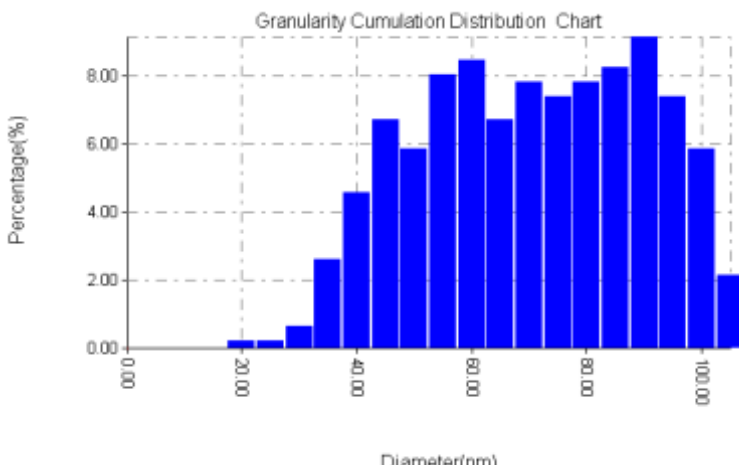


شكل (11-3)-A- صورة AFM التي تبين تقرير الخشونة B و C - صور 2D و 3D AFM لقطب متعدد الثايوفين المحضر بطريقة البلمرة (0.1M) من الثايوفين مع 0.5M من بيركلورات الصوديوم

جدول (7-3) يبين توزيع حجم الجسيمات لقطب متعدد البايرول.

جدول (7-3) توزيع حجم الجسيمات لقطب PTh

Avg. Diameter:68.04 nm			<=10% Diameter:40.00 nm		
<=50% Diameter:65.00 nm			<=90% Diameter:90.00 nm		
Diameter(nm) <	Volume(%)	Cumulation(%)	Diameter(nm) <	Volume(%)	Cumulation(%)
20.00	0.22	0.22	50.00	5.87	20.87
25.00	0.22	0.43	55.00	8.04	28.91
30.00	0.65	1.09	60.00	8.48	37.39
35.00	2.61	3.70	65.00	6.74	44.13
40.00	4.57	8.26	70.00	7.83	51.96
45.00	6.74	15.00	75.00	7.39	59.35
			80.00	7.83	67.17
			85.00	8.26	75.43
			90.00	9.13	84.57
			95.00	7.39	91.96
			100.00	5.87	97.83
			105.00	2.17	100.00



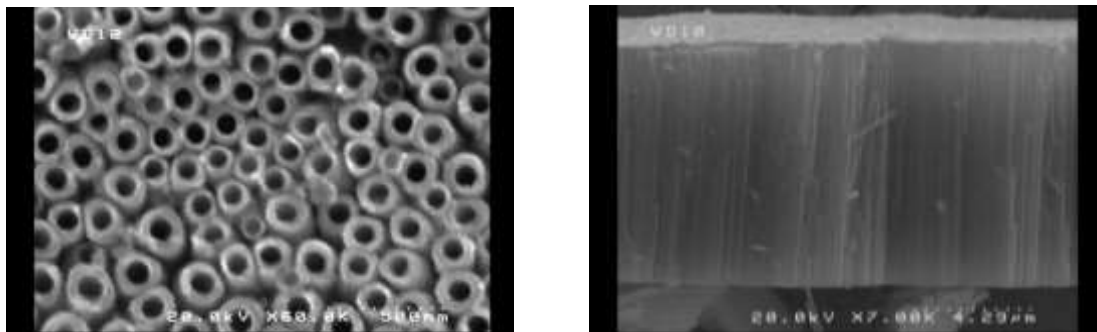
The chart is titled "Granularity Cumulation Distribution Chart". The x-axis is labeled "Diameter(nm)" and ranges from 0.00 to 100.00 with major ticks every 5.00 units. The y-axis is labeled "Percentage(%)" and ranges from 0.00 to 8.00 with major ticks every 2.00 units. The distribution is shown as a series of blue bars. The cumulative percentage starts at 0.22% for the first bin (0.00-5.00 nm) and increases in steps, reaching 100.00% by the 10th bin (95.00-100.00 nm).

Diameter Range (nm)	Percentage (%)
0.00 - 5.00	0.22
5.00 - 10.00	0.22
10.00 - 15.00	0.43
15.00 - 20.00	1.09
20.00 - 25.00	3.70
25.00 - 30.00	8.26
30.00 - 35.00	15.00
35.00 - 40.00	2.61
40.00 - 45.00	4.57
45.00 - 50.00	6.74
50.00 - 55.00	5.87
55.00 - 60.00	8.04
60.00 - 65.00	8.48
65.00 - 70.00	6.74
70.00 - 75.00	7.83
75.00 - 80.00	7.39
80.00 - 85.00	7.83
85.00 - 90.00	8.26
90.00 - 95.00	9.13
95.00 - 100.00	7.39
100.00 - 105.00	5.87
105.00 - 110.00	2.17
110.00 - 115.00	0.00

4.3.2 القياس بمجهر المسح الإلكتروني (SEM) : (SEM)

قطب TNT :

شكل (12-3) يوضح المقطع العلوي والجانبي لقطب TNT.



A

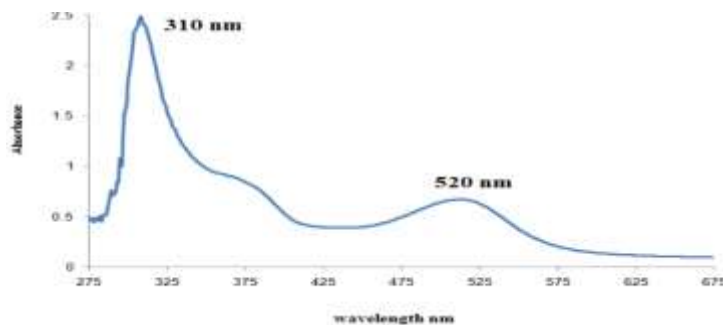
B

شكل (12-3) A- المقطع العلوي ، B- المقطع الجانبي لقطب TNT المحضر بطريقة الاكسدة (12.8vol% من H_2O و 0.4wt% من NH_4F و 3vol% من الاثنين كلايكول مع جهد اكسدة 60v لمدة ساعة واحدة)

3.3 اطيف الامتصاص للصبغات : Absorbance Spectra of Dyes

صبغة الرمان :

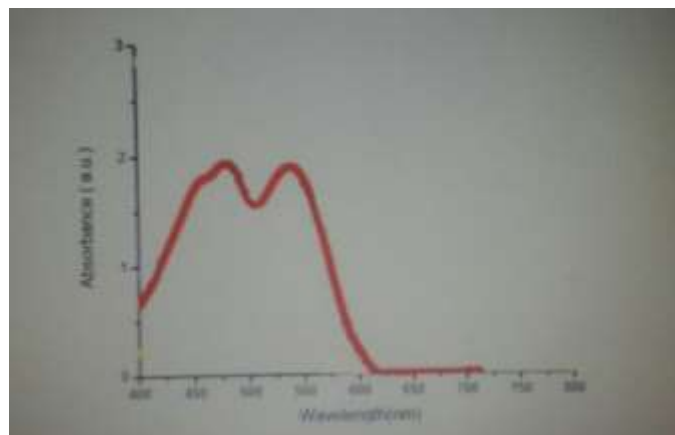
شكل (13-3) يبين طيف امتصاص UV-Visible لصبغة الرمان والذي يبين قمتين امتصاص للصبغة عند 520nm و 310 nm.



شكل (13-3) طيف الامتصاص لصبغة الرمان

صبغة الشمندر :

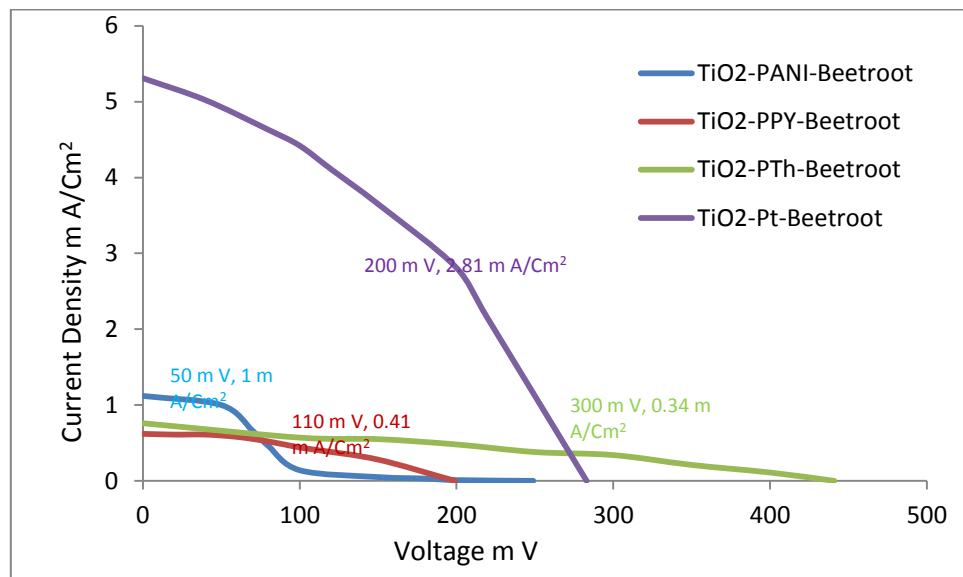
شكل (14-3) يبين طيف امتصاص UV-Visible لصبغة الشمندر والذي يبين قمتين امتصاص رئيسية للصبغة عند 479nm و 536nm.



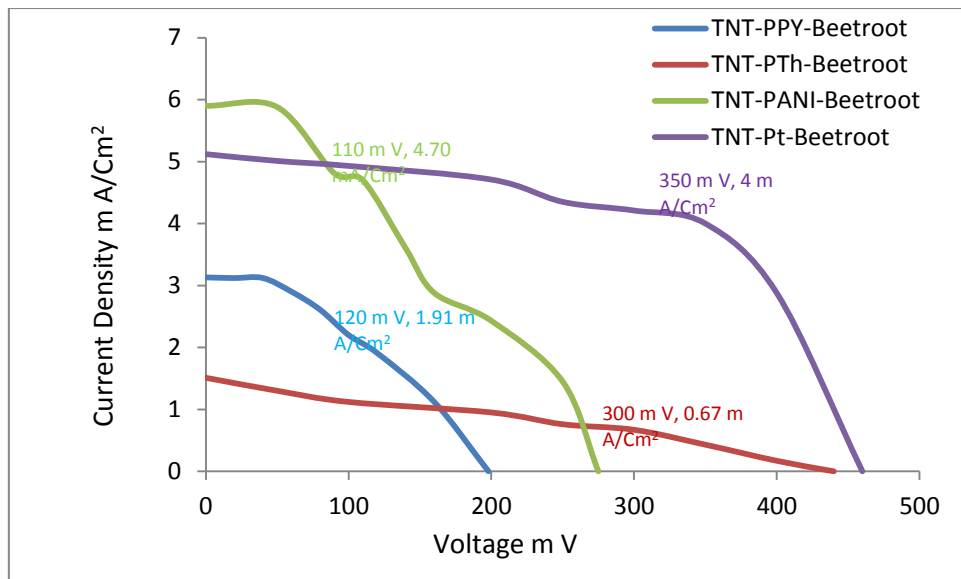
شكل (14-3) طيف الامتصاص لصبغة الشمندر

4.3 تشخيص الخلايا الشمسية المحفزة بالصبغة المجمعة : Characterization of Assembled DSSCs

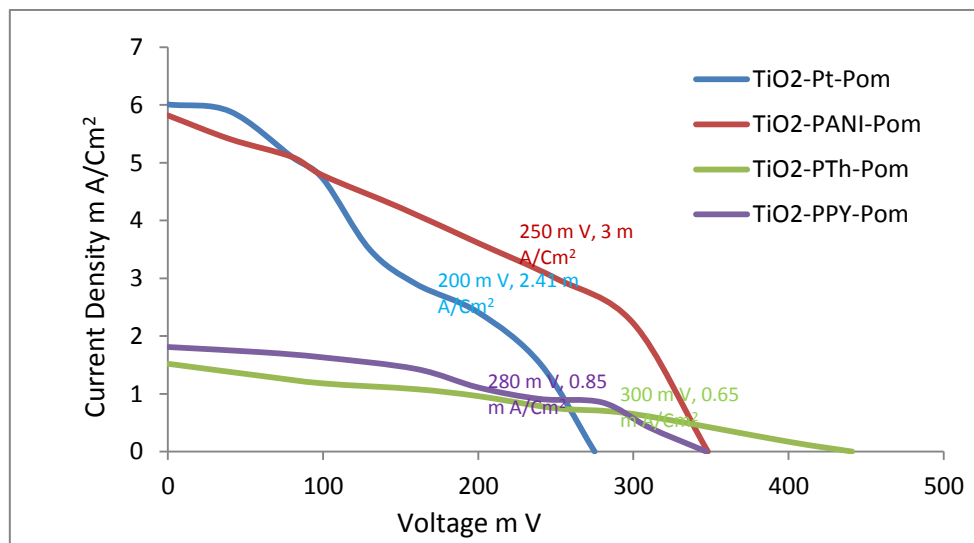
ان كل انواع الخلايا الشمسية المحفزة بالصبغة التي تم تجميعها من مزيج من مختلف القطب الموصلة ومختلف الانودات الفعالة تدرس من خلال تشخيص I-V عن طريق المسح السريع مع اقطاب المجهاد الساكن لتقدير المتغيرات لكل من : تيار دائرة قصيرة I_{sc} ، فولتية دائرة مفتوحة V_{oc} ، القدرة القصوى للخلية (Pmax)، عامل الملئ (ff) وكفاءة التحويل (η) والتي تم تقديرها باستخدام قياسات اقطاب المجهاد الساكن.



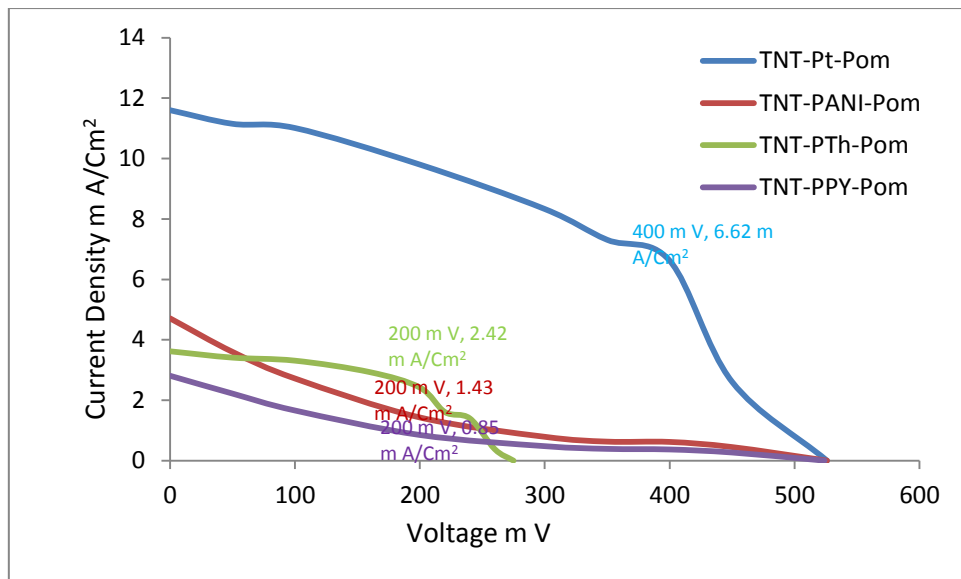
شكل (15-3) اختبارات I-V لاربع DSSCs مجمعة من كاتود وانواع مختلفة من الكاثودات وصبغة الشمندر



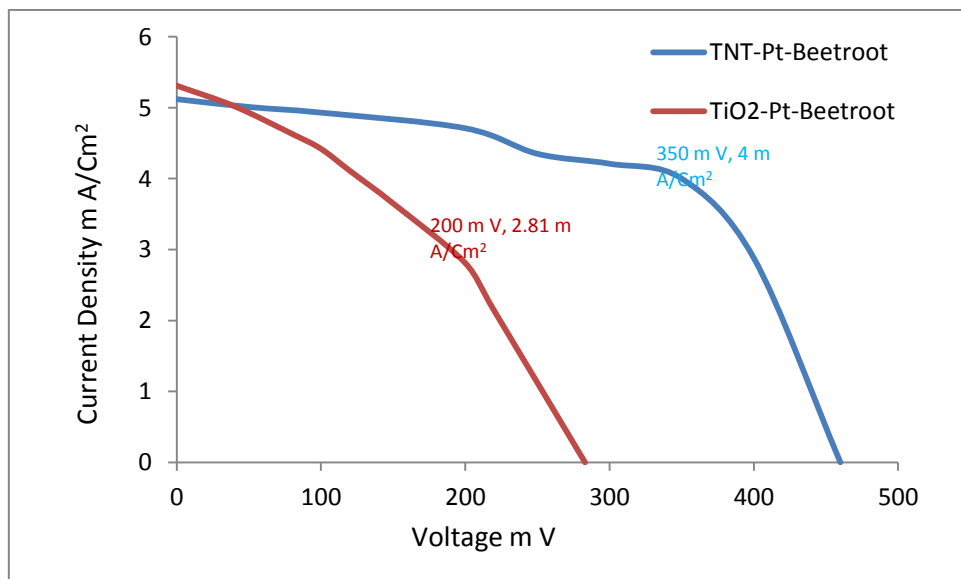
شكل(3-16) اختبارات I-V لاربع DSSCs مجمعة من TNT/Ti كأنود وانواع مختلفة من الكاثودات وصبغة الشمندر



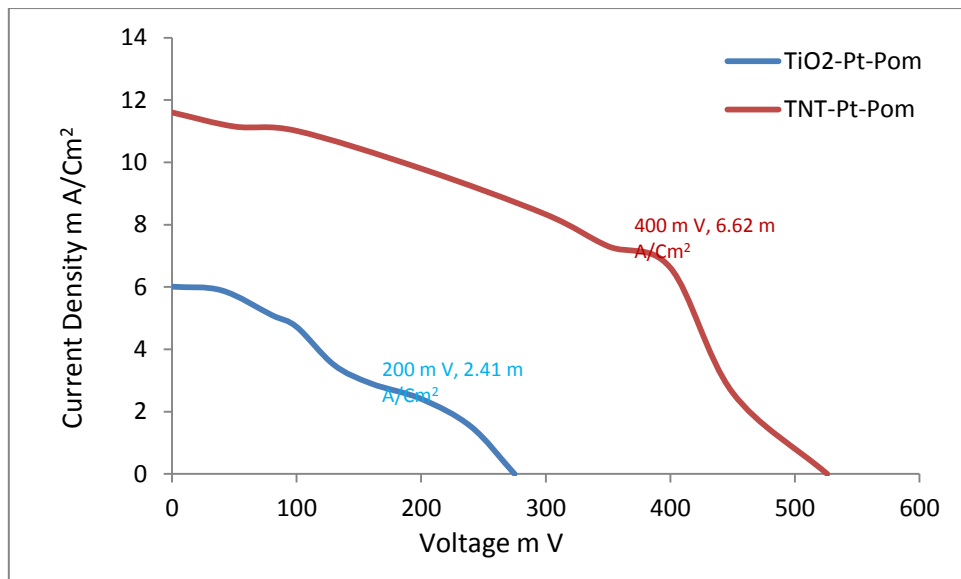
شكل(3-17) اختبارات I-V لاربع DSSCs مجمعة من TiO_2/ITO glass كأنود وانواع مختلفة من الكاثودات وصبغة الرمان



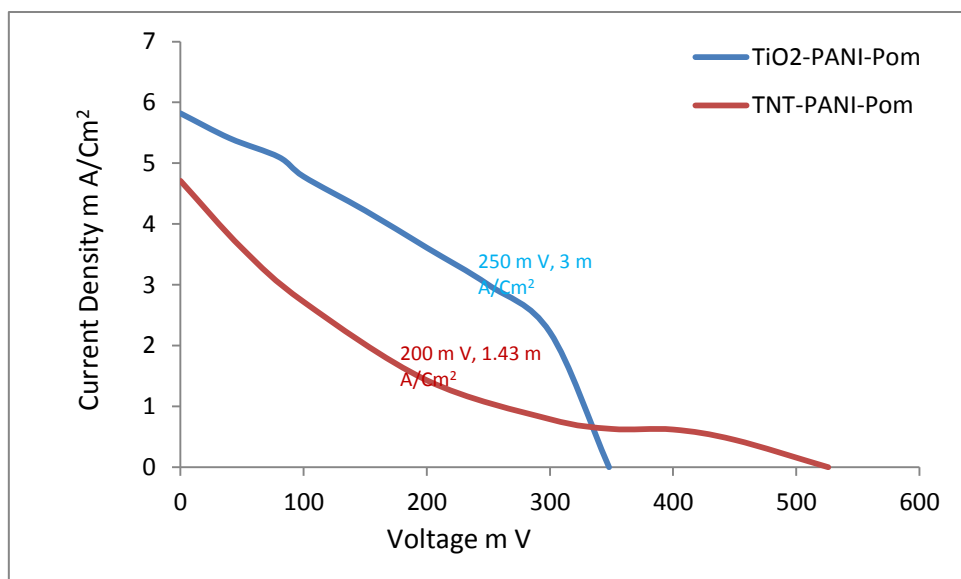
شكل (18-3) اختبارات I-V لاربع DSSCs مجمعة من TNT/Ti كأنود وانواع مختلفة من الكاثودات وصبغة الرمان



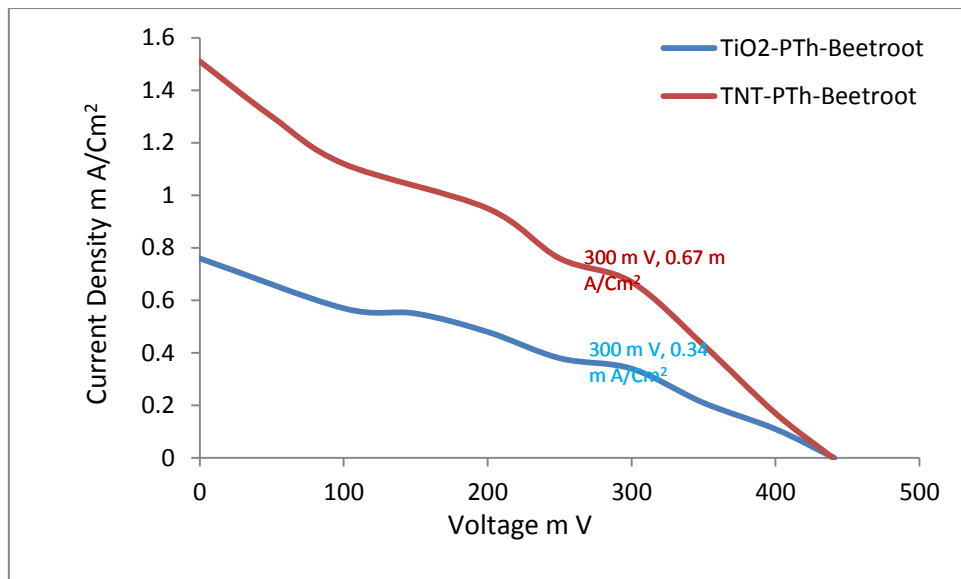
شكل (19-3) اختبارات I-V لاثنين من DSSCs مجمعة من الانودات و الكاثود وصبغة الشمندر Pt/ITO glass



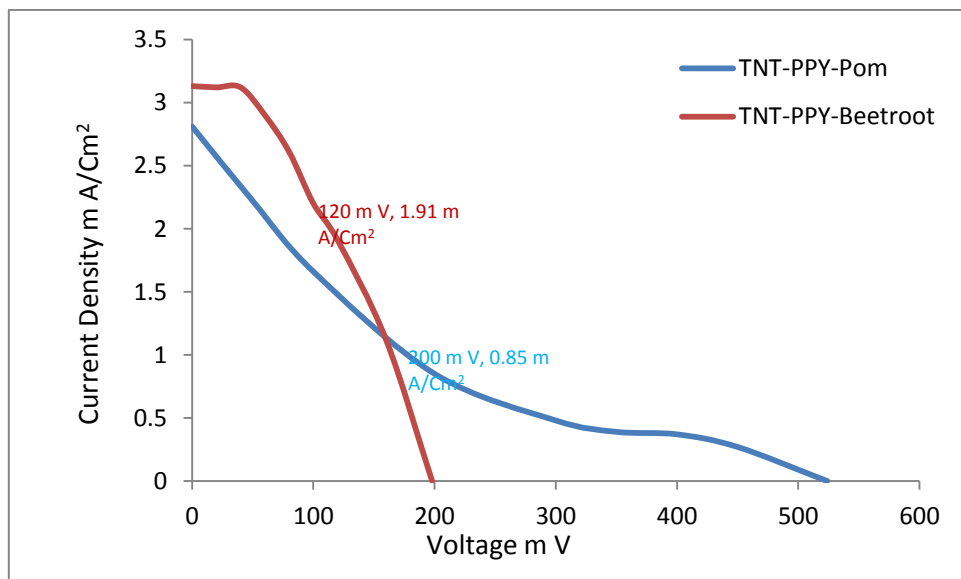
شكل (20-3) اختبارات I-V لاثنين من DSSCs مجمعة من نوعين من الانودات و كاتبود وصبغة الرمان Pt/ITO glass



شكل (21-3) اختبارات I-V لاثنين من DSSCs مجمعة من نوعين من الانودات و كاتبود وصبغة الرمان PANI/ITO glass



شكل (22-3) اختبارات I-V لاثنين من الـ DSSCs مجمعة من نوعين من الانودات و كايثود وصبغة الشمندر PTh/ITO glass



شكل (23-3) اختبارات I-V لاثنين من الـ DSSCs مجمعة من TNT/Ti كأنود و كايثود ونوعين من الصبغات PPY/ITO glass

متغيرات الخلية : I_{sc} , V_{oc} و I_{max} تم تخمينها من منحنيات I-V اعلاه، بينما عامل الملي (ff) وكفاءة الخلية تم حسابها باستخدام المعادلات (2-1) و (4-1)

$$\% \eta = (I_{sc} * V_{oc} * ff / P_{in}) * 100\% \quad (2-1)$$

$$ff = I_{max} * V_{max} / I_{sc} * V_{oc} \quad (4-1)$$

كل القياسات تم جدولتها في جداول (8-3) و (9-3).

جدول (8-3) قيم الـ DSSCs المجمعة مع -1-TiO_2 النانوي -2- TNTs المؤكسد وباستخدام صبغة الشمندر

E%	Pmax W/Cm ²	Pin mW/ Cm ²	ff	Imax mA/ Cm ²	Vm ax mV	Isc mA/ Cm ²	Vo c mV	DSSC	
								الإنود	الكاثود
0.045	0.045	100	0.365	0.41	110	0.62	199	TiO ₂ /ITO	PPY/ITO
0.101	0.102	100	0.304	0.34	300	0.76	441	TiO ₂ /ITO	PTh/ITO
0.049	0.05	100	0.179	1	50	1.12	249	TiO ₂ /ITO	PANI/ITO
0.560	0.562	100	0.373	2.81	200	5.31	283	TiO ₂ /ITO	Pt /ITO
0.228	0.229	100	0.369	1.91	120	3.13	198	TNT/Ti	PPY/ITO
0.2	0.201	100	0.302	0.67	300	1.51	440	TNT/Ti	PTh/ITO
0.516	0.517	100	0.361	4.70	110	5.20	275	TNT/Ti	PANI/ITO
1.387	1.4	100	0.594	4	350	5.12	460	TNT/Ti	Pt /ITO

جدول (9-3) قيم DSSCs المجمعة مع TiO_2 النانوي 2-TNTs المؤكسد وباستخدام صبغة الرمان

E%	Pmax W/Cm ²	Pin mW/ Cm ²	ff	Imax mA/ Cm ²	Vm ax mV	Isc mA/ Cm ²	Vo c mV	DSSC	
								الأنود	الكافور
0.237	0.238	100	0.378	0.85	280	1.81	347	TiO ₂ /ITO	PPY/ITO
0.194	0.195	100	0.290	0.65	300	1.52	441	TiO ₂ /ITO	PTh/ITO
0.749	0.75	100	0.370	3	250	5.82	348	TiO ₂ /ITO	PANI/ITO
0.489	0.482	100	0.2916	2.41	200	6.01	275	TiO ₂ /ITO	Pt/ITO
0.169	0.17	100	0.115	0.85	200	2.81	524	TNT/Ti	PPY/ITO
0.483	0.484	100	0.486	2.42	200	3.62	275	TNT/Ti	PTh/ITO
0.284	0.286	100	0.115	1.43	200	4.71	526	TNT/Ti	PANI/ITO
2.644	2.648	100	0.433	6.62	400	11.6	526	TNT/Ti	Pt/ITO

أفضل الكفاءات تتحقق باستخدام TNT/Ti كأنود و Pt/ITO ك cathode وكذلك TiO_2/ITO كأنود $PANI/ITO$ ك cathode مع صبغة الرمان وكانت 2.64% و 0.75% على التوالي بينما مع صبغة الشمندر تم الحصول على أعلى كفاءة باستخدام TNT/Ti كأنود و Pt/ITO ك cathode و TiO_2/ITO كأنود و Pt/ITO ك cathode وكذلك TNT/Ti كأنود و $PANI/ITO$ ك cathode وكانت 1.38%، 0.516% و 0.560% على التوالي بينما متعدد الثايوفين وممتعدد البايرول اعطى اقل كفاءة.

استعمال PANI ككاثود اعطى بديلاً مقارباً جداً لـ ITO/Pt و هو غالٍ جداً ومن الصعب السيطرة على طبقات البلاتين والذى من الممكن ان يقود الى اضعاف الشفافية لزجاج ITO، بالإضافة لذلك فإن PANI يمتلك الوان جذابة للغاية والذى يعطى مظهر جميل لا DSSC.

Conclusions

الاستنتاجات :

يمكن ان تخلص النتائج في هذا البحث كما يأتي:

1- تلعب مادة الانود دورا رئيسيا في عمل الـ DSSC إذ تمت ملاحظة اختلاف واسع في قيم كفاءات الخلايا بينما نوع القطب المعاكس اقل اهمية.

2- البلمرة الكهربائية للانلين يمكن ان تجري بسهولة على زجاج ITO وقد اظهرت الفحوصات تركيب الالياف النانوية مع قطر بمقدار .70nm

3- ترتيب الكفاءات لكل الـ DSSCs هي كالتالي:

في صبغة الرمان :

TNT/Ti – Pt/ITO > TiO₂/ITO – PANI/ITO > TiO₂/ITO – Pt/ITO >
TNT/Ti – PTh/ITO > TNT/Ti – PANI/ITO > TiO₂/ITO – PPY/ITO >
TiO₂/ITO – PTh/ITO > TNT/Ti – PPY/ITO.

في صبغة الشمندر :

TNT/Ti – Pt/ITO > TiO₂/ITO – Pt/ITO > TNT/Ti – PANI/ITO >
TNT/Ti – PPY/ITO > TNT/Ti – PTh/ITO > TiO₂/ITO – PTh/ITO >
TiO₂/ITO – PANI/ITO > TiO₂/ITO – PPY/ITO.

4- متعدد الانلين يمكن ان يخدم كمحفز للقطب المعاكس في الـ DSSC.

5- TNTs النامي على ورق التيتانيوم ناجح في المحلول العضوي بطول 8 مايكرون وقطر انبوبة 60nm والذي يعطي افضل كفاءة.

6- قطب TiO₂ يعطي كفاءة لكن اقل من كفاءة قطب TNT.

7- صبغة الرمان تعطي كفاءة افضل من صبغة الشمندر وهذا يرجع الى طبيعة المجاميع المرتبطة بالقطب فكلما كانت المجاميع المرتبطة اكثر ارتباطا تكون عملية الحقن اسرع وبالتالي تعطي كفاءة افضل.

Suggestions for further work

الاقتراحات للعمل المستقبلي:

للعمل المستقبلي يمكن اقتراح ما يأتي:

- 1- استخدام اصياغ مختلفة لعمل الـ DSSCs طبيعية او صناعية لتحسين الاداء.
- 2- تطوير قطب الـ TNT بتغيير طوله او قطره لتحسين كفاءة الـ DSSCs.
- 3- تطوير المحلول الاكتروليتي باضافة المضافات لتحسين اداء الـ DSSCs.

المصادر

References

- 1- Buzea C., Blandino I., and Robbie K. (2007): Nanomaterials and Nanoparticles: Sources and Toxicity. **Biointerphases.** 2(4): 170 -172.
- 2- Cao G. and Wang Y. (2011): **Nanostructures & Nanomaterials: Synthesis, Properties and Applications**, 2nd, USA: World Scientific Series in Nanoscience and Nanotechnology.
- 3- Ghosh P. (2009): **Colloid and Interface Science**, 1st(510-550), New Delhi, India: PHI Learning Private Limited.
- 4- Theivasanthi T. and Alagar M. (2010): X-Ray Differaction Studies of Copper Nanopowder. **Archives of Physics Research.** 1(2): 112-117.
- 5- Goldstein J., Newbury D., Joy D., Lyman C., Echlin P., Lifshin E., Sawyer L., and Michael J. (2003): **Scanning Electron Microscopy and X-Ray Microanalysis**, 3rd Edition 689, New York, USA: Kluwer Academic/Plenum Publishers.
- 6- Vilalta-Clemente A., Gloystein K. and Frangis N. (2008): **Principles of Atomic Force Microscopy (AFM)**, Physics of Advanced Materials Winter School, Aristotle University, Thessaloniki: Greece.
- 7- Wilson R. and Bullen H. (2007): Chemical Identification of Individual Surface Atoms by Atomic Force Microscopy. **Nature.** 446 (7131): 64-70.

- 8- Hassan N. (2007): **Fabrication and Study of the Efficiency of Dye Sensitive Solar Cells DSSCs Using Nanomaterials.** M.Sc Thesis, Department of Chemistry, College of Science, University of Baghdad, Baghdad, Iraq.
- 9- Yih Chong H. and HaurLam W. (2013): Ocean Renewable Energy in Malaysia: The Potential of the Straits of Malacca. **Renewable and Sustainable Energy.** 23: 169–178.
- 10- Varun R., Prakash I. and Bhat K. (2009): Energy, Economics and Environmental Impacts of Renewable Energy Systems Varun. **Renewable and Sustainable Energy.** 13: 2716–2721.
- 11- Chen H. and Wall G. (2006): Wind Energy Introduction, Renewable Energy Course. <http://www.exergy.se/goran/hig/ses/06/wind%202.pdf>
- 12- Castaldi D., Chastain E., Windram M. and Ziatyk L. (2003): **A Study of Hydroelectric Power: From a Global Perspective to a Local Application,** College of Earth and Mineral Sciences, The Pennsylvania State University.
- 13- Lewis A., Estefen S., Huckerby J., Lee K., Musial W., Pontes T., Torres-Martinez J. , Bharathan D., Hanson H., Heath G., Louis F. and Scramesto S. (2011): **Ocean Energy.** United Kingdom and New York, NY, USA : Cambridge University Press, Cambridge.
- 14- Blodgett L. and Slack K. (2009): **Geothermal 101: Basics of Geothermal Energy Production and Use.** Washington: Geothermal Energy Association.

- 15- Zafar S. and Cutright B. (2014): Texas' Geothermal Resource Base: A Rasterintegration Method Forestimating in-Place Geothermal-Energy Resources Using Arcgis. **Geothermics**. 50: 148– 154.
- 16- Brown E. (1988): An Introduction to Solar Energy.
<http://www.ccs.neu.edu/home/feneric/Papers/solar>.
- 17- Bahadori A. and Nwaoha C. (2013): A Review on Solar Energy Utilisation in Australia. **Renewable and Sustainable Energy**. 18: 1–5.
- 18- Mangersnes K. (2010): **Back- Contacted Back-Junction Silicon Solar Cell**. PhD. Thesis, Faculty of Mathematics and Natural Sciences, University of Oslo, Oslo, Norway.
- 19- Alwan D. (2013): Preparation Dye-Sensitized Solar Cell with Tracking System. M.Sc Thesis, Department of Physics, University of Baghdad, Baghdad, Iraq.
- 20- Mahesh D. and Rajesh J. (2012): TiO₂ Microstructure, Fabrication of Thin Film Solar Cells and Introduction to Dye Sensitized Solar Cells. **Research Journal of Recent Sciences**. 2 : 25-29.
- 21- Benanti T. and Venkataraman D. (2006): Organic Solar Cells: An Overview Focusing on Active Layer Morphology. **Photosynthesis Research**. 87: 73-81.
- 22- lobato K. (2007): **Charge Transport and Recombination in Dye-Sensitized Nano- crystalline Solar Cells**. Ph.D Thesis, University of Bath, United Kingdom.

- 23- Shockley W. Queisser H. (1961): Detailed Balance Limit of Efficiency of p-n Junction Solar Cells. **Journal of Applied Physics**. 32 (3): 510.
- 24- Gao Y., Chu L., Wu M., Wang L., Guo W., and Ma T. (2012): Improvement of Adhesion of Pt-Free Counter Electrodes for Low-Cost Dye-Sensitized Solar Cells. **Journal of Photochemistry and Photobiology A: Chemistry**. 245: 66-71.
- 25- Hamann T., Jensen R., Martinson A., Van Ryswyk H., and Hupp J. (2008): Advancing Beyond Current Generation Dye-Sensitized Solar Cells. **Energy and Environmental Science**. 1: 66–78.
- 26- Oprea C., Dumbrav A., Enache I., Georgescu A., and Girtu M. (2012): Combined Experimental and Theoretical Study of Natural Betalain Pigments Used in Dye-Sensitized Solar Cells. **Journal of Photochemistry and Photobiology A: Chemistry**. 240: 5-13.
- 27- Chappel S., Grinis L., Ofir A. and Zaban A. (2005): Extending the Current Collector into the Nanoporous Matrix of Dye Sensitized Electrodes. **Journal of Physical Chemistry**. 109 (5) : 1643-1647.
- 28- Zhang Q. and Cao G. (2011): Nanostructured Photoelectrodes for Dye-Sensitized Solar Cells. **NanoToday**. 6:91-109.
- 29- Halme J. (2002): **Dye-Sensitized Nanostructured and Organic Photovoltaic Cells: Technical Review and Preliminary Tests**. M.Sc. Thesis, Helsinki University of Technology.Espoo. Finland.

- 30- Hannay N. (1959): **Semiconductors**, 1st, New York : Reinhold Publishing Corporation.
- 31- Toivola M. (2010): **Dye- Sensitized Solar Cells on Alternative Substrates**. Ph.D Thesis, Aalto University, School of Science and Technology, Faculty of Information and Natural Sciences, Department of Applied Physics, Finland.
- 32- Grätzel M. (2004): Conversion of Sunlight to Electric Power by Nanocrystalline Dye-Sensitized Solar Cells. **Journal of Photochemistry and Photobiology A: Chemistry**. 164: 3-14.
- 33- Lee J., Rahman M., Sarker S., Nath N., Ahammad A., and Lee J. (2011): **Metal Oxides and Their Composites for the Photoelectrode of Dye Sensitized Solar Cells**. Korea: Intech. DOI:10.5772/15280.
- 34- Hsu C., Chen W., Chen Y., Wei H., Yen Y., Huang K., Ho K. Chu, C., and Lin J. (2012): Charge Transporting Enhancement of NiO Photocathodes for p-Type Dye-Sensitized Solar Cells. **Electrochimica Acta**. 66: 210– 215.
- 35- Narksitipan S. and Thongtem S. (2012): Preparation and Characterization of Rutile TiO₂ Films. **Journal of Ceramic Processing Research**. 13 (1): 35-37.
- 36- Nam C., Yang W. and Duc L. (2012): Study on the Photocatalysis of TiO₂ Nanotubes Prepared by Methanol-Thermal Synthesis at Low Temperature. **Bulletin of Material Science**. 36(5): 779-788.

- 37- Nelson J. (1999): Continuous-Time Random-Walk Model of Electron Transport in Nanocrystalline TiO₂ Electrodes. **Physical Review B.** 59: 15374–15380.
- 38- Raghavender A., Samantilleke A., Sa P., Almeida B., Vasilevskiy M. and Hong N. (2012): Simple Way to Make Anatase TiO₂ Films on FTO Glass for Promising Solar Cells. **Materials Letters.** 69: 59–62.
- 39- Gong J., Liang J. and Sumathy K. (2012): Review on Dye-Sensitized Solar Cells (DSSCs): Fundamental Concepts and Novel Materials. **Renewable and Sustainable Energy Reviews.** 16: 5848–5860.
- 40- Baek I., Vithal M., Chang J., Yum J., Nazeeruddin K., Gratzel M., Chung Y. and Seok S. (2009): Facile Preparation of Large Aspect Ratio Ellipsoidal Anatase TiO₂ Nanoparticles and Their Application to Dye-Sensitized Solar Cell. **Electrochemistry Communications.** 11: 909–912.
- 41- Kawakita J., Kuroda S., Krebs S. and Katanoda H. (2006): Densification of Ti Coatings by the Warm Spray (Two-Stage HVOF) Process. **Materials Transactions.** 47(7): 1631-1637.
- 42- Al-Bat'hi S., Alaei I. and Sopyan I. (2013): Natural Photosensitizers for Dye Sensitized Solar Cells. **International Journal of Renewable Energy Research.** 3(1): 138-143.
- 43- Listorti A., O'Regan B. and Durrant J. (2011): Electron Transfer Dynamics in Dye-Sensitized Solar Cells. **Chemistry of Materials.** 23 (15): 3381-3399.

- 44- Oprea C., Dumbrav A., Enache I., Georgescu A. and Girtu M. (2012): Combined Experimental and Theoretical Study of Natural Betalain Pigments Used in Dye-Sensitized Solar Cells. **Journal of Photochemistry and Photobiology A: Chemistry**. 240: 5– 13.
- 45- Calogero G., Yum J., Sinopoli A. and Di Marco G. (2012): Anthocyanins and Betalains as Light-Harvesting Pigments for Dye-Sensitized Solar Cells. **Solar Energy**. 86: 1563–1575.
- 46- Kohle O., Matzel G., Meyer A. and Meyer T. (1997): The Photovoltaic Stability of Bis(isothiocyanato)ruthenium(II)-bis-2,2'-bipyridine-4,4'- dicarboxylic acid and Related Sensitizers. **Advanced Materials**. 9(11): 904–906.
- 47- Ramkumar S., Manoharan S. and Anandan S. (2012): Synthesis of D-(p-A)₂ Organic: Chromophores for Dye-Sensitized Solar Cells. **Dyes and Pigments**. 94: 503- 511.
- 48- Grätzel M. (2006): Photovoltaic Performance and Long-Term Stability of Dye-Sensitized Meososcopic Solar Cells. **Comptes Rendus Chimie**. 9: 578–583.
- 49- Amao Y. and Komori T. (2004): Bio-Photovoltaic Conversion Device Using Chlorine-e6 Derived from Chlorophyll from Spirulina Adsorbed on a Nanocrystalline TiO₂ Film Electrode, Bio Sens. **Bio Electron**. 19: 843–847.
- 50- Senthil T., Muthukumarasamy N., Velauthapillai D., Agilan S., Thambidurai M. and Balasundaraprabhu R. (2011): Natural Dye

(cyanidin 3-O-glucoside) Sensitized Nanocrystalline TiO₂ Solar Cell Fabricated Using Liquid Electrolyte/Quasi-Solid-State Polymer Electrolyte. **Renewable Energy**. 36: 2484-2488.

51- Zhou H., Wu L., Gao Y. and Ma T. (2011): Dye-Sensitized Solar Cells Using 20 Natural Dyes as Sensitizers. **Journal of Photochemistry and Photobiology A: Chemistry**. 219: 188–194.

52- Polo S., Iha M. and Itokazu M. (2004): Metal Complex Sensitizers in Dye- Sensitized Solar Cells. **Coordination Chemistry Reviews**. 248: 1343–1361.

53- Li N., Pan N., Li D. and Lin S. (2013): Natural Dye-Sensitized Solar Cells Based on Highly Ordered TiO₂ Nanotube Arrays. **International Journal of Photoenergy**. Article ID 598753: 5.

54- Chang H. and Lo Y. (2010): Pomegranate Leaves and Mulberry Fruit as Natural Sensitizers for Dye-Sensitized Solar Cells. **Solar Energy**. 84: 1833–1837.

55- Liu Y. (2013): **Synthesis and Characterization of Electron-Responsive Materials**, Ph.D Thesis, Kochi University of Technology, Japan.

56- Li Y., Ku S., Chen S., Ali M. and AlHemaid F. (2013): Photoelectrochemistry for Red Cabbage Extract as Natural Dye to Develop a Dye-Sensitized Solar Cells. **International Journal of Electrochemical Science**. 8: 1237 – 1245.

- 57- Kim H., Bin Y., Karthick S., Hemalatha K., Raj C., Venkatesan S., Park S. and Vijayakumar G. (2013): Natural Dye Extracted from Rhododendron Species Flowers as a Photosensitizer in Dye Sensitized Solar Cell. **International Journal of Electrochemical Science.** 8: 6734 - 6743.
- 58- Angel R., Miriam E., Susana V., Fracisco Q. and Rogelio R. (2011) : New Dye-Sensitized Solar Cells Obtained from Extracted Bracts of Bougainvillea Glabra and Spectabilis Betalain Pigments by Different Purification Processes. **International Journal of Molecular Science.** 12: 5565-5576.
- 59- Lee C., Chen P. and Ho K. (2013): **Ionic Liquid Based Electrolytes for Dye- Sensitized Solar Cells**, Taiwan: National Taiwan University.
- 60- Lee C., Chen P., Vittal R. and Ho K. (2010): Iodine-Free High Efficient Quasi Solid State Dye-Sensitized Solar Cell Containing Ionic Liquid and Polyaniline-Loaded Carbon Black. **Journal of Materials Chemistry.** 20: 2356-2361.
- 61- Wu J., Lan Z., Hao S., Li P., Lin J., Huang M., Fang L. and Huang Y. (2008): Progress on the Electrolytes for Dye-Sensitized Solar Cells. **Pure and Applied Chemistry.** 80(11): 2241–2258.
- 62- Chen K., Liu C., Huang H., Tsai C. and Chen F. (2013): Polyvinyl Butyral-Based Thin Film Polymeric Electrolyte for Dye-Sensitized Solar Cell with Long-Term Stability. **International Journal of Electrochemical Science.** 8: 3524 – 3539.

- 63- Yoon J., Kang D., Won J., Park J. and Kang Y. (2012): Dye-Sensitized Solar Cells Using Ion-Gel Electrolytes for Long-Term Stability. **Journal of Power Sources**. 201: 395– 401.
- 64- Shi L., Chen T., Chen C. and Cho K. (2013): Synthesis and Characterization of a Gel-Type Electrolyte with Ionic Liquid Added for Dye-Sensitized Solar Cells. **International Journal of Photoenergy**. Article ID 834184: 7.
- 65- Di Carlo A. (2008): **Dye Sensitized Solar Cells: Toward a Low Cost, Industrial Viable, Photovoltaics**. University of Rome Tor Vergata, Italy.
- 66- Yum J., Baranoff E., Kessler F., Moehl T., Ahmad S., Bessho T., Marchioro A. , Ghadiri E., Moser J., Yi C., Nazeeruddin K. and Grätzel M. (2012): Cobalt Complex Redox Shuttle for Dye-Sensitized Solar Cells with High Open-Circuit Potential. **PMC**. 17(3): 631.
- 67- Hardin B., Snaith H. and McGehee M. (2012): The Renaissance of Dye-Sensitized Solar Cells. **Nature Photonics**. 6 (3): 162-169.
- 68- Lee H., bae S., Han C. and Bull S. (2012): Efficiency Enhancement of Dye-Sensitized Solar Cells with Addition of Additives (single/binary) to Ionic Liquid Electrolyte. **Materials of Science**. 35(6): 1003–1010.
- 69- Lin K., Huang J. and Chen S. (2012): A Low Cost Counter Electrode Using Poly(brilliant cresyl blue) and Multi-Walled Carbon Nanotubes for Dye- Sensitized Solar Cells. **International Journal of Electrochemical Science**. 7: 12786 – 12795.

- 70- Ming X ., Huai W., Xi C., Yuan C., Tian Y., Ming L., Liang H., Qing F. and Zhang L. (2012): Low Temperature Fabrication of High Performance and Transparent Pt Counter Electrodes for Use in Flexible Dye-Sensitized Solar Cells. **Chinese Science Bulletin.** 57(18): 2329-2334.
- 71- Kawakita J. (2010): Trends of Research and Development of Dye-Sensitized Solar Cells. **Science & Technology Trends.** 5(35):70-82.
- 72- Lee K., Lee Y., Lee J., Ahn J. and Park J. (2012): Flexible and Platinum-Free Dye- Sensitized Solar Cells with Conducting-Polymer-Coated Graphene Counter Electrodes. **Chem Sus Chem.** 5 (2): 379 – 382.
- 73- Li L., Chang C., Wu H., Shiu J., Wu P. and Diau E. (2012): Morphological Control of Platinum Nanostructures for Highly Efficient Dye-Sensitized Solar Cells. **Journal of Materials Chemistry.** 22: 6267– 6273.
- 74- Lan J., Wang Y., Wan C., Wei T., Feng H., Peng C., Cheng H., Chang Y. and Hsu W. (2010): The Simple and Easy Way to Manufacture Counter Electrode for Dye-Sensitized Solar Cells. **Current Applied Physics.** 10 (2): 168–171.
- 75- Sun, K.; Fan, B. and Ouyang J. (2010): Nanostructured Platinum Films Deposited by Polyol Reduction of a Platinum Precursor and Their Application as Counter Electrode of Dye-Sensitized Solar Cells. **The Journal of Physical Chemistry.** (114): 4237- 4244.

- 76- Olsen E., Hagen G. and Lindquist S. (2000): Dissolution of Platinum in Methoxy Propionitrile Containing LiI/I₂. **Solar Energy Materials and Solar Cells.** 63: 267–273.
- 77- Lee K., Lee H., Wang D., Park N., Lee J., Park O. and Park J. (2010): Dye-Sensitized Solar Cells with Pt- and TCO-Free Counter Electrodes. **Chemical Communications.** 46: 4505–4507.
- 78- Roy-Mayhew J., Bozym D., Punckt C. and Aksay I. (2010): Functionalized Graphene as a Catalytic Counter Electrode in Dye-Sensitized Solar Cells. **American Chemical Society.** 4 (10): 6203–6211.
- 79- Gao Y., Chu L., Wu M., Wang L., Guo W. and Ma T. (2012): Improvement of Adhesion of Pt-Free Counter Electrodes for Low-Cost Dye-Sensitized Solar Cells. **Journal of Photochemistry and Photobiology A: Chemistry.** 245: 66– 71.
- 80- Keothongkham K., Pimanpang S., Maiaugree W., Saekow S., Jarernboon W. and Amornkitbamrung V. (2012): Electrochemically Deposited Polypyrrole for Dye- Sensitized Solar Cell Counter Electrodes. **International Journal of Photoenergy.** Article ID 671326: 7.
- 81- Kumar D. and Sharma R. (1998): Advances on Conductive Polymers. **European Polymer Journal.** 34(8): 1053-1060.
- 82- Arasi A., Jeyakumari J., Sundaresan B., Dhanalakshmi V. and Anbarasan R. (2009): The Structural Properties of Poly(aniline)—Analysis via FTIR Spectroscopy. **Spectrochimica Acta Part A: Molecular and Biomolecular Spectroscopy.** 74: 1229–1234.

- 83- Zhang J., Hreid T., Li X., Guo W., Wang L., Shi X., Su H. and Yuan Z. (2010): Nanostructured Polyaniline Counter Electrode for Dye-Sensitized Solar Cells: Fabrication and Investigation of Its Electrochemical Formation Mechanism. **Electrochimica Acta**. 55: 3664–3668.
- 84- Chen Z., Li F., and Huang C. (2007): Organic D- π -A Dyes for Dye-Sensitized Solar Cell. **Current Organic Chemistry**. 11: 1241-1258.
- 85- Khamsone K., Samuk P., Wasan M., Saman S., Wirat J. and Vittaya A. (2012) : Electrochemically Deposited Poly Pyrole for Dye-Sensitized Solar Cell Counter Electrode. **Hindawi Publishing Corporation International Journal of Photoenergy**. Article ID 671326,7 Pages.
- 86- Jong-Moon L. and Kyung-Hee L. (2000) : Electro Chemical Synthesis of Conducting Polythiophene in an Ultrasonic Field. **Journal of Industrial and Engineering Chemistry**. 6 (3) : 157-162.
- 87- Richard P., Rajasekhar M. and Subramania A. (2009) : Synthesis of Poly Thiophene Nanoparticles by Surfactant-Assisted Dilute Polymerization Method for High Performance Redox Supercapacitors. **International Journal of Electrochemical Science**. 4: 1289-1301.
- 88- de Souza J., de Andrade L. and Polo A. (2013): Nanomaterials for Solar Energy Conversion: Dye-Sensitized Solar Cells Based on Ruthenium (II) Tris- Heteroleptic Compounds or Natural Dyes.
<http://www.springer.com/978-3-642-31735-4>.

- 89- Kelvin O. (2012): Ekpunobi, Fabrication and Characterization of Dye Sensitized Solar Cell Using Anarcardium Occidentale Sensitizer. **Advances in Applied Science Research.** 3(5): 3390-3395.
- 90- Chang H., Wu H., Chen T., Huang K., Jwo C. and Lo Y. (2010): Dye-Sensitized Solar Cell Using Natural Dyes Extracted from Spinach and Ipomoea. **Journal of Alloys and Compounds.** 495: 606–610.
- 91- Hug H., Bader M., Mair P. and Grätzel T. (2014): Biophotovoltaics: Natural Pigments in Dye-Sensitized Solar Cells. **Applied Energy.** 115: 216–225.
- 92- Imoto K., Takahashi K., Yamaguchi T., Komura T., Nakamura J. and Murata K. (2003): High-Performance Carbon Counter Electrode for Dye-Sensitized Solar Cells. **Solar Energy Materials and Solar Cells.** 79: 459–469.
- 93- Grätzel M. (2003): Dye-Sensitized Solar Cells. **Journal of Photochemistry and Photobiology C: Photochemistry Reviews.** 4: 145–153.
- 94- Huang Z., Liu X., Li K., Li D., Luo Y., Li H., Song W., Chen L. and Meng Q. (2007): Application of Carbon Materials as Counter Electrodes of Dye-Sensitized Solar Cells. **Electrochemistry Communications.** 9: 596-598.
- 95- Ito S., Murakami T., Comte P., Liska P., Gratzel C., Nazeeruddin M. and Gratzel M. (2008): Fabrication of Thin Film Dye Sensitized Solar

Cells with Solar to Electric Power Conversion Efficiency over 10%. **Thin Solid Films.** 516: 4613-4619.

96- Thomas W., Rebecca A., Alex B., Ryswyk H. and Joseph T. (2008) :Advancing Beyond Current Generation Dye-Sensitized Solar Cells. **Energy and Environmental Science.** 1: 66-78.

97- Kang T., Smith A., Taylor B. and Durstock M. (2009): Fabrication of Highly- Ordered TiO₂ Nanotube Arrays and Their Use in Dye-Sensitized Solar Cells. **Nano Letters.** 9 (2): 601-606.

98- Amaresh M., Markus K. and Peter B. (2009): Metal-Free Organic Dyes for Dye-Sensitized Solar Cells: From Structure: Property Relation Ships to Design Rules. **Angewandte Chemie International Edition.** 48 (14): 2474-2499.

99- Di W. (2010): Dye Sensitized Solar Cells. **International Journal of Molecular Sciences.** 11: 1103-1113.

100- Nazeeruddin M., Etienne B. and Michael G. (2011): Dye-Sensitized Solar Cells: A brief over View. **Solar Energy.** 85: 1172-1178.

101- De-Armas R., San-Miguel M., Oviedo J. and Sanz J. (2011): Direct vs. Indirect Mechanisms for Electron Injection in DSSC: Catechol and Alizarin. **Computational and Theoretical Chemistry.** 975: 99-105.

102- Rehman A., Asar A., Ullah R. and Imarn M. (2012): Comparative Study of Dye-Sensitized Solar Cell Based on Carbon Black and Graphite as Cathode Materials. **International Journal of Engineering and Technology.** 12(5) : 105-107.

- 103- Kim H., Choi H., Hwang S., Kim Y. and Jeon M. (2012): Fabrication and Characterization of Carbon-Based Counter Electrodes Prepared by Electrophoretic Deposition for Dye-Sensitized Solar Cells. **Nanoscale Research Letters**. 7 (53):4.
- 104- Wu C., Gong Y., Han S., Jin T., Chi B., Pu J. and Jian L. (2012): Electrochemical Characterization of a Novel Iodine-Free Electrolyte for Dye-Sensitized Solar Cell. **Electrochimica Acta**. 71: 33– 38.
- 105- Hua Y., Chang S., Wang H., Huang D., Zhao J., Chen T., Wong W. and Zhu X. (2013): New Phenothiazine-based Dyes for Efficient Dye-Sensitized Solar Cells : Positioning Effect of a Donor Group on the Cell Performance. **Journal of Power Sources**. 243: 253-259.
- 106- Calogero G., Citro I., Di Marco G., Armeli Minicante S., Morabito M. and Genovese G. (2014): Brown Seaweed Pigment as a Dye Source for Photoelectrochemical Solar Cells. **Spectrochimica Acta Part A: Molecular and Biomolecular Spectroscopy**. 117: 702–706.
- 107- Ari A., Alan S. and Wafaa A. (2015): Fabrication of Dye Sensitized Solar Cell Based on Titanium Dioxide (TiO_2). **Advances in Materials Physics and Chemistry**. 5: 361-367.
- 108- Abdulla H. and Abbo A. (2012): Optical and Electrical Properties of Thin Films of Polyaniline and Polypyrrole. **International Journal of Electrochemical Science**. 7: 10666-10678.

- 109- Elsanousi A., Elamina N., Elhouria S. and Abdallaha A. (2013): Highly Ordered TiO₂ Nanotubes and Their Application to Dye Sensitized Solar Cells. **Journal of Applied and Industrial Science.** 1(1): 39-42.
- 110- Yoriya S., Kittimeteeworakul W. and Punprasert N.(2012): Effect of Anodization Parameters on Morphologies of TiO₂ Nanotube Arrays and Their Surface Properties. **Journal of Chemical Engineering.** 6: 686-691.
- 111- Genies E. and Lapkowski M. (1988): Polyaniline Films, Electrochemical Redox Mechanisms. **Synthetic Metals.** 24: 61-68.
- 112- Vivekanandan J., Ponnusamy V., Mahadeswaran A. and Vijayanand P.(2011): Synthesis, Characterization and Conductivity Study of Polyaniline Prepared by Chemical Oxidative and Electrochemical Methods. **Archives of Applied Science Research.** 3(6): 147-153.
- 113- Kobayashi M., Chen J., Chung T., Moraes F., Heeger A. and Wudl F.(1984): Synthesis and Properties of Chemically Coupled Poly (Thiophene). **Synthetic Metals .** 9(1) :77-86.
- 114- Silverstein R., Webster F., and Kiemle D. (2007): **Spectroscopic methods for identification of organic compounds.** 7th, USA, Join Wiley and Sons, INC.

Abstract

In this study different types of DSSCs were fabricated using two kinds of titania (TiO_2) semiconductors as photoanodes and four kinds of counter electrodes, while the sensitized dyes were two natural dyes and the electrolyte (I^-/I_3^-) is the same. The TiO_2 as semiconductors includes; nanosized powder (deposited on ITO glass) and anodized nanotubes template on titanium foil. The counter electrodes include; platinum, electropolymerized polyaniline, polythiophene and polypyrole (also all deposited on ITO glass). The dyes used are natural include; pomegranate dye (Anthocyanin) and beetroot dye (Betalin).

The prepared photoanodes and counter electrodes were subjected to analysis by AFM, SEM, XRD and FTIR a detailed information on pore shape. The absorption spectra of natural dyes were investigated by UV-Visible spectroscopy which showed that the pomegranate dye absorbed light at 520nm and 310nm, while beetroot dye absorbed light at 479nm and 536nm.

Finally the efficiency of prepared DSSCs were estimated through I-V characterization, the fall factors (ff) and electrical conversion efficiencies (% η) measured using potentiostat.

The efficiencies of the DSSCs follow the order;

In pomegranate dye;

TNT/Ti – Pt/ITO > TiO_2 /ITO – PANI/ITO > TiO_2 /ITO – Pt/ITO > TNT/Ti – PTh/ITO > TNT/Ti – PANI/ITO > TiO_2 /ITO – PPY/ITO > TiO_2 /ITO – PTh/ITO > TNT/Ti – PPY/ITO.

In beetroot dye;

TNT/Ti – Pt/ITO > TiO_2 /ITO – Pt/ITO > TNT/Ti – PANI/ITO > TNT/Ti – PPY/ITO > TNT/Ti – PTh/ITO > TiO_2 /ITO – PTh/ITO > TiO_2 /ITO – PANI/ITO > TiO_2 /ITO – PPY/ITO.

The best efficiencies were achieved using TNT/Ti and TiO₂/ITO as anodes and Pt/ITO and PANI/ITO as cathodes they are 2.64% and 0.75% in pomegranate dye respectively, while in beetroot dye the best efficiencies were achieved using TNT/Ti and TiO₂/ITO as anodes and Pt/ITO as cathode they were 1.38% and 0.56% respectively.

Republic of Iraq
Ministry of Higher Education
and Scientific Research
Diyala University
College of Science
Department of Chemistry



Manufacturing and Study the Efficiency of Solar Cells-Sensitive Dyes (DSSC)

A Thesis Submitted to
The College of Education for College of Science University of Diyala
As a Partial Fulfillment of Requirements for the Degree of M.Sc. in
Chemistry

The Student

Zainab Esmail Sadq

B.Sc in Chemistry 2014/ Diyala University

Supervision

Professor Dr. Amir Fadhil Dawood Al-Niami / Diyala University

**Assistant Professor Dr. Abdulkareem M. Ali Al-Samarai/ Baghdad
University**